

โครงการวิจัย

เรื่อง

พฤติกรรมการถูกชะของเบต้าแคโรทีนภายใต้เฟสเคลื่อนที่ที่ประกอบด้วยตัวทำละลาย 2 ชนิด สำหรับการชี้แบบไฮโซเครติกโดยเทคนิคโครมาโทกราฟของเหลวสมรรถนะสูงแบบผันกลับ

Retention behaviour of β -carotene under binary mobile phase for isocratic elution by reversed-phase high performance liquid chromatography



บัณฑิตวิทยาลัยนานาชาติ มหาวิทยาลัยชลฯ

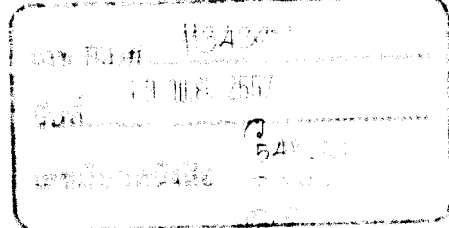
มหาวิทยาลัยชลฯ ศูนย์วิจัยฯ

นางสาวจิราภรณ์ หนูยิมชัย

นางสาวนิธิวดี จุลนิล

นางสาวมนเทกานต์ จันทรังษี

โครงการวิจัยทางเคมีนี้เป็นส่วนหนึ่งของการศึกษาหลักสูตรปริญญาตรี
โปรแกรมวิชาเคมีและเคมีประยุกต์
คณะวิทยาศาสตร์และเทคโนโลยี
มหาวิทยาลัยราชภัฏสงขลา
ปีการศึกษา 2556



ชื่อโครงการวิจัย

พฤติกรรมการถูกชazoleของเบต้าแแคโรทินภายใต้เฟสเคลื่อนที่ที่ประกอบด้วยตัวทำละลาย 2 ชนิด สำหรับการซับแบบไอโซเครติกโดยเทคนิคโครมาโทกราฟีของเหลวสมรรถนะสูงแบบผันกลับ

ผู้ทำวิจัย

1. นางสาวจิราภรณ์ หนยิ่มชัย รหัสนักศึกษา 534275004
2. นางสาวนิธิวดี จุลนิล รหัสนักศึกษา 534275012
3. นางสาวมณฑากานต์ จันทรังษี รหัสนักศึกษา 534275023

โปรแกรมวิชา

เคมีและเคมีประยุกต์

(ผู้ช่วยศาสตราจารย์ ดร.จาเรวะรณ สุจิตร)
กรรมการที่ปรึกษา

(ผู้ช่วยศาสตราจารย์ ดร.จาเรวะรณ สุจิตร)
ประธานกรรมการสอน

ดร.กานต์ ใจอางค์ไห.

(อาจารย์นราธัน ทองศรีนุน)
กรรมการสอน

ดร.กานต์

(อาจารย์นันทิยา เป้าทอง)
กรรมการสอน

(อาจารย์จิรภา คงเขียว)
ประธานโปรแกรม

(อาจารย์จิรภา คงเขียว)
อาจารย์ประจำวิชา

คณะวิทยาศาสตร์และเทคโนโลยีได้รับรองโครงการวิจัย (โครงการ) นี้เป็นส่วนของการศึกษา
ตามหลักสูตรวิทยาศาสตร์บัณฑิต สาขาวิทยาศาสตร์ แขนงวิชาเคมี

(ดร.พิพัฒน์ ลิมปะพิทยาธร)
คณบดีคณะวิทยาศาสตร์และเทคโนโลยี

ชื่อโครงการวิจัย	พฤติกรรมการถูกชະของเบต้าแครอทีนภายใต้เฟสเคลื่อนที่ที่ประกอบด้วยตัวทำละลาย 2 ชนิด สำหรับการซะแบบไอโซเครติกโดยเทคนิคโคมาราฟิของเหลวสมรรถนะสูงแบบผันกลับ		
ผู้กำกับโครงการวิจัย	นางสาวจิราภรณ์ หนูมีมชัย	รหัสนักศึกษา	534275004
	นางสาวนิธิวดี จุลนิล	รหัสนักศึกษา	534275012
	นางสาวมนเทagantert จันทร์รังษี	รหัสนักศึกษา	534275023
โปรแกรมวิชา	เคมีและเคมีประยุกต์		
ปีการศึกษา	2557		

บทคัดย่อ

ในการศึกษาพฤติกรรมการถูกชະของเบต้าแครอทีน ภายใต้ระบบ isocratic โดยเทคนิค RP-HPLC ด้วย colum C-18 ได้ใช้สภาวะที่เหมาะสมของเครื่อง HPLC ดังนี้ ความยาวคลื่น สูงสุดในการดูดกลืนแสงญี่วี-วิสิเบิลเท่ากับ 445 นาโนเมตร (nm) และอัตราการไหลของเฟสเคลื่อนที่ เท่ากับ 1.5 มิลลิลิตร/นาที (mL/min) โดยจะด้วยเฟสเคลื่อนที่ (mobile phase) ที่ประกอบด้วย ตัวทำละลายผสม 2 ชนิด จำนวน 2 แบบ ได้แก่ iso-propanol-Methanol (MeOH) และ iso-propanol-Acetonitrile (ACN) ที่มีสัดส่วนโดยปริมาตร (volume fractions; ψ) ของ iso-propanol ใน MeOH หรือ ACN เท่ากับร้อยละ 0, 0.05, 0.10, 0.15, 0.20 และ 0.25 เมื่อจะที่อุณหภูมิ 25 และ 35 องศาเซลเซียส ($^{\circ}\text{C}$) ในการศึกษาได้อธิบายอันตรกิริยาของเบต้าแครอทีนในระหว่างการถูกชະ โดยการเขียนกราฟที่แสดงความสัมพันธ์ระหว่างเวลาที่สารถูกหน่วงอยู่กับเฟสคงที่เทียบกับ เวลาที่สารถูกชະออกมากับเฟสเคลื่อนที่ (retention factor; k) กับค่า ψ พบว่าได้กราฟแบบ เอกซ์โพแนลเชียง ที่อธิบายด้วยสมการ $k = ae^{-b\psi}$ นอกจากนี้ได้เขียนกราฟแสดงความสัมพันธ์ ระหว่างค่า $1/k$ กับ ψ และ $\log k$ กับ ψ พบว่าได้กราฟเส้นตรงที่สามารถอธิบายด้วยสมการที่ แตกต่างกัน ได้แก่ $1/k = S\psi + 1/k_0$ และ $\log k = -S\psi + \log k_0$ ตามลำดับ จากกราฟเส้นตรง ทั้ง 2 แบบ ได้ใช้พารามิเตอร์ทางโคมาราฟิต่าง ๆ ได้แก่ S , $1/k_0$ และ $\log k_0$ มาอธิบาย การถูกชະของเบต้าแครอทีน เมื่อใช้ MeOH หรือ ACN เป็นเฟสเคลื่อนที่เพียงอย่างเดียวจาก การศึกษาพบว่า ตัวทำละลายผสมระหว่าง iso-propanol:ACN ที่ ψ เท่ากับร้อยละ 0.25 เป็น เฟสเคลื่อนที่ที่เหมาะสมในการซะเบต้าแครอทีนที่อุณหภูมิ 35 องศาเซลเซียส โดยใช้เวลา 13.97 นาที โดยวิธีที่ใช้ในการศึกษานี้ได้ให้ช่วงความเป็นเส้นตรงตั้งแต่ 5 ถึง 80 มิลลิกรัมต่อลิตร (mg/L) ที่มี ค่าสัมประสิทธิ์สหสัมพันธ์ (r^2) เท่ากับ 0.9998 ค่าร้อยละของการได้กลับคืนมาเท่ากับ 99.26 ค่าเบี่ยงเบนมาตรฐานสัมพัทธ์ (RSD) เท่ากับ 0.81% ขีดจำกัดต่ำสุดของการตรวจวัด (LOD) เท่ากับ 0.06 มิลลิกรัมต่อลิตร และปริมาณต่ำสุดที่ตรวจหาปริมาณ (LOQ) ได้มีค่าเท่ากับ 0.64

มิลลิกรัมต่อลิตร วิธีการที่ได้พัฒนาได้นำไปประยุกต์ใช้ในการหาปริมาณเบต้าแครอทีนในตัวอย่างผักที่แตกต่างกัน 7 ชนิด พบว่ามีปริมาณเบต้าแครอทีนในแครอท เท่ากับ 1130.81 ผักโขม เท่ากับ 451.90 พักทอง เท่ากับ 361.48 คะน้า เท่ากับ 252.94 มะเขือเทศ เท่ากับ 211.27 และบรอกโคลี เท่ากับ 193.65 กรัมต่อกิโลกรัม (g/kg) ส่วนสาหร่ายผมน้ำไม่สามารถตรวจวัดเบต้าแครอทีนได้



Project	Retention behaviour of β -carotene under binary mobile phase for isocratic elution by reversed-phase high performance liquid chromatography		
Author	Miss.Jiraporn Nooyimsai	No. 534275004	
	Miss.Nithiwadee Jullanin	No. 534275012	
	Miss.Monthakan Jantharangsri	No. 534275023	
Major Program	Chemistry and Applied Chemistry		
Academic Year	2013		

Abstract

The retention behaviour of β -carotene under isocratic elution by reversed-phase high performance liquid chromatography (RP-HPLC) with C-18 column has been studied using the optimal conditions of HPLC instrument, i.e. maximum wave length of UV-visible at 445 nm, and flow rate of mobile phase at 1.5 mL/min. In the elution study, two binary mobile phases, i.e. 2-propanol-methanol (MeOH) and 2-propanol-acetonitrile (ACN) at different volume fractions (ψ); 0, 0.05, 0.10, 0.15, 0.20 and 0.25% under defined temperatures, i.e. 25 and 35°C were studied. In this study, the interactions of β -carotene during elution have been described by the plot of dependency of retention factor (k) on ψ and the exponential dependency was obtained with its describing by equation; $k = ae^{-b\psi}$. In addition, other dependencies, i.e. $1/k$ on ψ , and $\log k$ on ψ were also plotted and the linear dependencies were obtained with their describing by different equations; $1/k = S\psi + 1/k_o$ and $\log k = -S\psi + \log k_o$, respectively. Various chromatographic parameters, i.e. S , $1/k_o$ and $\log k_o$ derived from those linear plots have been also used to describe the elution of β -carotene when pure MeOH or ACN using for mobile phase was carried out. From this finding, the mixed solvents comprising iso-propanol in ACN at $\psi = 0.25\%$ were shown as the optimal binary mobile phase to elute β -carotene at 35°C for 13.97 min. The validations of this method with the linearity in the range of 5 to 80 mg/L, the correlation coefficient (r^2) of 0.9998, the percent recovery of 99.26%, the relative standard deviation (RSD) of 0.81%, the lower of detection (LOD) of 0.06 mg/L and the lower of quantification (LOQ) of 0.64 mg/L were obtained. The developed method has been applied to quantify β -carotene in different

seven samples of vegetable. From the determination, it was found that the amounts of β -carotene in carrot of 1130.81, spinach of 451.90, pumpkin of 361.48, kales of 252.94, tomato of 211.27 and broccoli of 193.65 g/kg were obtained, whereas the amount of β -carotene in *Gracilaria fisheri* was non-detectable.



กิตติกรรมประกาศ

โครงการวิจัยครั้งนี้ สำเร็จลุล่วงไปด้วยดี ขอขอบพระคุณผู้ช่วยศาสตราจารย์ ดร.จากรุวรรณ สุจิริด ซึ่งเป็นอาจารย์ที่ปรึกษา ที่ให้คำปรึกษา คำแนะนำการดำเนินการวิจัย ทุกขั้นตอน และให้ความช่วยเหลือในเรื่องต่าง ๆ ทั้งในด้านของการดำเนินการทดลอง และในส่วนของการเขียนรูปเล่ม ตลอดจนแก้ไขข้อบกพร่องต่าง ๆ อย่างดีเยี่ง อีกทั้งทำให้ ผู้วิจัยได้รับประสบการณ์ในการทำงานวิจัย ได้รู้และเห็นคุณค่าของงานวิจัยอีกด้วย ขอขอบพระคุณอาจารย์นรารัตน์ ทองศรีนุน และอาจารย์นันทิยา เป้าทอง กรรมการสอบ โครงการวิจัย

ขอขอบพระคุณคณะอาจารย์ เจ้าหน้าที่ห้องปฏิบัติการ สาขาวิชาเคมี มหาวิทยาลัย ราชภัฏสงขลา ทุกท่านที่ได้ให้ความรู้คำแนะนำ ข้อเสนอแนะ และความอนุเคราะห์ทางด้าน เครื่องมือและสารเคมีในการทำวิจัยในครั้งนี้

สุดท้ายนี้ขอขอบพระคุณ พ่อแม่ พี่น้อง และเพื่อน ๆ ที่ให้กำลังใจ ชี้แนวทางปฏิบัติที่ดี และสนับสนุนในทุก ๆ ด้าน ทำให้ผู้วิจัยประสบความสำเร็จในการศึกษาครั้งนี้

จิราภรณ์ หนูยิมชัย	รหัสนักศึกษา 534275004
นิธิวดี จุลนิล	รหัสนักศึกษา 534275012
มนฑากานต์ จันทรังษี	รหัสนักศึกษา 534275023

สารบัญ

	หน้า
บทคัดย่อ	๑
Abstract	๒
กิตติกรรมประกาศ	๓
สารบัญ	๔
สารบัญตาราง	๕
สารบัญรูปภาพ	๖
บทที่ ๑ บทนำ	
ความเป็นมาและความสำคัญ	๑
วัตถุประสงค์	๒
ประโยชน์ที่คาดว่าจะได้รับ	๒
ขอบเขตของงานวิจัย	๓
สถานที่ทำการวิจัย	๓
วิธีการดำเนินงานวิจัย	๓
บทที่ ๒ ทฤษฎีและผลงานวิจัยที่เกี่ยวข้อง	
ลักษณะทั่วไปของเบต้าแครอทีน	๔
โคมไฟกราฟฟิของเหลวสมรรถนะสูง	๗
๑. คอลัมน์	๘
๑.๑ บอนด์เฟสชนิดเฟสธรรมชาติ	๘
๑.๒ บอนด์เฟสชนิดเฟสผักลับ	๘
๒. เครื่องตรวจวัด	๙
๒.๑ Bulk property	๙
๒.๒ Solute property	๙
๒.๒.๑ เครื่องตรวจวัดชนิดฟลูออเรสเซนซ์	๙
๒.๒.๒ เครื่องตรวจวัดชนิดโฟแฟร์กโนมิเตอร์	๑๐
๒.๒.๓ เครื่องตรวจวัดชนิดอิเล็กโทรเคมิคัล	๑๐
๒.๒.๔ เครื่องตรวจวัดชนิดดิจิทัล	๑๐
(๑) fixed-wavelength detectors	๑๐
(๒) variable-wavelength detector	๑๐
(๓) diode array detector	๑๐

สารบัญ (ต่อ)

	หน้า
3. เครื่องสูบ	11
4. ระบบควบคุมและประมวลผล	11
งานวิจัยที่เกี่ยวข้อง	12
บทที่ 3 วิธีการดำเนินวิจัย	
1. เครื่องมือและอุปกรณ์สารเคมี	17
1.1 เครื่องมือ	17
1.2 อุปกรณ์	17
2. สารเคมี/การเตรียมสารละลาย และการกรองและการไล่แก๊สในเฟสเคลื่อนที่	18
2.1 สารเคมี	18
2.2 การเตรียมสารละลาย	19
(1) สารละลายสต็อกเบต้าแครโตรีนเข้มข้น 400 mg/L	19
(2) สารละลายมาตรฐานสำหรับการใช้งานเบต้าแครโตรีนเข้มข้น 10 mg/L	19
(3) สารละลายอะซิโตน 90% โดยปริมาตร (v/v)	19
2.3 การกรองและการไล่แก๊สในเฟสเคลื่อนที่เพื่อเตรียมการวิเคราะห์ด้วยเครื่อง HPLC ในระบบ Isocratic	19
3. วิธีการทดลอง	20
3.1 การศึกษาสภาพที่เหมาะสมของเครื่อง HPLC	20
3.1.1 การศึกษาความยาวคลื่นสูงสุดในการดูดกลืนแสงยูวี-วิสิเบิลของเบต้าแครโตรีน	20
3.1.2 การศึกษาอุณหภูมิที่เหมาะสมในการชะเบต้าแครโตรีน	20
3.1.3 การศึกษาอัตราการไล่ของเฟสเคลื่อนที่ที่เหมาะสม	20
3.2 การศึกษานิดของเฟสเคลื่อนที่ที่ประกอบด้วยตัวทำละลาย 2 ชนิดที่มีผลต่อการชะเบต้าแครโตรีน	21
3.2.1 การศึกษาผลของเฟสเคลื่อนที่ของตัวทำละลายผสมระหว่าง iso-propanol:MeOH	21
3.2.2 การศึกษาผลของเคลื่อนที่ของตัวทำละลายผสมระหว่าง n-propanol:MeOH	21

สารบัญ (ต่อ)

	หน้า
3.2.3 การศึกษาเฟสผลของเคลื่อนที่ของดัวทำละลายผสมระหว่าง iso-propanol:ACN	22
3.2.4 การศึกษาผลของเฟสเคลื่อนที่ของดัวทำละลายผสมระหว่าง n-propanol:ACN	22
3.3 การศึกษาพฤติกรรมการถูกชazeของเบต้าแครอทีน	22
3.3.1 การศึกษาพฤติกรรมการถูกชazeของเบต้าแครอทีนเมื่อใช้ เฟสเคลื่อนที่ที่เป็นดัวทำละลายผสมระหว่าง iso-propanol:MeOH	22
3.3.2 การศึกษาพฤติกรรมการถูกชazeของเบต้าแครอทีนเมื่อใช้ เฟสเคลื่อนที่ที่เป็นดัวทำละลายผสมระหว่าง iso-propanol:ACN	23
3.4 การทดสอบความถูกด้องของวิธีการวิเคราะห์	23
3.4.1 การทดสอบช่วงความเป็นเส้นตรง	23
3.4.2 การทดสอบความแม่น	24
3.4.3 การทดสอบความเที่ยง	25
3.4.4 การหาค่าขีดจำกัดต่ำสุดของการตรวจและปริมาณต่ำสุด ที่ตรวจหาปริมาณได้	26
3.5 การวิเคราะห์หาปริมาณเบต้าแครอทีนจากดัวอย่างผัก	27
3.5.1 การเตรียมดัวอย่างผัก	27
3.5.2 การวิเคราะห์หาปริมาณเบต้าแครอทีนโดยเทคนิค HPLC	27
3.6 การคำนวณ	28
บทที่ 4 ผลและอภิปรายผล	
1. การศึกษาสภาวะที่เหมาะสมของเครื่อง HPLC	29
1.1 การศึกษาความยาวคลื่นสูงสุดในการดูดกลืนแสงยูวี-วิสิเบิล	29
1.2 การศึกษาอุณหภูมิที่เหมาะสมในการชะเบต้าแครอทีน	30
1.3 การศึกษาอัตราการไหลของเฟสเคลื่อนที่ที่เหมาะสม	31
2. การศึกษานิดของเฟสเคลื่อนที่ที่ประกอบด้วยดัวทำละลาย 2 ชนิด ที่มีผลต่อพฤติกรรมการถูกชazeของเบต้าแครอทีน	32

สารบัญ (ต่อ)

	หน้า
3. การศึกษาพฤติกรรมการถูกชีวะของเบต้าแครอทีน	34
3.1 การศึกษาพฤติกรรมการถูกชีวะของเบต้าแครอทีนโดยใช้ เฟสเคลื่อนที่ที่เป็นด้วยทำละลายผสมระหว่าง iso-propanol:MeOH	34
3.2 การศึกษาพฤติกรรมการถูกชีวะของเบต้าแครอทีนโดยใช้ เฟสเคลื่อนที่ที่เป็นด้วยทำละลายผสมระหว่าง iso-propanol:CAN	41
3.3 การพิจารณาผลของพารามิเตอร์ที่ได้จากการเขียนกราฟ ต่อพฤติกรรมการถูกชีวะของเบต้าแครอทีน	46
3.3.1 ผลของความชันของกราฟเส้นตรง	46
3.3.2 ผลของจุดตัดแกน y ของกราฟเส้นตรง	47
3.4 การเปรียบเทียบโครงมาโทแกรมของของเบต้าแครอทีนเมื่อใช้ เฟสเคลื่อนที่ที่ประกอบด้วยตัวทำละลาย 2 ชนิดที่ $\psi = 0.25\%$	49
4. การทดสอบความถูกต้องของวิธีการวิเคราะห์	51
4.1 การทดสอบช่วงความเป็นเส้นตรง	51
4.2 การทดสอบความแม่น	52
4.3 การทดสอบความเที่ยง	53
4.4 การหาขีดจำกัดต่ำสุดของการตรวจวัดและปริมาณต่ำสุด ที่ตรวจหาปริมาณได้	54
5. การวิเคราะห์หาปริมาณเบต้าแครอทีนจากตัวอย่างผัก	55
บทที่ 5 สรุปผลการทดลอง	
สรุปผลการทดลอง	56
ข้อเสนอแนะ	56
แนวทางการพัฒนา	57
บรรณานุกรม	58
ภาคผนวก	63
ก. ผลของการศึกษาสภาพที่เหมาะสมของเครื่อง HPLC	64
ข. ผลของการศึกษาชนิดของเฟสเคลื่อนที่ที่ประกอบด้วยตัวทำละลาย 2 ชนิด ที่มีผลต่อการชีวะเบต้าแครอทีน	65

สารบัญ (ต่อ)

	หน้า
ค. ผลของการศึกษาพฤติกรรมการถูกชະของเบต้าแครอทีน	67
ง. วิธีคำนวณหาปริมาณเบต้าแครอทีน	72
จ. Abstract ที่ได้ไปนำเสนอใน The 39 th Congress on Science and Technology of Thailand (STT 39)	73
ช. Abstract และ Highlight ที่ส่งไปนำเสนอใน Pure and Applied Chemistry International Conference (PACCON 2015) (in process)	74

ประวัติผู้ทำโครงการวิจัย



สารบัญตาราง

	หน้า
ตารางที่ 3.1 สารเคมีที่ใช้ในการศึกษา	18
ตารางที่ 4.1 ความสัมพันธ์ระหว่างอุณหภูมิกับค่ารีชันไทม์เฉลี่ย	30
ตารางที่ 4.2 ความสัมพันธ์ระหว่างอัตราการไหลของเฟสเคลื่อนที่กับค่ารีชันไทม์เฉลี่ยและความดันของเครื่อง HPLC	31
ตารางที่ 4.3 สภาวะที่เหมาะสมของเครื่อง HPLC	32
ตารางที่ 4.4 แสดงค่า $t_{r,av}$ และ $t_{0,av}$ ของเบต้าแครอทีน เมื่อใช้เฟสเคลื่อนที่ที่ประกอบด้วยตัวทำละลายชนิดต่าง ๆ	33
ตารางที่ 4.5 พารามิเตอร์ทางโครมาโทกราฟีที่ได้จากการศึกษาพฤติกรรมการถูกชั่งของเบต้าแครอทีน โดยใช้เฟสเคลื่อนที่ที่เป็นตัวทำละลายผสมระหว่าง iso-propanol:MeOH	39
ตารางที่ 4.6 พารามิเตอร์ทางโครมาโทกราฟีที่ได้จากการศึกษาพฤติกรรมการถูกชั่งของเบต้าแครอทีน โดยใช้เฟสเคลื่อนที่ที่เป็นตัวทำละลายผสมระหว่าง iso-propanol:ACN	44
ตารางที่ 4.7 แสดงค่าพารามิเตอร์ทางโครมาโทกราฟีที่ได้จากการศึกษาพฤติกรรมการถูกชั่งของเบต้าแครอทีน โดยใช้เฟสเคลื่อนที่ที่เป็นตัวทำละลายผสม 2 ชนิด ที่มีสภาพขั้วต่างกันด้วยเทคนิค RP-HPLC	48
ตารางที่ 4.8 ความสัมพันธ์ระหว่างความเข้มข้นของสารละลายน้ำตรฐานเบต้าแครอทีนกับค่าพื้นที่ได้พีค	51
ตารางที่ 4.9 ความสัมพันธ์ระหว่างความเข้มข้นของสารละลายน้ำตรฐานเบต้าแครอทีนกับค่าพื้นที่ได้พีค	53
ตารางที่ 4.10 ผลการตรวจวัดสารละลายน้ำตรฐานเบต้าแครอทีนเข้มข้น 10 mg/L	54
ตารางที่ 4.11 แสดงปริมาณเบต้าแครอทีนในตัวอย่างผัก	55
ตารางที่ ก.1 ค่าการดูดกลืนแสงยูวี-วิสิเบิลของเบต้าแครอทีน	64
ตารางที่ ก.2 ความสัมพันธ์ระหว่างอุณหภูมิกับค่า t_r เมื่อใช้เฟสเคลื่อนที่ iso-propanol:ACN อัตราส่วน 25:75 (v/v) และอัตราการไหลของเฟสเคลื่อนที่เท่ากับ 1.5 mL/min	65
ตารางที่ ก.3 ความสัมพันธ์ระหว่างอัตราการไหลของเฟสเคลื่อนที่กับค่า t_r และความดันของเครื่อง HPLC เมื่อใช้เฟสเคลื่อนที่ iso-propanol:ACN อัตราส่วน 25:75 (v/v) ที่อุณหภูมิ 35 °C	65

สารบัญตาราง (ต่อ)

	หน้า
ตารางที่ ข.1 แสดงค่า t_r , t_0 และค่า k ของเบต้าแครอทีนเมื่อใช้เฟสเคลื่อนที่ชนิดต่าง ๆ อัตราการไหลของเฟสเคลื่อนที่เท่ากับ 1.5 mL/min ที่อุณหภูมิ 35 °C	66
ตารางที่ ค.1 แสดงค่า t_r , t_0 และค่า k ของเบต้าแครอทีนเมื่อใช้เฟสเคลื่อนที่ iso-propanol:MeOH อัตราส่วนของเฟสเคลื่อนที่เท่ากับ 0:100 (v/v), 5:95 (v/v), 10:90 (v/v), 15:85 (v/v), 20:80 (v/v) และ 25:75 (v/v) อัตราการไหลของเฟสเคลื่อนที่ เท่ากับ 1.5 mL/min ที่อุณหภูมิ 25 °C	67
ตารางที่ ค.2 แสดงค่า t_r , t_0 และค่า k ของเบต้าแครอทีน เมื่อใช้เฟสเคลื่อนที่ iso-propanol:MeOH อัตราส่วนของเฟสเคลื่อนที่เท่ากับ 0:100 (v/v), 5:95 (v/v), 10:90 (v/v), 15:85 (v/v), 20:80 (v/v) และ 25:75 (v/v) อัตราการไหลของเฟสเคลื่อนที่ เท่ากับ 1.5 mL/min ที่อุณหภูมิ 35 °C	68
ตารางที่ ค.3 แสดงค่า t_r , t_0 และค่า k ของเบต้าแครอทีนเมื่อใช้เฟสเคลื่อนที่ iso-propanol:ACN อัตราส่วนของเฟสเคลื่อนที่ เท่ากับ 0:100 (v/v), 5:95 (v/v), 10:90 (v/v), 15:85 (v/v), 20:80 (v/v) และ 25:75 (v/v) อัตราการไหลของเฟสเคลื่อนที่เท่ากับ 1.5 mL/min ที่อุณหภูมิ 25 °C	69
ตารางที่ ค.4 แสดงค่า t_r , t_0 และค่า k ของเบต้าแครอทีนเมื่อใช้เฟสเคลื่อนที่ iso-propanol:ACN อัตราส่วนของเฟสเคลื่อนที่เท่ากับ 0:100 (v/v), 5:95 (v/v), 10:90 (v/v), 15:85 (v/v), 20:80 (v/v) และ 25:75 (v/v) อัตราการไหลของเฟสเคลื่อนที่เท่ากับ 1.5 mL/min ที่อุณหภูมิ 35 °C	70
ตารางที่ ค.5 แสดงค่า $1/k$ และ $\log k$ ของเฟสเคลื่อนที่ iso-propanol:MeOH และ iso-propanol:ACN เมื่อค่า ψ เท่ากับ 0, 0.05, 0.10, 0.15, 0.20 และ 0.25 เปอร์เซ็น (%) อัตราการไหลของเฟสเคลื่อนที่ เท่ากับ 1.5 mL/min ที่อุณหภูมิ 25 และ 35 °C	71
ตารางที่ ง.1 แสดงปริมาณเบต้าแครอทีนในด้วอย่างผัก	72

สารบัญรูปภาพ

	หน้า
รูปที่ 1.1 แสดงโครงสร้าง β -carotene	1
รูปที่ 2.1 แผนภาพแสดงส่วนประกอบของเครื่อง HPLC	8
รูปที่ 4.1 ความสัมพันธ์ระหว่างค่าการดูดกลืนและกับความยาวคลื่น	29
รูปที่ 4.2 แสดงการเปรียบเทียบค่า k โดยใช้เฟสเคลื่อนที่ชนิดต่าง ๆ เมื่อใช้สภาวะของเครื่อง HPLC ดังนี้ อัตราส่วนของเฟสเคลื่อนที่เท่ากับ 5:95 (v/v), อุณหภูมิของคอลัมน์ 35 °C และอัตราการไหลของเฟสเคลื่อนที่ 1.5 mL/min	34
รูปที่ 4.3 กราฟแสดงความสัมพันธ์ระหว่างค่า k กับ ψ ของ iso-propanol ใน MeOH(%vol $\times 10^{-2}$) ที่ใช้เป็นเฟสเคลื่อนที่ในการ chromatography ออกจากการศึกษาที่อุณหภูมิ 25 และ 35 °C เมื่อใช้อัตราการไหลของเฟสเคลื่อนที่เท่ากับ 1.5 mL/min	35
รูปที่ 4.4 กราฟแสดงความสัมพันธ์ระหว่างค่า $1/k$ กับ ψ ของ iso-propanol ใน MeOH (%vol $\times 10^{-2}$) ที่ใช้เป็นเฟสเคลื่อนที่ในการ chromatography ออกจากการศึกษาที่อุณหภูมิ 25 และ 35 °C เมื่อใช้อัตราการไหลของเฟสเคลื่อนที่เท่ากับ 1.5 mL/min	36
รูปที่ 4.5 กราฟแสดงความสัมพันธ์ระหว่างค่า $\log k$ กับ ψ ของ iso-propanol ใน MeOH (%vol $\times 10^{-2}$) ที่ใช้เป็นเฟสเคลื่อนที่ในการ chromatography ออกจากการศึกษาที่อุณหภูมิ 25 และ 35 °C เมื่อใช้อัตราการไหลของเฟสเคลื่อนที่เท่ากับ 1.5 mL/min	38
รูปที่ 4.6 แสดง chromatogram ของสารละลายน้ำในเบต้าแครอทีนเข้มข้น 10 mg/L ที่อุณหภูมิ 25 °C และที่ 35 °C ด้วยเทคนิค RP-HPLC โดยใช้เฟสเคลื่อนที่ iso-propanol:MeOH (25:75v/v) ที่ $\psi = 0.25\%$ เมื่อใช้อัตราการไหลของเฟสเคลื่อนที่เท่ากับ 1.5 mL/min	40
รูปที่ 4.7 กราฟแสดงความสัมพันธ์ระหว่างค่า k กับ ψ ของ iso-propanol ใน ACN (%vol $\times 10^{-2}$) ที่ใช้เป็นเฟสเคลื่อนที่ในการ chromatography ออกจากการศึกษาที่อุณหภูมิ 25 และ 35 °C เมื่อใช้อัตราการไหลของเฟสเคลื่อนที่เท่ากับ 1.5 mL/min	41

สารบัญรูปภาพ (ต่อ)

หน้า	
รูปที่ 4.8	กราฟแสดงความสัมพันธ์ระหว่างค่า $1/k$ กับ ψ ของ iso-propanol ใน ACN (%vol $\times 10^{-2}$) ที่ใช้เป็นเฟสเคลื่อนที่ในการ chromatography ออกจาก colum C-18 โดยทำการศึกษาที่อุณหภูมิ 25 และ 35 °C เมื่อใช้อัตราการไหลของเฟสเคลื่อนที่เท่ากับ 1.5 mL/min 42
รูปที่ 4.9	กราฟแสดงความสัมพันธ์ระหว่างค่า $\log k$ กับ ψ ของ iso-propanol ใน ACN (%vol $\times 10^{-2}$) ที่ใช้เป็นเฟสเคลื่อนที่ในการ chromatography ออกจาก colum C-18 โดยทำการศึกษาที่อุณหภูมิ 25 และ 35 °C เมื่อใช้อัตราการไหลของเฟสเคลื่อนที่เท่ากับ 1.5 mL/min 43
รูปที่ 4.10	โครมาโทแกรมของสารละลายน้ำตราชานเบื้องต้นและขั้นตอนที่ 10 mg/L ที่อุณหภูมิ 25 °C และที่ 35 °C ด้วยเทคนิค RP-HPLC โดยใช้เฟสเคลื่อนที่ iso-propanol:ACN (25:75v/v) ที่ $\psi = 0.25\%$ เมื่อใช้อัตราการไหลของเฟสเคลื่อนที่เท่ากับ 1.5 mL/min 45
รูปที่ 4.11	แสดงการเปรียบเทียบค่าความชันของกราฟที่เขียนระหว่างค่า $1/k$ กับ ψ และค่า $\log k$ กับ ψ เมื่อใช้เฟสเคลื่อนที่ iso-propanol:MeOH และ iso-propanol:ACN ที่อุณหภูมิ 25 และ 35 °C 46
รูปที่ 4.12	แสดงการเปรียบเทียบค่า $1/k_0$ ที่ได้จากการที่เขียนระหว่างค่า $1/k$ กับ ψ และค่า $\log k_0$ ที่ได้จากการที่เขียนระหว่างค่า $\log k$ กับ ψ เมื่อใช้เฟสเคลื่อนที่ iso-propanol:MeOH และ iso-propanol:ACN ที่อุณหภูมิ 25 °C และ 35 °C 47
รูปที่ 4.13	โครมาโทแกรมของสารละลายน้ำตราชานขั้นตอนที่ 10 mg/L เมื่อใช้เฟสเคลื่อนที่ที่มีค่า $\psi = 0.25\%$ ของ iso-propanol:MeOH และ iso-propanol:ACN(b) ที่อุณหภูมิ 25 °C และที่ 35 °C โดยเทคนิค RP-HPLC เมื่อใช้อัตราการไหลของเฟสเคลื่อนที่เท่ากับ 1.5 mL/min 49
รูปที่ 4.14	โครมาโทแกรมของสารละลายน้ำตราชานขั้นตอนที่ 10 mg/L เมื่อใช้เฟสเคลื่อนที่ที่มีค่า $\psi = 0.25\%$ ของ iso-propanol:MeOH(2) และ iso-propanol:ACN(1) ที่อุณหภูมิ 35 °C โดยเทคนิค RP-HPLC เมื่อใช้อัตราการไหลของเฟสเคลื่อนที่เท่ากับ 1.5 mL/min 50

สารบัญรูปภาพ (ต่อ)

	หน้า
รูปที่ 4.15 กราฟมาตรฐานแสดงความสัมพันธ์ระหว่างความเข้มข้นของสารละลาย มาตรฐานเบต้าแครอทีน (mg/L) และพื้นที่ได้พีด $\times 10^5$ (mAU) เมื่อสภาวะของเครื่อง HPLC ดังนี้ เฟสเคลื่อนที่ iso-propanol:ACN อัตราส่วน 25:75 (v/v) อัตราการไหลของเฟสเคลื่อนที่ 1.5 mL/min ตรวจวัดที่ความยาวคลื่น 445 nm ที่อุณหภูมิ 35 °C	52

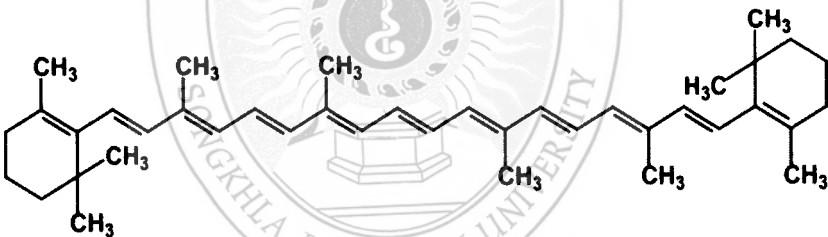


บทที่ 1

บทนำ

ความสำคัญและที่มาของปัญหา

เบต้าแครอทีน (β -carotene) คือสารตั้งต้นของวิตามินเอที่เรียกว่า โพรวิตามินเอ พ布ในผักและผลไม้ที่มีสีส้ม เหลือง เขียว หรือแดง เบต้าแครอทีนเป็นสารประกอบที่มีความสำคัญต่อสุขภาพ โดยสามารถเพิ่มระบบภูมิคุ้มกันของร่างกายให้แข็งแรง เบต้าแครอทีนเป็นสารต้านอนุมูลอิสระและสามารถลดอัตราเสี่ยงในการเกิดโรคมะเร็ง อย่างไรก็ตามหากได้รับเบต้าแครอทีนในปริมาณที่มากเกินไปจะส่งผลให้เกิดอนุมูลอิสระซึ่งอาจเพิ่มความเสี่ยงในการเกิดโรคมะเร็งได้ (Rao and Honglei, 2002) เบต้าแครอทีนมีโครงสร้าง ดังรูปที่ 1.1



รูปที่ 1.1 แสดงโครงสร้าง β -carotene

ที่มา: (<https://www.google.co.th/search?q=%E0%B8%95%E0%B8%A1%E0%B8%97%20beta-carotene> 14/04/2014)

จากรูปที่ 1.1 จะเห็นได้ว่าโครงสร้างของเบต้าแครอทีนเป็นสารประกอบอินทรีย์ที่ไม่มีส่วนข้าว (non-polar organic compound) ดังนั้นจึงมีความเหมาะสมในการนำมาศึกษาพัฒนาระบบการถูกชี้ด้วยเทคนิคクロมาโทกราฟีของเหลวสมรรถนะสูงแบบผันกลับ (Reversed-Phase High Performance Liquid Chromatography; RP-HPLC) เนื่องจากทำการศึกษาโดยใช้คอลัมน์ C-18 ซึ่งหมุนฟังก์ชันที่ผิวซิลิกาภายในคอลัมน์มีส่วนข้าวที่ต่ำทำให้สามารถเลือกใช้เฟสเคลื่อนที่ตามสภาพข้าวด้วย ฯ ได้ โดยการปรับเปลี่ยนสัดส่วนของสารอินทรีย์ที่เติมลงไว้ (organic modifier) ในตัวทำละลายที่ใช้เป็นเฟสเคลื่อนที่เพื่อปรับเปลี่ยนสภาพข้าวและสามารถเบต้าแครอทีนออกจากคอลัมน์ได้

จากรายงานการศึกษาพฤติกรรมการถูกชະของเบต้าแครอทีน โดยเทคนิค HPLC ที่ผ่านมา เช่น Rajendran *et al.* (2005) ได้ใช้เฟสคงที่ (stationary phase) เป็นคอลัมน์ C-18 ใช้เฟสเคลื่อนที่เป็นไอโซโพรพานอลซึ่งมีดัชนีสภาพข้าว (polarity index ; P_1) เท่ากับ 3.9 ผสมกับเมทานอลซึ่งมีดัชนีสภาพข้าว เท่ากับ 5.1 ในอัตราส่วน 1:99 v/v และใช้อัตราการไหลของเฟสเคลื่อนที่ (flow rate) เท่ากับ 1.5 mL/min พนวจเบต้าแครอทีนถูกชະออกจากคอลัมน์ที่เวลา 29.05 นาที (min) ในขณะที่ Xu *et al.* (2006) ได้เปลี่ยนชนิดของเฟสเคลื่อนที่เป็นไดคลอโรเมเทน ($P_1 = 3.1$) และอะซิโตไนโตรล ($P_1 = 5.8$) ผสมในอัตราส่วน 25:75 (v/v) เพื่อศึกษาการถูกชະของเบต้าแครอทีนโดยใช้เฟสคงที่เป็นคอลัมน์ C-18 และใช้อัตราการไหลของเฟสเคลื่อนที่ที่เท่ากัน พนวจเบต้าแครอทีนถูกชະที่เวลา 10.1 นาที แสดงว่าเมื่อปรับสภาพข้าวของเฟสเคลื่อนที่ให้ต่ำลงโดยการเติมสารอินทรีย์ที่มีสภาพข้าวที่ต่ำกว่าจะทำให้เบต้าแครอทีนเกิดอันตรกิริยา กับเฟสเคลื่อนที่ได้ดีขึ้นทำให้เบต้าแครอทีนถูกชະออกจากคอลัมน์ C-18 ได้เร็วขึ้น จากรายงาน การศึกษาดังกล่าวแสดงว่าการปรับเปลี่ยนสัดส่วนของสารอินทรีย์ที่เดิมลงไปในดัวทำละลาย ที่ใช้เป็นเฟสเคลื่อนที่เพื่อปรับสภาพข้าวจะมีผลต่อพฤติกรรมการถูกชະและเวลาในการถูกชະของเบต้าแครอทีน

ดังนั้นโครงการวิจัยนี้จึงมีความสนใจในการศึกษาพฤติกรรมการถูกชະของเบต้าแครอทีน โดยใช้ระบบเฟสเคลื่อนที่ที่ประกอบด้วยดัวทำละลาย 2 ชนิด ที่มีสภาพข้าวที่แตกต่างกันโดยมีสัดส่วนของดัวทำละลายทั้ง 2 ชนิดคงที่ตลอดการชະ (isocratic binary mobile phases) ผลการศึกษาที่ได้จะนำไปประยุกต์ใช้ในการวิเคราะห์หาปริมาณเบต้าแครอทีนในตัวอย่างผัก 7 ชนิด ได้แก่ แครอท พักทอง มะเขือเทศ บรอกโคลี คะน้า ผักโขม และสาหร่ายผمنาง

วัตถุประสงค์

- เพื่อศึกษาพฤติกรรมการถูกชະของเบต้าแครอทีน โดยใช้เทคนิค RP-HPLC ที่ใช้เฟสเคลื่อนที่ที่ประกอบด้วยดัวทำละลาย 2 ชนิด ที่มีสภาพข้าวที่แตกต่างกัน
- เพื่อวิเคราะห์หาปริมาณเบต้าแครอทีนในตัวอย่างผัก 7 ชนิด ได้แก่ แครอท พักทอง มะเขือเทศ บรอกโคลี คะน้า ผักโขม และสาหร่ายผمنาง

ประโยชน์ที่คาดว่าจะได้รับ

- ทราบถึงสภาพรวมที่เหมาะสมในการวิเคราะห์หาปริมาณเบต้าแครอทีนในตัวอย่างผัก 7 ชนิด
- ทราบถึงชนิดของเฟสเคลื่อนที่และอัตราส่วนของดัวทำละลาย 2 ชนิดที่เหมาะสมในการวิเคราะห์หาปริมาณเบต้าแครอทีนในตัวอย่างผัก 7 ชนิด
- เป็นข้อมูลพื้นฐานเพื่อใช้ในการศึกษาขั้นต่อไปได้

ขอบเขตของการศึกษา

1. ศึกษาความยาวคลื่นสูงสุดในการดูดกลืนแสงยูวี-วิสิเบิลของเบต้าแคโรทีน
2. ศึกษาอุณหภูมิของคอลัมน์ที่เหมาะสมเพื่อใช้ในการชะبهต้าแคโรทีน
3. ศึกษาอัตราการไหลของเฟสเคลื่อนที่ที่เหมาะสม
4. ศึกษาพฤติกรรมการถูกชะของเบต้าแคโรทีนโดยใช้เฟสเคลื่อนที่ชนิดต่าง ๆ ในระบบ

isocratic binary mobile phases

5. ศึกษาอัตราส่วนของเฟสเคลื่อนที่ที่เหมาะสมเมื่อใช้ตัวทำละลาย 2 ชนิดเพื่อวิเคราะห์หาปริมาณเบต้าแคโรทีนในตัวอย่างผัก 7 ชนิด
6. ทดสอบความถูกต้องของวิธีการวิเคราะห์
7. วิเคราะห์หาปริมาณเบต้าแคโรทีนในตัวอย่างผัก 7 ชนิด

สถานที่ทำการวิจัย ทดลอง หรือเก็บข้อมูล

การวิจัยได้ทำการทดลองที่ห้องปฏิบัติการสาขาวิชาเคมี ศูนย์วิทยาศาสตร์ คณะวิทยาศาสตร์และเทคโนโลยี มหาวิทยาลัยราชภัฏสงขลา

วิธีการดำเนินการวิจัย

1. รวบรวมเอกสารที่เกี่ยวข้อง
2. ศึกษาสภาวะที่เหมาะสมของเครื่อง HPLC เพื่อวิเคราะห์หาปริมาณเบต้าแคโรทีน
3. ศึกษานิดของเฟสเคลื่อนที่และอัตราส่วนของเฟสเคลื่อนที่ที่เหมาะสมในการศึกษาพฤติกรรมการถูกชะของเบต้าแคโรทีน
4. ศึกษาอัตราส่วนของเฟสเคลื่อนที่ที่เหมาะสมเมื่อใช้ตัวทำละลาย 2 ชนิดเพื่อวิเคราะห์หาปริมาณเบต้าแคโรทีนในตัวอย่างผัก 7 ชนิด
5. ทดสอบความถูกต้องของวิธีการวิเคราะห์
6. วิเคราะห์หาปริมาณเบต้าแคโรทีนในตัวอย่างผัก 7 ชนิด
7. สรุปและอภิปรายผลการวิจัย
8. จัดทำรายงาน

บทที่ 2

ทฤษฎีและผลงานวิจัยที่เกี่ยวข้อง

ลักษณะทั่วไปของเบต้าแครอทีน

เบต้าแครอทีนเป็นสารประกอบชนิดหนึ่งที่พบในกลุ่มแครอทอид (carotenoids) มีสูตรทางเคมี คือ $C_{40}H_{56}$ มีมวลโมเลกุล 536.87 กรัมต่อโมล (g/mol) ความหนาแน่นเท่ากับ 0.941 ± 0.06 กรัมต่อลูกบาศก์เซนติเมตร (g/cm^3) มีจุดหลอมเหลว $180-182^\circ C$ เบต้าแครอทีน เป็นสารประกอบอินทรีย์ที่ไม่มีสีพาพช้า มีลักษณะเป็นผลึกสีเข้ม ไม่ละลายน้ำแต่ละลายได้ดีใน ตัวทำละลายอินทรีย์ เช่น อะซิโตน เบนซิน คลอโรฟอร์ม คาร์บอนไดออกไซด์และมานอก อีก เป็นดัน (เบต้าแครอทีน, 2556) เบต้าแครอทีนจะถลายน้ำได้ง่ายที่อุณหภูมิสูงหรือเมื่อถูกออกซิไดซ์ และ สามารถพับเบต้าแครอทีนได้ในผักหรือผลไม้ที่มีสีเขียวและเหลือง เช่น พักทอง แครอท ผักโขม บรอกโคลี คะน้า มะเขือเทศ มะละกอสุก และมะม่วง เป็นต้น (HealthToday, 2547)

เบต้าแครอทีนเป็นสารตั้งต้น (precursor) ของวิตามินเอ ปฏิกิริยาไฮโดรไลซิส (hydrolysis) ของเบต้าแครอทีนจะให้วิตามินเอ 2 โมเลกุล ดังแสดงในสมการ



เบต้าแครอทีน

วิตามินเอ

โดยที่เบต้าแครอทีน 6 มิลลิกรัม (mg) จะถูกเปลี่ยนไปเป็นวิตามินเอ 1 RE (retinol equivalent) (กองโภชนาการ กรมอนามัย กระทรวงสาธารณสุข, 2546) หากมีปริมาณเบต้าแครอทีน ในร่างกายสูงจะส่งผลให้มีปริมาณวิตามินเอสูงด้วย นอกจากนี้เบต้าแครอทีนยังเป็นสารต้านอนุมูล อิสระและมีประโยชน์ต่อร่างกายหลายด้าน ได้แก่ ช่วยลดความเสี่ยงในการเกิดโรคมะเร็ง ช่วยเพิ่ม ภูมิคุ้มกันของร่างกาย ช่วยบำรุงผิวพรรณไม่ให้เหี่ยวย่น และช่วยบำรุงดวงตา เป็นต้น (ข้อมูล โภชนาการ, 2549)

จากการศึกษาและวิจัยจำนวนมากพบว่าการรับประทานเบต้าแครอทีนอย่างสม่ำเสมอ จะช่วยให้จำนวนอนุมูลอิสระลดลง เนื่องจากเบต้าแครอทีนจะไปทำหน้าที่กระตุ้นให้ที-เซลล์ (T-helper) ซึ่งเป็นเซลล์ภูมิคุ้มกันทำงาน ให้ทำหน้าที่ด้านอนุมูลอิสระหรือต้านสิ่งแปลกปลอมได้ดีขึ้น โดยอนุมูลอิสระที่เกิดขึ้นมีแหล่งที่มาจากการทั้งภายนอกและภายในร่างกาย ตัวอย่างของแหล่งที่มา

จากภายนอกร่างกาย “ได้แก่ ผลพิษในอากาศ ควันบุหรี่ แสงแดด รังสี gamma คลื่นความร้อน และอาหารที่มีกรดไขมันไม่อิมดัวหรือชาตุเหล็กในปริมาณสูง ส่วนเหล่งที่มาจากการในร่างกาย ได้แก่ การเผาผลาญของเซลล์โดยใช้ออกซิเจน ซึ่งอนุมูลอิสระที่เกิดขึ้นมีบทบาทสำคัญในการบวนการเกิดโรค เช่น โรคหัวใจและหลอดเลือด (วารสารโภชนาการ ฉบับที่ 2, 2553) อีกทั้งยังเป็นปัจจัยที่ทำให้โรคมีพัฒนาการอย่างรวดเร็วและมีความรุนแรงยิ่งขึ้น โดยเฉพาะโรคที่เกี่ยวกับความเสื่อมและความบกพร่องของเซลล์ประสาท เช่น โรคต้อกระจกในผู้สูงอายุ โรคเนื้อเยื่ออักเสบเป็นต้น (โภกา วัชระคุปต์, 2549)

ในการแพทย์มีข้อมูลการศึกษาของเบต้าแครอทีนที่ชี้ให้เห็นถึงผลของเบต้าแครอทีนที่ช่วยเพิ่มระบบภูมิคุ้มกันของร่างกายและลดจำนวนอนุมูลอิสระที่จะก่อให้เกิดโรคได้ ตัวอย่างเช่น Watson (1991) แห่งมหาวิทยาลัยแอร์โชนา ประเทศสหราชอาณาจักร ได้ทำการศึกษาถึงผลของเบต้าแครอทีนที่ช่วยเพิ่มระบบภูมิคุ้มกันในร่างกาย โดยให้ชายและหญิง จำนวน 60 คน รับประทานผักและผลไม้เพื่อให้ได้ปริมาณเบต้าแครอทีน 30-60 มิลลิกรัมต่อวัน พนว่า ชายและหญิงวัย 60 ปี มีภูมิคุ้มกันทางร่างกายเพิ่มขึ้นอย่างเห็นได้ชัด ซึ่งภูมิคุ้มกันทางนั้นวัดได้จากการทำงานของเซลล์เม็ดเลือดขาว โดยเซลล์เม็ดเลือดขาวเหล่านี้จะถูกกระตุ้นหรือเกิดการแบ่งเซลล์ ทำให้พร้อมที่จะทำงาน และเมื่อหยุดรับประทานผักผลไม้พบว่าภูมิคุ้มกันทางค่อย ๆ ลดลง จนกระทั่งมีระดับกลับสู่ค่าเดิมก่อนที่จะมีการรับประทานผักและผลไม้ และเมื่อตรวจวัดปริมาณเบต้าแครอทีนในร่างกายพบว่าเบต้าแครอทีน ขนาด 30-60 มิลลิกรัม นั้นได้มาจาก การรับประทานแครอฟต์ประมาณ 5-10 หัว และจากการรับประทานมันฝรั่งปัน 2-4 ชิ้นต่อวัน (200-400 กรัม (g)) รวมถึงยังมีการศึกษาผลของเบต้าแครอทีนที่มีต่อการลดจำนวนอนุมูลอิสระที่จะก่อให้เกิดโรคโดยเฉพาะโรคหัวใจและหลอดเลือดขาว ซึ่งภูมิคุ้มกันต่อต้านอนุมูลอิสระที่เพิ่มขึ้นในอีก 10 ปี ข้างหน้าจะมีผู้เสียชีวิตจากโรคหัวใจและหลอดเลือดขาว 11 ล้านคน ทั่วโลก สำหรับสถานการณ์โรคหัวใจและหลอดเลือดขาวในประเทศไทย พนว่า โรคหัวใจและหลอดเลือดขาวเป็นสาเหตุของการเสียชีวิตอันดับที่ 1 ติดต่อกันมากกว่า 6 ปี และนับวันยังเพิ่มจำนวนมากขึ้น (อัญชลี อุษา, 2554) การลดโอกาสในการเกิดโรคหัวใจและหลอดเลือดขาวในผู้ที่เคยสูบบุหรี่นั้นเกิดจากการให้ผู้ที่เคยสูบบุหรี่รับประทานผักและผลไม้ที่มีเบต้าแครอทีนเป็นระยะเวลา 9 ปี เพื่อให้เบต้าแครอทีนมีปริมาณมากพอที่จะสามารถยับยั้งอนุมูลอิสระที่เป็นสาเหตุของการเกิดโรค จากนั้นจึงตรวจวัดปริมาณเบต้าแครอทีนในร่างกาย พนว่าผู้ที่มีปริมาณเบต้าแครอทีนในปริมาณที่ต่ำมีโอกาสเกิดโรคหัวใจและหลอดเลือดขาวเป็น 5 เท่า ของผู้ที่รับประทานผักและผลไม้อย่างสม่ำเสมอ (วารสารโภชนาการ ฉบับที่ 2, 2553) ทั้งนี้นอกจากเบต้าแครอทีนจะเป็นสารต้านอนุมูลอิสระที่ดีแล้ว เมื่อร่างกายได้รับเบต้าแครอทีน ตับจะทำหน้าที่ย่อยสลายจนได้เป็นวิตามินเอ ร่างกายจึงนำไปใช้ในการสร้างสารโปรดอปซิน (rhodopsin) และเรตินา (retina) ในตา ทำให้ตัวมีความสามารถในการมองเห็นในเวลากลางคืน และช่วยลดความเสื่อมของเซลล์ลูกตา ลดความเสี่ยงในการเป็นต้อกระจก เป็นต้น (HealthToday, 2547) ดังนั้น การรับประทานผักและผลไม้ที่มีเบต้าแครอทีนอย่างสม่ำเสมอจะช่วยให้ออนุมูลอิสระที่มีในร่างกายลดลง และลดความเสี่ยงในการเกิดโรคได้

แต่อย่างไรก็ตามหากรับประทานเบต้าแครอทีนในปริมาณที่มากอาจจะก่อให้เกิดโทษได้เช่นกัน ตัวอย่างเช่น หญิงวัย 20 ปีที่รับประทานฟักทองเป็นประจำหลังอาหารนาน 2 ปี พบว่า มีความผิดปกติเกิดขึ้น คือ มีไข้ ขับลม ผิวแห้ง น้ำหนักตัวลด และปวดศีรษะ จากการวินิจฉัยของแพทย์พบว่ามีปริมาณวิตามินเอในร่างกายมากเกินความต้องการ เนื่องจากร่างกายสามารถเปลี่ยนเบต้าแครอทีนไปเป็นวิตามินเอได้ การรับประทานเบต้าแครอทีนในปริมาณมากจะทำให้ได้วิตามินเอเพิ่มมากด้วย (ศศิธร ศิริราษัย, 2546) ดังนั้น จึงควรรับประทานเบต้าแครอทีนในปริมาณที่พอเหมาะสมเพื่อให้ร่างกายสามารถนำไปใช้ได้ในแต่ละวัน นอกจากนี้ยังสามารถพบเบต้าแครอทีนได้ในเซลล์แมมเบรน ซึ่งทำหน้าที่ในการป้องกันเยื่อหุ้มเซลล์จากสารร่วงไวปฏิกิริยาที่จะทำให้เซลล์มีการเจริญเติบโตที่ผิดปกติจนอาจทำให้เกิดโรคมะเร็งบางชนิดได้ เช่น มะเร็งช่องปาก กล่องเสียง ตับ หรือกระเพาะอาหาร หรืออาจเป็นโรคเส้นเลือดหัวใจอุดตันและโรคต้อกระจก เป็นต้น (Giovannucci, 1999)

ในปัจจุบันกลุ่มผู้บริโภคได้เห็นถึงความสำคัญของเบต้าแครอทีนที่มีผลต่อร่างกาย จึงหันมาบริโภคเบต้าแครอทีนที่มีในผักและผลไม้กันมากขึ้น ทำให้นักวิจัยหลายท่านสนใจที่จะศึกษาเกี่ยวกับเบต้าแครอทีน โดยเฉพาะในทางเคมีเคราะห์ที่มีการศึกษาและพัฒนาเทคโนโลยีอย่างต่อเนื่อง โดยใช้เทคนิคต่างๆ ได้แก่ Biophotonic Scanner (BS), Liquid chromatography (LC), Supercritical fluid chromatography (SFC), Ultra Performance Liquid Chromatography (UPLC) และ HPLC เป็นต้น

HPLC เป็นเทคนิคที่ได้รับความนิยมมาก เนื่องจากสามารถเป็นเครื่องมือที่มีความไวในการวิเคราะห์สูงที่สามารถวิเคราะห์สารประกอบที่ไม่มีสภาพข้าว เช่น เบต้าแครอทีนได้จากการรายงานวิจัยที่ผ่านมาพบว่ามีผู้วิจัยหลายท่านเลือกใช้เทคนิค HPLC ในการศึกษาเบต้าแครอทีน ตัวอย่างเช่น

ปิยศิริ สุนทรนนท์ (2551) ศึกษาสารด้านอนุมูลอิสระที่เป็นเบต้าแครอทีนในพืชหลายชนิดได้แก่ หว้า ดอกดาวหรา เปปีลอกะอีก ผลมะอีก และดอกเข็ม ด้วยเทคนิค HPLC โดยนำพืชเหล่านี้มาทำแห้งด้วยวิธี Lyophilization แล้วนำตัวอย่างที่หนัก 300-500 mg (น้ำหนักแห้ง) มาเติมเอทานอลที่ผสม butylated hydroxytoluene (BHT) เข้มข้น 0.1% โดยนำน้ำหนักต่อปริมาตร (w/v) ปริมาตร 10 mL เก็บที่อุณหภูมิ 70 °C นาน 15 นาที และเติมโพแทสเซียมไฮดรอกไซด์ (KOH) เข้มข้น 40% (w/v) เพื่อให้เกิดปฏิกิริยา Saponification ที่อุณหภูมิ 70 °C นาน 30 นาที แล้วนำมาแช่ในอ่างน้ำแข็ง เดิมน้ำกกลิ่นปริมาตร 10 mL จากนั้นเติมสารละลายผสม hexane : toluene ในอัตราส่วน 10:8 (v/v) นำส่วนในสารละลายแห้ง แล้วนำไปละลายด้วยเตาระไอโดยฟูเรน (tetrahydrofuran; THF) หลังจากนั้นนำไปตรวจวัดด้วยเทคนิค HPLC ที่ใช้คอลัมน์ C-18 ที่ความยาวคลื่น 450 nm โดยใช้เฟสเคลื่อนที่ของสารละลายผสมระหว่างอะซิโตไนโตรล์ เมทานอล และเตาระไอโดยฟูเรน ในอัตราส่วน 52:40:8 (v/v) และใช้อัตราการไหลของเฟสเคลื่อนที่เท่ากับ 0.1 mL/min พบร่วาใช้เวลาในการชี้เบต้าแครอทีน ในช่วง 13.00 ถึง 15.00 นาที และพบว่า

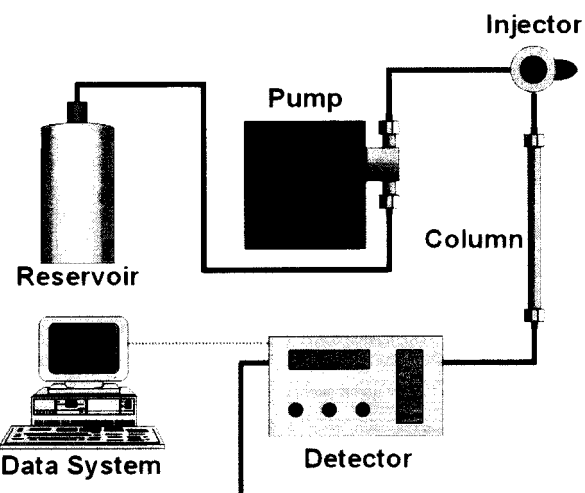
เบปีอกมะอึกมีเบด้าแครโตรีนมากที่สุดคือ 732.43 ไมโครกรัม (μg) ส่วนเนื้อมะอึกมีเบด้าแครโตรีน 185.57 ไมโครกรัม และดอกาเซ็ม 167.38 ไมโครกรัม ส่วนในหว้า และดอกาดาลามีปริมาณเบด้าแครโตรีนอยู่น้อยมาก

Ahamad *et al.* (2007) สนใจศึกษาเบด้าแครโตรีนในผักใบเขียวด้วยเทคนิค HPLC โดยใช้คอลัมน์ C-18 ใช้เฟสเคลื่อนที่เป็นเมทานอล:ไดคลอโรเมเทน:อะซิโตรไนโตรล์ ในอัตราส่วน 10:20:70 (v/v) ใช้อัตราการไหลของเฟสเคลื่อนที่เท่ากับ 2 mL/min และตรวจวัดที่ความยาวคลื่น 452 nm ทำให้เบด้าแครโตรีนถูกชะออกจากคอลัมน์ในเวลา 4.7 นาที เมื่อคำนวณปริมาณเบด้าแครโตรีนในผักที่ศึกษาพบว่า มันฝรั่งมีเบด้าแครโตรีนน้อยกว่า 80 ไมโครกรัมต่อ 100 กรัม (น้ำหนักแห้ง) ส่วนในผักกาด ผักโขม และแครอฟท์ มีปริมาณเบด้าแครโตรีนมากกว่า 80 ไมโครกรัมต่อ 100 กรัม (น้ำหนักแห้ง) ในขณะที่ Robinson *et al.* (1986) ได้รายงานปริมาณเบด้าแครโตรีนในผักทั้ง 4 ชนิด ได้แก่ มันฝรั่ง ผักกาด ผักโขม และแครอฟท์ มีปริมาณเบด้าแครโตรีนอยู่ในช่วง 80-920 ไมโครกรัมต่อ 100 กรัม (น้ำหนักแห้ง)

จากการรายงานดังกล่าวเทคนิค HPLC เป็นเทคนิคที่สนใจสำหรับนำมาใช้ในการศึกษาเบด้าแครโตรีน ในหัวข้อต่อไปจะกล่าวถึงรายละเอียดของเทคนิค HPLC

โครมาโทกราฟีของเหลวสมรรถนะสูง

โครมาโทกราฟีของเหลวสมรรถนะสูงหรือ HPLC เป็นเครื่องมือที่พัฒนามาจากคอลัมน์โครมาโทกราฟี (column chromatography) โดยพัฒนาให้คอลัมน์มีขนาดเส้นผ่าศูนย์กลางประมาณ 1-5 มิลลิเมตร (mm) ใช้สารที่บรรจุในคอลัมน์ (packing material) ขนาดเส้นผ่าศูนย์กลางประมาณ 3-10 ไมโครเมตร (μm) และใช้เครื่องสูบเป็นตัวบับเบลลีนเฟสเคลื่อนที่เข้าสู่คอลัมน์ (แม่น อมาสิกธ์ และคณะ, 2553a) HPLC เป็นเครื่องมือที่นิยมใช้กันอย่างแพร่หลายในการวิเคราะห์และแยกสารเกือบทุกชนิด เนื่องจากเป็นเครื่องมือที่มีความไวสูง (high sensitivity) และสามารถประยุกต์ใช้ในงานวิเคราะห์หาปริมาณได้อย่างรวดเร็ว แม่นยำและมีประสิทธิภาพโดยเฉพาะสารที่ไม่ระเหยและไม่คงตัวต่อกลิ่นร้อน ส่วนประกอบที่สำคัญของเครื่อง HPLC แสดงในรูปที่ 2.1



รูปที่ 2.1 แผนภาพแสดงส่วนประกอบของเครื่อง HPLC

ที่มา: (<http://www.lcresources.com/resources/getstart/1c01.htm>, 1/7/2014)

1. คอลัมน์ (Column)

คอลัมน์เป็นอุปกรณ์ในเครื่อง HPLC ที่สำคัญ ทำหน้าที่แยกสาร คอลัมน์แต่ละชนิดมี คุณสมบัติในการแยกสารชนิดต่าง ๆ ออกจากกันได้ แต่ไม่มีคอลัมน์ใดคอลัมน์หนึ่งที่สามารถ แยกสารทุกชนิดได้ในเวลาเดียวกัน ดังนั้นการแยกสารด้วยวิธีที่ต้องการวิเคราะห์ให้ได้ผลการ วิเคราะห์ที่ดีนั้นขึ้นอยู่กับสารที่ใช้บรรจุในคอลัมน์หรือที่เรียกว่าเฟสคงที่

ปัจจุบันเฟสคงที่แบบเกิดพันธะ (bonded-phase) เป็นเทคนิคที่นำเอาซิลิกาที่มีรูพรุน ขนาดเล็กมาดัดแปลง โดยการทำปฏิกิริยากับสารอินทรีย์ที่ต้องการใช้เป็นเฟสคงที่เพื่อให้เกิด พันธะกับหมุนซีลอนอล มี 3 วิธี คือ วิธีเกิดผ่านปฏิกิริยาเอสเทอเรฟิเคชัน (esterification) วิธีคลอรินেชัน (chlorination) และ วิธีไซลิลเลชัน (silylation) (จากรัฐธรรมนูญ ศุภาริต, 2552a) เทคนิคนี้นิยมนำมาใช้ในงาน HPLC สามารถแบ่งชนิดของพันธะที่เกิดขึ้นได้ 2 ชนิด

1.1 บอนด์เฟสชนิดเฟสรรmode (normal phase; NP) เป็นเทคนิคการแยกสารโดย เฟสคงที่เป็นสารที่มีสภาพข้าว เช่น ซิลิกา และใช้เฟสเคลื่อนที่เป็นสารที่ไม่มีสภาพข้าว เช่น เอ็กเซนพสมกับเมทิลลีนคลอไรด์ วิธีนี้จะควบคุมยากเนื่องจากปริมาณน้ำมีผลต่อการวิเคราะห์ อีกทั้งยังเกิดความยุ่งยากในการวิเคราะห์สารที่ละลายได้ดีในน้ำ ดังนั้นวิธีนี้จึงเหมาะสมสำหรับใช้ แยกสารที่มีสภาพข้าวสูง

1.2 บอนด์เฟสชนิดเฟสผันกลับ (reversed phase; RP) เป็นเทคนิคการแยกสารที่ ใช้เฟสคงที่เป็นหมุนพังค์ชันที่ไม่มีสภาพข้าว โดยนำซิลิกามารังสรรค์พันธะกับหมุน Octadecyl (ODS; -C₁₈H₃₇), Octyl (-C₈H₁₇) หรือ Hexyl (-C₆H₁₃) ซึ่งหมุนพังค์ชันเหล่านี้จะมีสภาพข้าวต่ำหรือไม่มีข้าว ส่วนเฟสเคลื่อนที่จะเป็นตัวทำละลายที่มีสภาพข้าว เช่น น้ำ หรือสารละลายผสมระหว่างน้ำกับ

ตัวทำละลายอินทรีย์ที่ละลายหน้าได้ เช่น เมทานอล และอะซิโตอินไตรอล เป็นต้น วิธีนี้จะเหมาะสมสำหรับใช้แยกสารที่มีสภาพขั้วต่ำ ดังนั้นในงานวิจัยต่าง ๆ ที่ต้องการศึกษาหรือแยกสารที่ไม่มีสภาพขั้วหรือสารที่มีสภาพขั้วต่ำมักนิยมเลือกใช้เทคนิค RP-HPLC (จากรุวรรณ สุจิต, 2552b) เนื่องจาก

1. สามารถใช้แยกได้ทั้งสารประกอบที่ไม่มีข้าว สารประกอบที่มีข้าว และสารประกอบที่แตกตัวเป็นไอออนได้ บางครั้งสามารถแยกสารประกอบประเภทนี้พร้อม ๆ กัน ด้วยเฟสเคลื่อนที่ชนิดเดียวกัน

2. columน์บอนด์เฟสค่อนข้างเสถียร โดยบอนด์เฟสแบบเฟสผันกลับจะสามารถใช้แยกสารที่มีสภาพขั้วและไม่มีสภาพขั้วได้ นอกจากนี้ยังมีความไวสูงทำให้ผลลัพธ์ได้มีความน่าเชื่อถือ

3. ตัวทำละลายที่ใช้หาง่าย ราคาถูก และมีความบริสุทธิ์สูง

4. สามารถนำน้ำยาดับการชีวะของสารที่ออกจาก columน์ได้ เพราะเวลาในการถูกหน่วงของสารจะเพิ่มขึ้นตามสมบัติของสารประกอบที่ไม่มีข้าว

5. สมดุลที่เกิดขึ้นใน columน์จะเกิดเร็ว

ด้วยเหตุนี้ RP-HPLC จึงเป็นเทคนิคที่นิยมใช้สำหรับแยกสารประกอบที่ไม่มีสภาพขั้ว และสารที่ไม่คงตัวต่อความร้อน ดังนั้นจึงมีความเหมาะสมสมที่จะนำมาใช้สำหรับศึกษาเบต้าแครอทีน

2. เครื่องตรวจวัด (Detector)

เครื่องตรวจวัดมีหน้าที่ตรวจวัดสัญญาณของตัวอย่างเปรียบเทียบกับสัญญาณของเฟสเคลื่อนที่ เครื่องตรวจวัดที่ใช้ในเทคนิค HPLC แบ่งออกเป็น 2 ประเภทได้แก่

2.1 Bulk property หรือ general detector เป็นเครื่องตรวจวัดประเภทที่วัดการเปลี่ยนแปลงสมบัติทางกายภาพของหัวสูญญากาศที่แยกตัวอย่างที่ทำการวิเคราะห์ เช่น การวัดค่า折射率ของสารละลาย (refractive index) และค่าดักติวิตี้ (conductivity)

2.2 Solute property หรือ selective detector เป็นเครื่องตรวจวัดประเภทที่วัดการเปลี่ยนแปลงที่เกิดจากสมบัติของสารที่วิเคราะห์เพียงอย่างเดียว เช่น เครื่องตรวจวัดชนิดอัลตราไวโอลেต-วิชิเบิล ฟลูออเรสเซนซ์ และ อิเล็กโทรเคมิคัล (แม้น ออมรัสทิร์และคณะ, 2553b)

เครื่องตรวจวัดที่ใช้ในเทคนิค HPLC มีหลายชนิด แต่ละชนิดมีหลักการวัดที่แตกต่างกัน จึงสามารถวิเคราะห์สารที่คุณสมบัติเฉพาะที่แตกต่างกัน เครื่องตรวจวัดที่นำมาใช้กับเครื่อง HPLC ได้แก่

2.2.1 เครื่องตรวจวัดชนิดฟลูออเรสเซนซ์ (fluorescent detector) เป็นเครื่องที่วัดการร้าวแสงของสารเมื่อถูกการดูดด้วยแสงญี่วี มีความไวในการตรวจสูงกว่าเครื่องตรวจวัด

ยูวี-วิชีบิลประมาณ 1,000 เท่า เครื่องตรวจวัดชนิดนี้ค่อนข้างเฉพาะเจาะจงจึงใช้กับสารบางชนิดเท่านั้น เช่น กลุ่มยา (pharmaceuticals) สารประกอบที่เกี่ยวข้องกับสิ่งมีชีวิต (clinically) และสารทางธรรมชาติ วิตามิน สารชีวเคมี (biochemical species) เป็นต้น

2.2.2 เครื่องตรวจวัดชนิดรีแฟร์กโถมิเตอร์ (refractometer detector) เป็นเครื่องที่วัดค่าดัชนีหักเหของสารละลายทั้งหมดที่เข้าสู่เครื่องตรวจวัด จึงไม่มีความจำเพาะกับสารที่ต้องการวัด การหาปริมาณจึงเป็นการวัดเบรี่ยนเทียบความแตกต่างของค่าดัชนีหักเหระหว่างเฟสคงที่กับเฟสเคลื่อนที่ที่มีสารอื่นปน มักนำมาใช้กับการวิเคราะห์สารประกอบที่ไม่ตอบสนองกับเครื่องตรวจวัดยูวี-วิชีบิล เช่น น้ำตาล เป็นต้น

2.2.3 เครื่องตรวจวัดชนิดอิเล็กโทรเคมิคัล (electrochemical detector) เป็นเครื่องตรวจวัดที่อาศัยการวัดค่าทางเคมีไฟฟ้าของสารที่ถูกแยกออกจากคอมลัมน์ ได้แก่ โอลแทมเมตري แอมเพโรมetri และคูลอมมิตร ใช้ในการวิเคราะห์สารประกอบอินทรีย์ปริมาณน้อยในน้ำ ปัจจุบันนิยมใช้เครื่องตรวจวัดคูลอมเมตري ซึ่งจะตรวจวัดปริมาณไฟฟ้าที่เกิดขึ้นในระบบ โดยการวัดกระแสความด่างศักย์ (current-voltage) ที่เกิดขึ้นในระบบโดยใช้อิเล็กโทรดเหมาะสมสำหรับใช้วัดสารตัวอย่างที่เป็นตัวออกซิไดซ์ และตัวรีดิวช์ในช่วงของศักย์ไฟฟ้าที่กำหนดตัวอย่าง ได้แก่ สารชีวเคมี เช่น ฮอร์โมน เป็นต้น

2.2.4 เครื่องตรวจวัดชนิดยูวี-วิชีบิล (UV-VIS spectrophotometer) เป็นเครื่องตรวจวัดที่นิยมมากที่สุดในเทคนิค HPLC เครื่องตรวจวัดชนิดนี้สามารถใช้กับสารละลายตัวอย่างที่มีคุณสมบัติในการดูดกลืนแสงในช่วงยูวี-วิชีบิล (ช่วงความยาวคลื่น 190-600 nm) เครื่องตรวจวัดชนิดนี้สามารถวิเคราะห์ได้ทั้งสารอินทรีย์และสารอนินทรีย์ ที่สามารถดูดกลืนแสงในช่วงดังกล่าวได้ เฟสเคลื่อนที่ที่ใช้ด้องไม่ดูดกลืนแสงในช่วงความยาวคลื่นที่วิเคราะห์ (พัฒนาเหล่าไฟบูลย์, 2554a) เครื่องตรวจวัดชนิดนี้นำมาใช้งานอย่างกว้างขวาง โดยเฉพาะในเทคนิค HPLC ที่นิยมนำยูวี-วิชีบิลมาเป็นเครื่องตรวจวัดสัญญาณในการศึกษาเกี่ยวกับเบต้าแครอทีน ซึ่งหลักการทำงานใช้กฎของเบียร์และแอลเบริค นอกจากนี้เครื่องตรวจวัดยูวี-วิชีบิลยังสามารถแบ่งย่อยออกเป็น 3 ชนิด ได้แก่

(1) fixed-wavelength detectors เป็นเครื่องตรวจวัดที่สามารถวัดการดูดกลืนคลื่นแสงได้ในบางช่วง

(2) variable-wavelength detector เป็นเครื่องตรวจวัดที่สามารถวัดการดูดกลืนแสงที่ความยาวคลื่นที่ต้องการ

(3) diode array detector เป็นเครื่องตรวจวัดที่สามารถสแกนยูวีและแสดงสเปกตรัมเป็นภาพสามมิติซึ่งแสดงค่าการดูดกลืน ความยาวคลื่น และเวลาที่วิเคราะห์จากสเปกตรัมที่ได้ทำให้สามารถเลือกความยาวคลื่นที่เหมาะสมที่สุดสำหรับวิเคราะห์สารแต่ละชนิด สำหรับด้วยละลายที่ใช้เตรียมเป็นเฟสเคลื่อนที่ต้องมีคุณสมบัติไม่ดูดกลืนแสงในช่วงความยาวคลื่นที่ใช้วิเคราะห์ตัวอย่าง (แม้น อมรสิทธิ์และคณะ, 2553b)

3. เครื่องสูบ (Pump)

เครื่องสูบเป็นส่วนของเครื่อง HPLC ที่ทำหน้าที่ดูดเพสเคลื่อนที่จากภาชนะบรรจุเข้าสู่ระบบ เครื่องสูบที่ใช้ทำจากวัสดุที่ทนต่อสารเคมีและการกัดกร่อน เช่น ไททาเนียม (titanium) แซฟไฟร์ (sapphire) เป็นต้น (พัฒนา เหล่าไพบูลย์, 2554b) ปัจจุบันนิยมใช้เครื่องสูบแบบควบคุมอัตราการไหลให้คงที่ (constant flow) ได้แก่ เครื่องสูบชนิด reciprocating ส่วนประกอบมีลูกสูบ 2 ตัว (dual piston) ทำงานสลับกัน ทำให้สัญญาณที่เกิดจากการทำงาน (pulse) ของลูกสูบแต่ละตัวหักล้างกันพอดี สัญญาณที่ออกมาจึงเรียบ

การแยกสารในเทคนิค HPLC ให้มีประสิทธิภาพนั้นมีปัจจัยหนึ่งที่เกี่ยวข้อง คือ การเลือกรอบของตัวทำละลายและการเลือกด้วมหาดใหญ่ที่ใช้เป็นเพสเคลื่อนที่ ตัวทำละลายที่ใช้เป็นเพสเคลื่อนที่มีความจำเพาะแตกต่างกันขึ้นอยู่กับชนิดของสารที่ต้องการแยก แต่ควรมีคุณสมบัติพื้นฐานที่เหมือนกันคือ มีความบริสุทธิ์สูง ปราศจากสิ่งเจือปน และไม่ทำปฏิกิริยากับเพสคงที่ คอลัมน์ ตัวชี้ดัด เครื่องตรวจวัด และสารที่ต้องการแยกจนทำให้เสื่อมสภาพไป นอกจากนี้ยังต้องคำนึงถึงความหนืดและความปลดภัยของสารละลายด้วย ซึ่งตัวทำละลายที่นิยมใช้เป็นเพสเคลื่อนที่ ได้แก่ อะซิโตรไนโตรล์ เมทานอล ไดคลอโรเมเทน น้ำ เป็นต้น การใช้เพสเคลื่อนที่จะสารตัวอย่างออกจากคอลัมน์พบได้ 2 ลักษณะคือ

1. Isocratic elution เป็นระบบการจะโดยใช้ตัวทำละลายที่มีสภาพขั้วคงที่ตลอดการแยกสาร ทำให้ตัวทำละลายที่ใช้มีสัดส่วนคงที่ตลอดการใช้งาน (จากรุวรรณ สุจิริต, 2553c)

2. Gradient elution เป็นระบบการจะโดยใช้ตัวทำละลายที่มีการเปลี่ยนแปลงสภาพขั้วตลอดกระบวนการแยกสาร การทำงานในระบบ gradient elution ต้องใช้เครื่องสูบที่ออกแบบสำหรับการทำ gradient elution โดยเฉพาะ เช่น ใช้เครื่องสูบหลายเครื่อง หรือเครื่องสูบที่มี proportional valve เป็นต้น (แม้น ออมรสิทธิ์และคณะ, 2553c)

4. ระบบควบคุมและประมวลผล (Microprocessor)

ระบบควบคุมและประมวลผลมีหน้าที่ควบคุมการทำงานของเครื่องมือส่วนอื่น ๆ รวมทั้งประมวลผลการวิเคราะห์ โดยรายงานผลเป็นໂຄமາໂທແກຣມพร้อมทั้งข้อมูลอื่น ๆ ที่สนใจ ขึ้นอยู่กับความต้องการของผู้ใช้ เช่น ข้อมูลการตรวจสอบความเหมาะสมของระบบ เป็นต้น ในໂຄມາໂທແກຣມหนึ่งจะประกอบด้วยสัญญาณที่ได้จากการวัดเพสเคลื่อนที่ซึ่งมีลักษณะเป็นเส้นตรงสม่ำเสมอเรียกว่าเส้นฐาน (base line) กับสัญญาณที่ได้จากการวัดสารที่วิเคราะห์ในตัวอย่างซึ่งมีลักษณะเป็นยอดแหลมเรียกว่า พีค (peak) ลักษณะของพีคอาจจะสูงหรือต่ำกว่าเส้นฐานขึ้นอยู่กับผลิต่างของสัญญาณจากการวัดเพสเคลื่อนที่และสารที่วิเคราะห์ สารแต่ละชนิดที่สามารถแยกได้จะให้พีคที่เวลาต่างกัน เวลาจากจุดเริ่มต้นสารถึงยอดพีคเรียกว่า รีเทนชันไทม์

(retention time; t_r) ค่า t_r ใช้ประโยชน์ในการวิเคราะห์เชิงคุณภาพ ส่วนความสูงของพีคสัมพันธ์ กับปริมาณของสารจึงใช้ในการวิเคราะห์เชิงปริมาณ (แม้น อมรสิทธิ์และคณะ, 2553d)

ส่วนประกอบของเครื่อง HPLC ที่ได้ก่อตัวมาเป็นปัจจัยสำคัญที่มีผลต่อการศึกษา พฤติกรรมการถูกชະของสารประกอบต่าง ๆ และเวลาที่สารใช้ในการเคลื่อนที่ออกจากคอลัมน์ โดยการแยกทางโครมาโทกราฟที่มีประสิทธิภาพนั้น หลักสำคัญคือ จะต้องสามารถแยกสารที่ผสมกันให้ออกจากกันได้ในระยะเวลาที่เหมาะสม ซึ่งการแยกสารจะเกิดขึ้นอย่างมีประสิทธิภาพมากน้อยแค่ไหนจะต้องขึ้นอยู่กับผู้วิจัยที่ควรเลือกปัจจัยต่างๆ ให้เหมาะสมสมอย่างไร

เบต้าแครโโรทินเป็นสารประกอบอินทรีย์ที่ไม่มีสภาพข้าว เมื่อต้องการทำการศึกษามัgn RP-HPLC มาเป็นเทคนิคที่ใช้ในการศึกษาด้วยเหตุผลหลายประการที่ทำให้เทคนิค RP-HPLC นี้มีความเหมาะสมในการนำมาศึกษาเบต้าแครโโรทิน โดยจะนำเสนอผลงานวิจัยที่เกี่ยวข้องของผู้วิจัยหลายท่านที่ได้ทำการศึกษาเกี่ยวกับเบต้าแครโโรทิน

งานวิจัยที่เกี่ยวข้อง

การแยกเบต้าแครโโรทินให้ได้ประสิทธิภาพโดยสนับสนุนพฤติกรรมการถูกชະของสาร ขึ้นอยู่กับการเลือกใช้ประโยชน์ของสารประกอบตัวอย่างที่ใช้เป็นเฟสเคลื่อนที่ ด้วยการที่ต้องการให้สารที่ต้องการจะถูกดูดซึมเข้าไปในคอลัมน์ ต้องมีความสามารถในการเคลื่อนที่ของสารออกจากคอลัมน์ ดังที่นักวิจัยหลายท่านได้ทำการศึกษา ด้วยการศึกษาพฤติกรรมการถูกชະของเบต้าแครโโรทินที่ใช้ทั้งระบบการชະแบบ isocratic elution และระบบการชະแบบ gradient elution โดยมีผู้ทำการศึกษาต่อไปนี้

Nyambaka และ Ryley (1996) ได้แยกแอลฟาระเบต้าแครโโรทินในผักใบเขียว ด้วยเทคนิค RP-HPLC ใน การศึกษาเลือกใช้ระบบการชະสารแบบ isocratic โดยมีสารละลายผสมของน้ำ ไนโตรมีเทนและเมทานอล ในอัตราส่วน 6:15:79 (v/v) เป็นเฟสเคลื่อนที่และใช้อัตราการไหลของเฟสเคลื่อนที่เท่ากับ 0.8 mL/min ใช้ RP-column C-18 ในการแยก จากนั้น ตรวจวัดด้วยยูวี-วิชิเบิลที่ความยาวคลื่น 450 nm พบร่วมหาลฟาระเบต้าแครโโรทินถูกชະออกจากคอลัมน์ที่เวลา 29.08 และ 31.00 นาที ตามลำดับ จะเห็นได้ว่าเวลาที่ใช้ในการชະและแอลฟาระเบต้าแครโโรทินออกจากคอลัมน์ค่อนข้างนาน เนื่องจากแอลฟาระเบต้าแครโโรทินเป็นสารประกอบที่ไม่มีสภาพข้าวเมื่อเข้าสู่คอลัมน์ที่เป็นอนต์เฟสชนิดเฟสแบบผันกลับที่มีสภาพความเป็นข้าวต่ำกว่าเฟสเคลื่อนที่ซึ่งประกอบด้วย น้ำ ($P_1 = 9$) ไนโตรมีเทน ($P_1 = 3.1$) และเมทานอล ($P_1 = 5.1$) ทำให้เฟสเคลื่อนที่มีสภาพข้าวไม่สูงมาก และอัตราการไหลของเฟสเคลื่อนที่เท่ากับ 0.8 mL/min อาจไม่เพียงพอที่จะสามารถชาระให้ออกจากคอลัมน์ได้อย่างรวดเร็ว ทำให้แอลฟาระเบต้าแครโโรทินถูกหน่วงกับคอลัมน์เป็นเวลานาน Nyambaka และ Ryley จึงได้

ปรับเปลี่ยนอัตราส่วนของเฟสเคลื่อนที่ให้มีสภาพข้ามเพิ่มขึ้นจากเดิมโดยใช้ น้ำ : ไดคลอโรเมเทน : เมทานอล ผสมกันในอัตราส่วน 4.8:15.2:80 (v/v) พร้อมทั้งปรับอัตราการไหลของเฟสเคลื่อนที่ให้เพิ่มขึ้นเป็น 1.0 mL/min พบว่าใช้เวลาในการชะลอผลพาราโคโรทินออกจากคอลัมน์ 17.00 นาที และเบต้าแครโบทิน 19.05 นาที จากการศึกษาของ Nyambaka และ Ryley แสดงให้เห็นว่าเมื่อปรับสภาพข้ามของเฟสเคลื่อนที่และอัตราการไหลของเฟสเคลื่อนที่ให้เพิ่มขึ้นจะมีผลต่อเวลาในการชะสารคือ ทำให้สารเคลื่อนที่ออกจากคอลัมน์ได้เร็วขึ้น

Thibeault *et al.* (2009) ได้ใช้ระบบการชะแบบ isocratic ในการศึกษาแครโบทินอยด์ เรตินอล และโทโคฟิโรล ในเข้มข้นของมนุษย์ด้วยเทคนิคคลิคิวติกรรมทางภาพ โดยทำการศึกษาด้วยเครื่อง HPLC ที่ใช้ ODS2 column C-18 ใช้เฟสเคลื่อนที่เป็น เมทานอล:ไดคลอโรเมเทน:อะซิโตรไนโตรล์ ในอัตราส่วน 10:20:70 (v/v) ใช้อัตราการไหลของเฟสเคลื่อนที่เท่ากับ 1.0 mL/min ศึกษาที่อุณหภูมิ 25 °C และตรวจด้วย DAD ที่ความยาวคลื่น 455 nm สามารถใช้สำหรับศึกษาแครโบทินอยด์ที่เป็นแอลฟาระเบต้าแครโบทินเท่านั้น โดยได้เปรียบเทียบประสิทธิภาพในการชะของเฟสเคลื่อนที่ระหว่างเฟสเคลื่อนที่ที่เดิมและไม่เดิมแอมโมเนียมอะซิเดท พบร้าเฟสเคลื่อนที่ที่เดิมแอมโมเนียมอะซิเดทจะมีความไวในการวิเคราะห์สูงและแสดงโครงสร้างที่คมชัดกว่า (sharp) โดยสามารถชะแอลฟาระเบต้าแครโบทินออกจากคอลัมน์ได้ในเวลาประมาณ 9.58 และ 10.98 นาที ตามลำดับ ในที่นี้การเดิมแอมโมเนียมอะซิเดทในเฟสเคลื่อนที่เพื่อต้องการปรับสภาพข้ามของเฟสเคลื่อนที่ให้ถูกเพื่อให้แอลฟาระเบต้าแครโบทินสามารถเคลื่อนที่ออกจากคอลัมน์ได้เร็วขึ้นและทำให้แอลฟาระเบต้าแครโบทินมีความเสถียรในการวิเคราะห์

Lyan *et al.* (2001) ใช้เทคนิค RP-HPLC ในการศึกษาแครโบทินอยด์ 13 ชนิดในพลาสม่าของมนุษย์ ที่เลือกใช้ระบบการชะสารออกจากคอลัมน์แบบ isocratic โดยมีน้ำบริสุทธิ์ปริมาตร 5 mL ไดคลอโรเมเทนปริมาตร 10 mL เมทานอลที่ผสมกับแอมโมเนียมอะซิเดทที่มีความเข้มข้น 50 mM ปริมาตร 15 mL และอะซิโดไนโตรล์ปริมาตร 70 mL ผสมกันเพื่อใช้เป็นเฟสเคลื่อนที่และกำหนดอัตราการไหลของเฟสเคลื่อนที่เท่ากับ 2 mL/min ใช้คอลัมน์ RP C-18 ในการแยกตรวจด้วยเครื่องไฟโอดอร์เรย์ที่ความยาวคลื่น 450 nm พบร้าแครโบทินอยด์ทั้ง 13 ชนิด ประกอบไปด้วย แอสตา-แซนทิน ใช้เวลาในการชะออกจากคอลัมน์ 5.6 นาที ลูทิน 8.3 นาที ซีแซนทิน 9.2 นาที แคนดาแซนทิน 10.2 นาที เบต้าคริปโตแซนทิน 18.7 นาที แอคทีโนน 19.8 นาที ทรานส์-ไลโคบีน 25.7 นาที ซิส-ไลโคบีน 30.9 นาที แอลฟาระเบต้าแครโบทิน 37.4 นาที ทรานส์-เบต้าแครโบทิน 40.7 นาที 9-ซิส-เบต้าแครโบทิน 43 นาที และ 13-ซิส-เบต้าแครโบทิน 45.5 นาที จากการศึกษาโครงสร้างของแครโบทินอยด์ทั้ง 13 ชนิด พบว่า โครงสร้างของเบต้าแครโบทินเป็นสารประกอบที่ไม่มีสภาพข้ามทำให้ถูกดึงกับคอลัมน์เป็นเวลานาน จึงถูกชะออกจากคอลัมน์ เป็นลำดับสุดท้ายซึ่งสอดคล้องกับการทดลองของ Karppi *et al.* (2008) ที่ใช้ระบบการชะสารออกจากคอลัมน์แบบ isocratic ในการศึกษา เบต้าแครโบทินในพลาสม่าของมนุษย์ โดยใช้สารละลาย

ผสมของคลอโรฟอร์ม เมทานอล และอะซิโตไนโตรส์ ในอัตราส่วน 15:25:60 (v/v) พร้อมทั้งเติม BHT ที่มีความเข้มข้น 0.01% (w/v) ลงในเฟสเคลื่อนที่ โดยกำหนดอัตราการไหลของเฟสเคลื่อนที่เท่ากับ 1.0 mL/min ตรวจด้วยโฟโตโอดอาร์เรย์ที่ความยาวคลื่น 454 nm พนวจฯเบต้าแครโโรทินถูกชะออกจากการคลอมน์ใช้เวลา 30 นาที

Murkovic *et al.* (2002) ได้ทำการศึกษาเบต้าแครโโรทินในผักทองด้วยเทคนิค RP-HPLC ที่เลือกรอบการ chromatograph แบบ isocratic คอลัมน์ที่ใช้สำหรับแยกเป็น RP-column C-18 ใช้ เฟสเคลื่อนที่ เป็นสารละลายผสมของ ไดคลอโรเมเทน เมทานอล และอะซิโตไนโตรส์ ในอัตราส่วน 4:20:76 (v/v) พร้อมทั้งเติม 0.1% ของ BHT และใช้อัตราการไหลของเฟสเคลื่อนที่เท่ากับ 1.0 mL/min จากนั้น ตรวจด้วยเครื่องตรวจด้วยยูวี-วิชิเบิลที่ความยาวคลื่น 450 nm พนวจฯเบต้าแครโโรทินถูกชะออกจากการคลอมน์ที่เวลา 30 นาที Englberger *et al.* (2003) ได้ทำการศึกษาเบต้าแครโโรทินใน กัลวย Micronesian และเพือกด้วยเทคนิค RP-HPLC ที่เลือกรอบการ chromatograph แบบ isocratic โดยใช้เฟสเคลื่อนที่เป็น อะซิโตไนโตรส์และเมทานอล ในอัตราส่วน 19:81 (v/v) ใช้อัตราการไหล ของเฟสเคลื่อนที่เท่ากับ 1.0 mL/min ตรวจด้วยยูวี-วิชิเบิลที่ความยาวคลื่น 475 nm พนวจฯใช้เวลาในการจะเบต้าแครโโรทินออกจากคลอมน์ 25.01 นาที ในการศึกษาเบต้าแครโโรทิน ของผู้จัยทั้ง 2 ท่าน ที่ใช้สารละลายผสมของ เมทานอลและอะซิโตไนโตรส์เป็นเฟสเคลื่อนที่ โดยทราบว่าเมทานอล และอะซิโตไนโตรส์เป็นสารละลายที่มีสภาพขั้วสูงเมื่อผสมสารละลายทั้งสอง เข้าด้วยกันส่งผลให้ความมีขั้วของเฟสเคลื่อนที่เพิ่มขึ้น การใช้เฟสเคลื่อนที่ที่มีสภาพความเป็นขั้ว ที่สูงจะไม่สามารถจะสารที่มีสภาพขั้วต่ำออกจากคลอมน์ได้ เนื่องจากในเทคนิค RP-HPLC ลำดับ การถูกชะจะเกิดขึ้นตามลำดับสภาพขั้วของสารที่วิเคราะห์ ดังนั้นเฟสเคลื่อนที่ที่มีสภาพขั้วที่สูงมาก จะไม่สามารถจะเบต้าแครโโรทินออกจากคลอมน์ได้อย่างรวดเร็ว เนื่องจากเบต้าแครโโรทินถูกหน่วงอยู่กับเฟสคงที่ ทำให้ใช้เวลานานในการเคลื่อนที่ออกจากคลอมน์

Lin และ Chen (2003) ทำการศึกษาองค์ประกอบของแครโโรทินอยู่ตัวในน้ำมะเขือเทศ ด้วยเทคนิค RP-HPLC ที่เลือกรอบการ chromatograph แบบ gradient คอลัมน์ที่ใช้สำหรับแยกสารเป็น C-30 ใช้เฟสเคลื่อนที่เป็นสารละลายผสมของอะซิโตไนโตรส์และบิวทานอลในอัตราส่วน 70:30 (v/v) บรรจุอยู่ในปั๊ม A และใช้มิลลิลิตรดับเบิลรูปในปั๊ม B เริ่มแรกใช้เฟสเคลื่อนที่ในปั๊ม A 99% และปั๊ม B 1% แล้วค่อยๆ เพิ่มเฟสเคลื่อนที่ในปั๊ม B เป็น 4% เมื่อเวลาผ่านไป 20 นาที เพิ่มเฟสเคลื่อนที่ในปั๊ม B เป็น 10% จนครบเวลา 50 นาที หลังจากนั้นเปลี่ยนกลับมาเป็น 1% ของเฟสเคลื่อนที่ในปั๊ม B เมื่อถึงเวลาที่ 55 นาที โดยกำหนดให้อัตราการไหลของ เฟสเคลื่อนที่เท่ากับ 2 mL/min ทำการตรวจด้วยยูวี-วิชิเบิลที่ความยาวคลื่น 476 nm พนวจฯเบต้าแครโโรทินถูกชะออกจากการคลอมน์ใช้เวลาในการถูกชะ ดังนี้ ได-ซิส-เบต้าแครโโรทินถูกชะออก จากการคลอมน์ที่เวลา 6.84 นาที 15-ซิส-เบต้าแครโโรทิน ชะที่เวลา 7.45 นาที 9-ซิส-เบต้าแครโโรทิน ถูกชะ ที่เวลา 8.21 นาที ทรานส์-เบต้าแครโโรทินถูกชะที่เวลา 10.39 นาที ซิส-เบต้าแครโโรทินถูกชะที่ เวลา 11.30 นาที และ 13-ซิส-เบต้าแครโโรทิน ถูกชะที่เวลา 12.31 นาที ในการทดลองนี้ใช้ระบบ

การใช้สารแบบ gradient ในการแยกองค์ประกอบของแครอทินอยด์ที่ประกอบไปด้วยสารหลายชนิด ซึ่งมีสภาพข้าวไกล์เคียงกัน ดังนั้นการใช้ระบบการ chromatography gradient จะทำให้เฟสเคลื่อนที่มีอัตราส่วนของความเข้มข้นเปลี่ยนแปลงส่งผลให้มีค่าสภาพข้าวที่เปลี่ยนแปลงไปด้วย จึงทำให้สามารถแยกสารเหล่านี้ออกจากกันได้ ในการทดลองนี้จึงสามารถการแยกเบต้าแครอทินด้วยเทคนิค HPLC ที่เลือกใช้ระบบการ chromatography gradient ได้ประสบความสำเร็จ

Gimeno *et al.* (2000) ได้ศึกษาเบต้าแครอทินในน้ำมันมะกอกโดยใช้เทคนิค RP-HPLC ใช้คอลัมน์ ODS-2 ควบคุมอุณหภูมิ 45 °C สำหรับการแยก ใช้เฟสเคลื่อนที่เป็นเมทานอลซึ่งบรรจุในปั๊ม A น้ำมันริสุทธิ์บรรจุในปั๊ม B และน้ำมันออบรรจุอยู่ในปั๊ม C ใน 3 นาทีแรก กำหนดให้เฟสเคลื่อนที่ในปั๊ม A:B:C เคลื่อนที่เข้าสู่คอลัมน์ในอัตราส่วน 92:3:5 (v/v) ต่อมาอีก 1 นาที เป็นการเปลี่ยนเฟสเคลื่อนที่ปั๊ม A:C ให้เคลื่อนที่เข้าสู่คอลัมน์ในอัตราส่วน 92:8 (v/v) นาน 5 นาที จากนั้นจึงเปลี่ยนกลับมาใช้เฟสเคลื่อนที่ปั๊ม A:B:C ในอัตราส่วน 92:3:5 (v/v) จนตลอดการแยกสาร โดยกำหนดให้อัตราการไหลของเฟสเคลื่อนที่เท่ากับ 2 mL/min ทำการตรวจวัดด้วยโพโตไดโอดออาร์เรย์ที่ความยาวคลื่น 450 nm พบร่วมสามารถเบต้าแครอทินออกจากคอลัมน์ใช้เวลา 8.02 นาที ต่อมา Gimeno *et al.* (2001) ได้ศึกษาเบต้าแครอทินโดยศึกษาในด้วยวิถีทางของพลาสมามนุษย์ได้ทำการศึกษาด้วยวิธีดังกล่าว พบร่วมใช้เวลาในการ chromatography เบต้าแครอทินประมาณ 8 นาที เช่นกัน จากการศึกษาในครั้งนี้ Gimeno ให้เหตุผลว่าการเลือกใช้เมทานอล และอะซิโตในไตรอลเป็นเฟสเคลื่อนที่ เนื่องจากได้รับคำแนะนำจากการวิจัยอื่น ๆ หลายฉบับ และจากการศึกษาสภาพขั้วของเมทานอลและอะซิโตในไตรอลทราบว่าสารทั้ง 2 ชนิด เป็นสารที่มีสภาพขั้วสูงทำให้มีความเหมาะสมที่จะนำมาใช้เป็นเฟสเคลื่อนที่ในเทคนิค RP-HPLC

Barba *et al.* (2006) ใช้เทคนิค RP-HPLC โดยมีการประยุกต์ใช้ด้วยตรวจชนิดยูวี-วิชิเบิลในการศึกษาไลโคปีนและเบต้าแครอทินในผัก ใช้ RP-column C-18 ในการแยกใช้อะซิโตในไตรอลและเมทานอลเป็นเฟสเคลื่อนที่ในอัตราส่วน 10:90 (v/v) พร้อมทั้งเติม triethylamine (TEA) 9 ไมโครโมลาร์ (μM) ใช้อัตราการไหลของเฟสเคลื่อนที่เท่ากับ 0.9 mL/min และตรวจวัดสารที่ความยาวคลื่น 475 nm พบร่วมไลโคปีนถูกชะออกจากคอลัมน์ที่เวลา 5.18 นาที และเบต้าแครอทิน 6.03 นาที นั่นแสดงว่าไลโคปีนมีสภาพความเป็นขั้วมากกว่าเบต้าแครอทิน ทำให้มีการทำการแยกโดยใช้คอลัมน์ที่เป็นบอนด์เฟสชนิดเฟสแบบผันกลับ ซึ่งภายในคอลัมน์จะมีเฟสคงที่หรือหมุน R เป็นสารประกอบที่มีสภาพขั้วต่ำ เบต้าแครอทินจึงถูกดึงไว้กับเฟสคงที่นานกว่าในขณะเดียวกัน ไลโคปีนก็ถูกชะออกมากับเฟสเคลื่อนที่ ทำให้สารสองตัวนี้แยกออกจากกันอย่างชัดเจน

Andrés *et al.* (2014) ศึกษาเบต้าแครอทินที่มีในนมถั่วเหลืองด้วยเทคนิค HPLC ที่มีเครื่องตรวจวัดชนิดไดโอดออาร์เรย์เป็นส่วนสำคัญในการศึกษา ใช้คอลัมน์ RP C-18 ในการแยกใช้เฟสเคลื่อนที่เป็นสารละลายผสมระหว่าง น้ำ THF และเมทานอล ในอัตราส่วน 6:27:67 (v/v) ใช้อัตราการไหลของเฟสเคลื่อนที่เท่ากับ 0.8 mL/min และตรวจวัดสารที่ความยาวคลื่น 470 nm

พบว่าใช้เวลาสำหรับชะเบต้าแครอทิน ออกจาก colum นานกว่า 40 นาที ใน การทดลองนี้ใช้อัตราการไหลของเฟสเคลื่อนที่เท่ากับ 0.8 mL/min ซึ่งมีความแรงในการชำระสารต่ำทำให้สารใช้เวลานานในการเคลื่อนที่ออกจาก colum นี้

Pupin et al. (1999) ศึกษาองค์ประกอบของแครอทินอยด์ในน้ำส้มด้วยเทคนิค RP-HPLC โดยนำตัวอย่างของน้ำส้มปริมาตร 5 mL ไปทำการสกัดด้วย เอทิลอะซิเตทที่เติม BHT 0.004% ครั้งละ 50 mL ช้ำ 3 ครั้ง จากนั้นนำสารสกัดที่ได้ไปวิเคราะห์ด้วยเครื่อง HPLC โดยนิดสารสกัดของน้ำส้มเข้าเครื่อง HPLC ปริมาตร $100 \mu\text{L}$ ทำการแยกด้วย colum C-18 Vydac 201TP54 โดยมีสารละลายผสมของ $1,2 \text{ ไดคลอโรเอтен เมทานอล และอะซิโตไนโตรล }$ ผสมกันในอัตราส่วน $5:35:60 \text{ (v/v)}$ ซึ่งในเมทานอลได้เติม $0.1\% \text{ BHT } 0.1\% \text{ TEA}$ และ 0.05 โมลาร์ (M) ของสารละลายแอมโนเนียมอะซิเตท ใช้สารละลายผสมนี้เป็นเฟสเคลื่อนที่และกำหนดอัตราการไหลของเฟสเคลื่อนที่เท่ากับ 1 mL/min จากนั้นทำการวัดสารที่ความยาวคลื่น 450 nm ด้วยเครื่องตรวจจับยูวี-วิชีเบิล พบว่าในน้ำส้มมีแครอทินอยด์ $5 \text{ ชนิด} \text{ ด้วยกัน }$ ได้แก่ ลูทิน ซีแซนทิน เบต้าคริปโตแซนทิน แอลฟ้าแครอทิน และเบต้าแครอทิน ซึ่งแครอทินอยด์ทั้ง 5 ชนิด ถูกชะออกจากการ colum นี้ใช้เวลาต่างกัน โดยแอลฟ้าและเบต้าแครอทินถูกชะออกจากการ colum นี้เป็นลำดับสุดท้ายใช้เวลา 15.00 และ $16.98 \text{ นาที ตามลำดับ}$

จากข้อมูลทั้งหมดที่มีการรายงานเกี่ยวกับการศึกษาเบต้าแครอทินที่ใช้เทคนิค RP-HPLC โดยมีปัจจัยต่าง ๆ เช่น อุณหภูมิที่ศึกษา สารละลายที่ใช้เป็นเฟสเคลื่อนที่ ระบบการชำระสารตัวอย่าง และ อัตราการไหลของเฟสเคลื่อนที่ เข้ามาเกี่ยวข้อง ทั้งนี้การแยกจะเกิดขึ้นอย่างมีประสิทธิภาพก็ต้องเลือกปัจจัยเหล่านี้ให้เหมาะสมกับสารตัวอย่างที่ต้องการวิเคราะห์จากข้อมูล การศึกษานี้จึงนำไปสู่การประยุกต์ใช้ในการศึกษาพฤติกรรมการถูกชะของเบต้าแครอทิน โดยใช้ระบบเฟสเคลื่อนที่ที่ประกอบด้วยตัวทำละลาย 2 ชนิด ที่มีสภาพขั้วที่แตกต่างกัน และมีสัดส่วนของตัวทำละลาย 2 ชนิด คงที่ตลอดการชำระสารในวิเคราะห์หาปริมาณเบต้าแครอทินในตัวอย่าง ผัก 7 ชนิด ได้แก่ แครอท พักรถ มะเขือเทศ บรอกโคลี คะน้า ผักโภค และสาหร่ายผ่าน

บทที่ 3

วิธีการดำเนินวิจัย

1. เครื่องมือและอุปกรณ์

1.1 เครื่องมือ

(1) เครื่องโครมาโทกราฟของเหลวสมรรถนะสูง (High Performace Liquid Chromatography; HPLC) ยี่ห้อ Shimadzu รุ่น LC-10A^{vp} และควบคุมการทำงานด้วยซอฟแวร์ CLASS-VP เวอร์ชัน 5.5 มีส่วนประกอบสำคัญได้แก่ ปั๊ม LC-10AD *vp* Liquid Chromatography, เครื่องตรวจวัด SPD-M10A *vp* Diode Array และตู้เก็บคอลัมน์ CTO-10A *vp*

(2) เครื่องยูวี-วิสิเบิลสเปกโกรโฟโตเมตเตอร์ (UV-Vis spectrophotometer) ยี่ห้อ Shimadzu รุ่น UV 1601

(3) ชุดเครื่องกรองสุญญากาศ (filtered vacuum)

(4) เครื่องคลื่นเสียงความถี่สูง (ultrasonic)

(5) เครื่องหมุนเหวี่ยง (centrifuge)

(6) อ่างควบคุมอุณหภูมิ (water bath)

(7) เครื่องซั่งละเอียด 4 ตำแหน่ง

1.2 อุปกรณ์

(1) คอลัมน์สำหรับการแยก Phenomenex C18 (2) (5 μm Luna, 100A) ขนาด 250×4.6 mm การ์ดคอลัมน์ (C18) ขนาด 4×3.0 mm

(2) เข็มฉีด (syring) ขนาด 50 ไมโครลิตร (μL)

(3) ชุดกรองด้าวย่าง ประกอบด้วย เข็มฉีด และเยื่อกรองชนิด Nylon ขนาด 0.45 μm

(4) ขวดบรรจุเพลสเคลื่อนที่ ขนาด 1 ลิตร (L)

(5) เยื่อกรองชนิด Sartolon Polyamid ขนาด 0.45 μm

(6) กระดาษกรอง Whatman เบอร์ 1

(7) ไมโครปีเปต ขนาด 200 และ 1000 μL

- (8) บีเปต ขนาด 1, 5, 10 และ 20 mL
- (9) กรวยแยก ขนาด 250 mL
- (10) บีกเกอร์ ขนาด 50, 100 และ 250 mL
- (11) ขวดวัดปริมาตร ขนาด 10, 25, 50 และ 100 mL
- (12) กระบอกตวง ขนาด 5, 10, 100 และ 1000 mL
- (13) หลอดทดลอง
- (14) กรวยกรอง
- (15) แท่งแก้วคนสาร
- (16) กระดาษฟอยด์
- (17) พาราฟิล์ม

2. สารเคมี การเตรียมสารละลาย และการกรองและการไล่แก๊สในเพสเคลื่อนที่

2.1 สารเคมี

ในการศึกษาได้ใช้สารเคมีที่แสดงดังตารางที่ 3.1

ตารางที่ 3.1 สารเคมีที่ใช้ในการศึกษา

ลำดับ	ชื่อสารเคมี	สูตรโมเลกุล	ยี่ห้อ	เกรด	ความบริสุทธิ์
1	β -carotene	$C_{40}H_{56}$	Sigma-Aldrich	R&D	$\geq 97.0\%$
2	Methanol	CH_3OH	Lab – Scan	HPLC	99.9%
3	n-propanol	$CH_3 CH_2 CH_2OH$	Lab – Scan	HPLC	99.9%
4	iso-propanol	$(CH_3)_2CHOH$	Lab – Scan	HPLC	99.9%
5	Acetone	CH_3COCH_3	Lab – Scan	A.R.	99.5%
6	Acetonitrile	CH_3CN	Lab – Scan	HPLC	99.9%
7	Hexane	$CH_3(CH_2)_4CH_3$	Lab – Scan	HPLC	99.5%

หมายเหตุ R&D (Research & Development) = เกรดงานวิจัยและพัฒนา

A.R. (Analytical reagent grade) = เกรดงานวิเคราะห์

HPLC (High Performance Liquid Chromatography) = เกรด HPLC

2.2 การเตรียมสารละลายน

(1) สารละลายนสต็อกเบต้าแครโธกีนเข้มข้น 400 mg/L

โดยชั้งเบต้าแครโธกีน 10 mg ใส่ลงในบีกเกอร์ ละลายด้วยเอகเซ่น ใส่ขวดวัดปริมาตรแล้วปรับปริมาตร 25 mL ผสมให้เข้ากัน บรรจุลงในขวดสีชา และเก็บที่อุณหภูมิ 4 °C สารละลายนสต็อกเบต้าแครโธกีนสามารถเก็บได้นาน 1 เดือน

(2) สารละลามาตรฐานสำหรับการใช้งานเบต้าแครโธกีน (working standard solution) เข้มข้น 10 mg/L

โดยปีเปตสารละลายนสต็อกเบต้าแครโธกีนเข้มข้น 400 mg/L ปริมาตร 250 μL ใส่ขวดวัดปริมาตร ปรับปริมาตรจนครบ 10 mL ด้วยเอกเซ่น ผสมให้เข้ากัน

(3) สารละลายนอะซิโนน 90% (v/v)

โดยตวงสารละลายนอะซิโนน ปริมาตร 90 mL ใส่ในขวดวัดปริมาตร ปรับปริมาตรจนครบ 100 mL ด้วยน้ำปราศจากไอออน (De-ionized water; DI) ผสมให้เข้ากัน

2.3 การกรองและการไล่แก๊สในเฟสเคลื่อนที่เพื่อเตรียมการวิเคราะห์ด้วยเครื่อง HPLC ในระบบ Isocratic

(1) กรองด้วยทำละลายที่ใช้เป็นเฟสเคลื่อนที่ผ่านเย้อกรองชนิด Sartolon Polyamid ขนาด 0.45 μm ลงในขวดบรรจุเฟสเคลื่อนที่ขนาด 1 ลิตร เพื่อกำจัด ฝุ่น ห้องน้ำภาคแขวนลอยออกให้หมด

(2) ไล่แก๊สออกชิเจน ในต่อเจน หรือการบอนไดออกไซด์ ที่อาจละลายอยู่ในตัวทำละลายออกด้วยเครื่องคลีนเสียงความถี่สูงเป็นเวลา 15 นาที

(3) นำสารละลายนของเฟสเคลื่อนที่บรรจุลงในขวดบรรจุเฟสเคลื่อนที่แล้วต่อเข้าเครื่อง HPLC ทำการไล่พองอากาศ (purge) ในระบบ

(4) เปิดโปรแกรมที่ใช้วิเคราะห์ (run method)

(5) ยุ่นเครื่อง 20-30 นาที หรือจนกว่าเส้นฐานเรียบ

(6) ฉีดสารตัวอย่างที่ต้องการวิเคราะห์เข้าสู่เครื่อง HPLC ให้เต็มลูฟ (ปริมาตร 20 μL)

3. วิธีการทดลอง

3.1 การศึกษาสภาวะที่เหมาะสมของเครื่อง HPLC

ศึกษาสภาวะต่างๆ ได้แก่ ความยาวคลื่นสูงสุด (λ_{max}) ในการดูดกลืนแสงยูวี-วิสิเบิลของเบต้าแครอทีน อุณหภูมิที่เหมาะสมในการชี้เบต้าแครอทีน และอัตราการไหลของเฟสเคลื่อนที่ที่เหมาะสม รายละเอียดมีดังนี้

3.1.1 การศึกษาความยาวคลื่นสูงสุดในการดูดกลืนแสงยูวี-วิสิเบิลของเบต้าแครอทีน

(1) วัดค่าการดูดกลืนแสงยูวี-วิสิเบิลของสารละลายน้ำมารูรานเบต้าแครอทีน เข้มข้น 10 mg/L ด้วยเครื่องยูวี-วิสิเบิลสเปกโตรโฟโตมิเตอร์ที่ความยาวคลื่นตั้งแต่ความยาวคลื่น 375 ถึง 500 nm โดยใช้เซนเป็นแบล็ค (blank)

- (2) บันทึกค่าการดูดกลืนแสงของเบต้าแครอทีนทุกค่าความยาวคลื่นที่ศึกษา
- (3) เขียนกราฟแสดงความสัมพันธ์ระหว่างค่าการดูดกลืนแสง (absorbance) และความยาวคลื่น (wave length)

3.1.2 การศึกษาอุณหภูมิที่เหมาะสมในการชี้เบต้าแครอทีน

โดยทำการศึกษาที่อุณหภูมิ 2 ค่า ได้แก่ 25 และ 35 °C ที่ใช้เฟสเคลื่อนที่เป็นตัวทำละลายผสมระหว่าง iso-propanol:ACN อัตราส่วน 25:75 (v/v) มีขั้นตอนดังนี้

- (1) ปรับอุณหภูมิของคอลัมน์ที่ 25 °C
- (2) ตั้งอัตราการไหลของเฟสเคลื่อนที่เท่ากับ 1.5 mL/min
- (3) ฉีดสารละลายน้ำมารูรานเบต้าแครอทีนเข้มข้น 10 mg/L เข้าสู่เครื่อง HPLC ให้เต็มถุง
- (4) บันทึกค่า t_r
- (5) เปลี่ยนอุณหภูมิของคอลัมน์เป็น 35 °C แล้วทำการตามขั้นตอนที่ 3.1.2(2)-3.1.2(4)

3.1.3 การศึกษาอัตราการไหลของเฟสเคลื่อนที่ที่เหมาะสม

โดยศึกษาอัตราการไหลของเฟสเคลื่อนที่ 3 ค่า ได้แก่ 1.0, 1.5 และ 2.0 mL/min ที่อุณหภูมิ 35 °C และใช้เฟสเคลื่อนที่ที่เป็นตัวทำละลายผสมระหว่าง iso-propanol:ACN อัตราส่วน 25:75 (v/v) มีขั้นตอนดังนี้

- (1) ตั้งอัตราการไหลของเฟสเคลื่อนที่เท่ากับ 1.0 mL/min
- (2) ฉีดสารละลายน้ำมารูรานเบต้าแครอทีนเข้มข้น 10 mg/L เข้าสู่เครื่อง HPLC ให้เต็มถุง
- (3) บันทึกค่า t_r และค่าความดันของเครื่อง HPLC

(4) เปลี่ยนอัตราการไหลของเฟสเคลื่อนที่เป็น 1.5 และ 2.0 mL/min ตามลำดับ แล้วทำการขันต่อนที่ 3.1.3(2)-3.1.3(3)

3.2 การศึกษาชนิดของเฟสเคลื่อนที่ที่ประกอบด้วยตัวทำละลาย 2 ชนิดที่มีผลต่อการչะเบต้าแครอทีน

โดยทำการศึกษานิดของเฟสเคลื่อนที่ที่ประกอบด้วยตัวทำละลายผสม 2 ชนิด (binary mobile phase) จำนวน 4 คู่ ได้แก่ iso-propanol:MeOH, n-propanol:MeOH, iso-propanol:ACN และ n-propanol:ACN รายละเอียดมีดังนี้

3.2.1 การศึกษาผลของเฟสเคลื่อนที่ของตัวทำละลายผสมระหว่าง iso-propanol: MeOH ต่อการชีบ霓เต้าแครอทิน

- (1) ปรับอุณหภูมิของคอลัมน์ที่ 35°C

(2) ดึงอัตราการไหลของเฟสเคลื่อนที่ 1.5 mL/min ที่เป็นดั้งดำละลายน้ำระหว่าง iso-propanol:MeOH อัตราส่วน $5:95$ (v/v)

(3) ฉีดสารละลายน้ำต้นแบบ troponin เข้มข้น 10 mg/L เข้าสู่เครื่อง HPLC ให้เต็มถุง

(4) บันทึกค่า t_1 และ t_0 และคำนวณค่า k โดยใช้สมการที่ 3.1 (ราชชัย ศรีวิบูลย์, 2551)

เมื่อ k = เวลาที่สารถูกหน่วงอยู่กับเฟสคงที่เทียบกับเวลาที่สารถูกชะออกมากับเฟสเคลื่อนที่ (retention factor)

t_r = เวลาที่ใช้ในการกำจัดได้วา-glaslyคลื่อนที่ได้เท่ากับ 1 คอลัมน์ (retention time)

t_h = เวลาที่ไม่เกิดข้องคั่วพาเดินทางได้ 1 คอลัมน์ (dead time or hold-up time)

3.2.2 การศึกษาผลของเฟสเคลื่อนที่ของตัวทำละลายผสมระหว่าง *n*-propanol: MeOH ต่อการชะเนต้าแครอทิน

- (1) ปรับอุณหภูมิของเครื่องตรวจวัดที่ 35°C

(2) ตั้งอัตราการไหลของเฟสเคลื่อนที่ 1.5 mL/min ที่เป็นดั่งทำละลายผสมระหว่าง *n*-propanol:MeOH อัตราส่วน $5:95 \text{ (v/v)}$

(3) ฉีดสารละลายมาตรฐานเบต้าแคโรทีนเข้มข้น 10 mg/L เข้าสู่เครื่อง HPLC ให้เต็มลูป

(4) บันทึกค่า t_b และ k_0 และคำนวนค่า k จากสมการที่ 3.1

3.2.3 การศึกษาผลของเฟสเคลื่อนที่ของตัวทำละลายผสมระหว่าง iso-propanol: ACN ต่อการจะเบนเต้าแครโตรีน

- (1) ปรับอุณหภูมิของคอลัมน์ที่ 35°C
- (2) ตั้งอัตราการไหลของเฟสเคลื่อนที่ 1.5 mL/min ที่เป็นตัวทำละลายผสมระหว่าง iso-propanol:ACN อัตราส่วน $5:95 \text{ (v/v)}$
- (3) ฉีดสารละลายน้ำมาระฐานเบนเต้าแครโตรีนเข้มข้น 10 mg/L เข้าสู่เครื่อง HPLC ให้เต็มถุง
- (4) บันทึกค่า t_r และ t_0 และคำนวนค่า k จากสมการที่ 3.1

3.2.4 การศึกษาผลของเฟสเคลื่อนที่ของตัวทำละลายผสมระหว่าง n-propanol: ACN ต่อการจะเบนเต้าแครโตรีน

- (1) ปรับอุณหภูมิของคอลัมน์ที่ 35°C
- (2) ตั้งอัตราการไหลของเฟสเคลื่อนที่ 1.5 mL/min ที่เป็นตัวทำละลายผสมระหว่าง n-propanol:ACN อัตราส่วน $5:95 \text{ (v/v)}$
- (3) ฉีดสารละลายน้ำมาระฐานเบนเต้าแครโตรีนเข้มข้น 10 mg/L เข้าสู่เครื่อง HPLC ให้เต็มถุง
- (4) บันทึกค่า t_r และ t_0 และคำนวนค่า k จากสมการที่ 3.1

3.3 การศึกษาพฤติกรรมการถูกชaze ของเบนเต้าแครโตรีน

โดยทำการศึกษาเมื่อใช้เฟสเคลื่อนที่ที่ประกอบด้วยตัวทำละลายผสม 2 ชนิด จำนวน 2 คู่ ได้แก่ iso-propanol:MeOH และ iso-propanol:ACN ที่อุณหภูมิ 25 และ 35°C รายละเอียดมีดังนี้

3.3.1 การศึกษาพฤติกรรมการถูกชaze ของเบนเต้าแครโตรีนเมื่อใช้เฟสเคลื่อนที่ที่เป็นตัวทำละลายผสมระหว่าง iso-propanol:MeOH

- (1) ปรับอุณหภูมิของคอลัมน์ที่ 25°C
- (2) ตั้งอัตราการไหลของเฟสเคลื่อนที่ 1.5 mL/min เมื่อใช้เฟสเคลื่อนที่ที่มีสัดส่วนของ iso-propanol:MeOH ต่อไปนี้ $0:100 \text{ (v/v)}$, $5:95 \text{ (v/v)}$, $10:90 \text{ (v/v)}$, $15:85 \text{ (v/v)}$, $20:80 \text{ (v/v)}$ และ $25:75 \text{ (v/v)}$ ซึ่งทำให้มีค่า ψ ของ iso-propanol ใน MeOH หรือ ACN เท่ากับ 0 , 0.05 , 0.10 , 0.15 , 0.20 และ 0.25% ตามลำดับ เมื่อคำนวนค่า ψ ได้จากการที่ 3.2 (Barba et al., 2006)

$$\psi = \text{ความเข้มข้นของ iso-propanol ในตัวทำละลาย MeOH หรือ ACN (v/v)} \times 10^{-2} \quad \dots 3.2$$

(3) ฉีดสารละลายน้ำตัวแคร็โตรีนเข้มข้น 10 mg/L เข้าสู่เครื่อง HPLC ให้เต็มถูพ

- (4) บันทึกค่า t_u และ t_0 แล้วคำนวณค่า k จากสมการที่ 3.1
- (5) เปลี่ยนอุณหภูมิของคอลัมน์เป็น 35 °C แล้วทำการขั้นตอนที่ 3.3.1(2)- 3.3.1(4)
- (6) เขียนกราฟแสดงความสัมพันธ์ระหว่างค่า k กับ μ , $1/k$ กับ μ และ $\log k$

กับ μ

3.3.2 การศึกษาพฤติกรรมการถูกชazeของเบต้าแคร็โตรีนเมื่อใช้เฟสเคลื่อนที่ที่เป็นตัวทำละลายผสมระหว่าง iso-propanol:ACN

- (1) ปรับอุณหภูมิของคอลัมน์ที่ 25 °C
- (2) ตั้งอัตราการไหลของเฟสเคลื่อนที่ 1.5 mL/min เมื่อใช้เฟสเคลื่อนที่ที่มีสัดส่วนของ iso-propanol:ACN ต่อไปนี้ 0:100 (v/v), 5:95 (v/v), 10:90 (v/v), 15:85 (v/v), 20:80 (v/v), 25:75 (v/v) ซึ่งทำให้มีค่า μ เท่ากับ 0, 0.05, 0.10, 0.15, 0.20, 0.25% ตามลำดับ เมื่อคำนวณค่า μ ได้จากสมการที่ 3.2

(3) ฉีดสารละลายน้ำตัวแคร็โตรีนเข้มข้น 10 mg/L เข้าสู่เครื่อง HPLC ให้เต็มถูพ

- (4) บันทึกค่า t_u และ t_0 แล้วคำนวณค่า k จากสมการที่ 3.1
- (5) เปลี่ยนอุณหภูมิของคอลัมน์เป็น 35 °C แล้วทำการขั้นตอนที่ 3.3.2(2)- 3.3.2(4)

(6) เขียนกราฟแสดงความสัมพันธ์ระหว่างค่า k กับ μ , $1/k$ กับ μ และ $\log k$ กับ μ

3.4 การทดสอบความถูกต้องของวิธีการวิเคราะห์

การทดสอบความถูกต้องของวิธีการวิเคราะห์ในงานวิจัยครั้งนี้ได้ศึกษา ช่วงความเป็นเส้นตรง (linearity range) ความแม่น (accuracy) ความเที่ยง (precision) ขีดจำกัดต่ำสุดของการตรวจวัด (limit of detection; LOD) และปริมาณต่ำสุดที่ตรวจหาปริมาณได้ (limit of quantification; LOQ) รายละเอียดมีดังนี้

3.4.1 การทดสอบช่วงความเป็นเส้นตรง

การทดสอบช่วงความเป็นเส้นตรง ทำได้โดยศึกษาจากการใช้สารละลายน้ำตัวแคร็โตรีนที่ความเข้มข้นต่าง ๆ เพื่อสร้างกราฟมาตรฐาน (calibration curve) รายละเอียดมีดังนี้

- (1) การเตรียมสารละลายน้ำตัวแคร็โตรีนที่มีความเข้มข้น 5, 10, 20 และ 80 mg/L โดยปีเปดสารละลายน้ำตัวแคร็โตรีนเข้มข้น 400 mg/L ปริมาตร 125, 250, 500 และ

2000 μL ลงในขวดวัดปริมาตรขนาด 10 mL และปรับปริมาตรด้วยเขกเซนจนพอดีขึ้ด เขย่าขวดให้เข้ากัน

- (2) ปรับอุณหภูมิของคอลัมน์ที่ 35°C
- (3) ตั้งอัตราการไหลของเฟสเคลื่อนที่ 1.5 mL/min ที่เป็นตัวทำละลายผสมระหว่าง iso-propanol:ACN อัตราส่วน $25:75$ (v/v)
- (4) ฉีดสารละลายน้ำตาลเบต้าแครอทีนเข้มข้น 5 mg/L และ $10, 20$ และ 80 mg/L เข้าสู่เครื่อง HPLC ให้เต็มถูฟ ทำซ้ำ 3 ครั้ง
- (5) บันทึกค่าพื้นที่ได้พีค (peak-areas) ของสารละลายน้ำตาลเบต้าแครอทีนทุกค่าความเข้มข้นที่ศึกษา
- (6) เขียนกราฟมาตรฐานแสดงความสัมพันธ์ระหว่างความเข้มข้นของสารละลายน้ำตาลเบต้าแครอทีน (concentration; mg/L) และพื้นที่ได้พีค (peak-area; mAU)
- (7) คำนวณค่าสัมประสิทธิ์สัมพันธ์ (correlation coefficient; r') และเขียนสมการเส้นตรง

3.4.2 การทดสอบความแม่น

การทดสอบความแม่น ทำได้โดยศึกษาจากการหาร้อยละของการได้กลับคืนมารายละเอียดมีดังนี้

- (1) ปีเปดสารละลายน้ำตาลเบต้าแครอทีนเข้มข้น 400 mg/L ปริมาตร $950 \mu\text{L}$ ใส่ขวดวัดปริมาตร ปรับปริมาตรจนครบ 10 mL ด้วยเขกเซน ผสมให้เข้ากัน ทำให้ความเข้มข้นของสารละลายน้ำตาลเบต้าแครอทีนเท่ากับ 38 mg/L และปีเปดสารละลายน้ำตาลเบต้าแครอทีนปริมาตร $20 \mu\text{L}$ ใส่ลงในบีกเกอร์
- (2) เติมสารละลายน้ำตาลเบต้าแครอทีนเข้มข้น 30 mL ลงไปในบีกเกอร์
- (3) เก็บสารละลายน้ำตาลเบต้าแครอทีนที่ปิดด้วยพาราฟิล์มและห่อให้มิดชิดด้วยกระดาษพอยด์ และนำไปเก็บให้พันแสง เป็นเวลา 1 คืน
- (4) นำสารละลายน้ำตาลเบต้าแครอทีนที่เก็บไว้มาตั้งแต่เดือนก่อนนี้ ใส่ในหลอด centrifuge เพื่อบีบี้แยกด้วยเครื่องหมุนเร็วในอัตราความเร็วรอบ 1500 rpm นาน 10 นาที
- (5) นำส่วนของสารละลายน้ำตาลเบต้าแครอทีนที่ได้มาตั้งแต่เดือนก่อนนี้ ใส่ลงในกระดาษกรอง Whatman เบอร์ 1

- (6) นำสารละลายน้ำตาลเบต้าแครอทีนที่ได้มาตั้งแต่เดือนก่อนนี้ ใส่ลงในกระดาษกรอง Whatman เบอร์ 1 แล้วสกัดด้วยเขกเซนปริมาณ 3 mL เป็นเวลา 15 นาที ไขชั้นเขกเซนลงในหลอดทดลอง
- (7) นำสารละลายน้ำตาลเบต้าแครอทีนที่ได้มาตั้งแต่เดือนก่อนนี้ ใส่ลงในกระดาษกรอง Whatman เบอร์ 1 แล้วสกัดด้วยเขกเซนปริมาณ 3 mL เป็นเวลา 15 นาที ไขชั้นเขกเซนลงในหลอดทดลอง
- (8) ฉีดสารละลายน้ำตาลเบต้าแครอทีนที่ได้มาตั้งแต่เดือนก่อนนี้ ให้เต็มถูฟ ทำซ้ำ 3 ครั้ง

(9) บันทึกค่าพื้นที่ได้พิคแล้วคำนวณหาปริมาณเบต้าแครอทีนโดยเทียบกับกราฟมาตรฐาน

(10) คำนวณร้อยละของการได้กลับคืนมา (recovery; %) ดังสมการที่ 3.3
(ขวัชชัย ศรีวิบูลย์, 2551)

$$\text{Recovery (\%)} = \frac{C_m}{C_i} \times 100 \quad \dots\dots\dots 3.3$$

เมื่อ C_m = ความเข้มข้นของสารละลายน้ำมาตรฐานเบต้าแครอทีนที่วัดได้เมื่อเทียบกับกราฟมาตรฐาน (mg/L)

C_i = ความเข้มข้นของสารละลายน้ำมาตรฐานเบต้าแครอทีนที่ทราบค่า (เท่ากับ 38 mg/L)

3.4.3 การทดสอบความเที่ยง

การทดสอบความเที่ยงทำได้โดยศึกษาจากการทำ Intramediate precision รายละเอียดมีดังนี้

(1) ปรับอุณหภูมิของคอลัมน์ที่ 35 °C

(2) ตั้งอัตราการไหลของเฟสเคลื่อนที่ 1.5 mL/min ที่เป็นตัวทำละลายผสมระหว่าง iso-propanol:ACN อัตราส่วน 25:75 (v/v)

(3) ฉีดสารละลายน้ำมาตรฐานเบต้าแครอทีนเข้มข้น 10 mg/L เข้าสู่เครื่อง HPLC ให้เต็มถุง ทำ 10 ตัว

(4) บันทึกค่าพื้นที่ได้พิค แล้วคำนวณเปอร์เซ็นต์เบี่ยงเบนมาตรฐานสัมพัทธ์ (relative standard deviation; %RSD) ดังสมการที่ 3.4 (แม้น อุรัสิกธ์และคณะ, 2553e)

$$\% \text{ RSD} = \frac{\bar{x} \times 100}{\bar{x}} \quad \dots\dots\dots 3.4$$

เมื่อ \bar{x} = ค่าเฉลี่ยเลขคณิต (arithmematic mean) คำนวณได้จากการที่ 3.5

SD = ค่าเบี่ยงเบนมาตรฐาน (standard deviation) คำนวณได้จากการที่ 3.6

543.84

๗๓๑๗

๑๙๓๘ ๒๕๕๗

ສູງຮາກຄໍາເນີລື່ຍເລຸຂມົນຕ

เมื่อ x_i = ข้อมูลตัวที่ i ; $i = 1, 2, \dots, n$
 n = ขนาดตัวอย่าง

ສົດຮາຄ່າເບີຍງເບັນມາຕຽບ

เมื่อ $\bar{X} = \text{ค่าเฉลี่ยเลขคณิต}$

x_i = ข้อมูลตัวที่ i ; $i = 1, 2, \dots, n$

n = ขนาดตัวอย่าง

3.4.4 การหาค่าขีดจำกัดต่ำสุดของการตรวจวัดและปริมาณต่ำสุดที่ตรวจหาปริมาณได้

รายงานผลการดำเนินการ

- (1) ปรับอุณหภูมิของคอลัมน์ที่ 35 °C
 (2) ตั้งอัตราการไหลของเฟสเคลื่อนที่ 1.5 mL/min ที่เป็นตัวทำละลายผสมระหว่าง iso-propanol:ACN อัตราส่วน 25:75 (v/v)
 (3) ฉีดสารละลายมาตรฐานเบต้าแครอทีนเข้มข้น 10 mg/L เข้าสู่เครื่อง HPLC ให้เต็มถูพ ทำ 10 ช้ำ
 (4) บันทึกค่าพื้นที่ไดพีค
 (5) คำนวณหาค่า LOD และ LOQ ดังสมการที่ 3.7 และ 3.8 ตามลำดับ (แม้น
 อาร์สิที และคณะ, 2553f)

LOD = 3SD 3.7

LOQ = 10SD 3.8

3.5 การวิเคราะห์หาปริมาณเบต้าแครอทีนจากตัวอย่างผัก

ทำการเตรียมตัวอย่างผักโดยการสกัดด้วยวิธีของ Foss et al. (1984) และวิเคราะห์หาปริมาณเบต้าแครอทีนโดยเทคนิค HPLC รายละเอียดมีดังนี้

3.5.1 การเตรียมตัวอย่างผัก

งานวิจัยครั้งนี้ได้ศึกษาปริมาณเบต้าแครอทีนในตัวอย่างผัก 7 ชนิด ได้แก่ แครอท พักฟอง มะเขือเทศ บรอกโคลี คะน้า ผักโขม และสาหร่ายผมนาง ตามลำดับ โดยสกัดจากตัวทำละลายที่ใช้วิธีการสกัดแบบแบบทช (batch extraction) รายละเอียดมีดังนี้

(1) ชั้งตัวอย่างผักแต่ละชนิดอย่างละ 5 กรัม แล้วนำมาบดให้ละเอียดโดยใช้โกร่งบดสาร ใส่ลงในบีกเกอร์

(2) เดิมสารละลายน้ำ 90% (v/v) อะซูโคน ปริมาณ 30 mL ลงไปในบีกเกอร์

(3) เก็บสารละลายน้ำจากข้อ 3.5.1(2) ในบีกเกอร์ที่ปิดด้วยด้วยพาราฟิล์มและห่อให้มิดชิดด้วยกระดาษฟอยด์ แล้วนำไปเก็บให้พันแห้ง เป็นเวลา 1 คืน

(4) นำสารละลายน้ำจากข้อ 3.5.1(3) ใส่ในหลอด centrifuge เพื่อปั่นแยกด้วยเครื่องหมุนเร็วในอัตราความเร็วรอบ 1500 rpm นาน 10 นาที

(5) นำส่วนของสารละลายน้ำที่ใส (อยู่ชั้นบน) มากรองด้วยกระดาษกรอง Whatman เบอร์ 1

(6) นำสารละลายน้ำที่กรองได้จากข้อ 3.5.1(5) ปริมาตร 10 mL ใส่ลงในกรวยแยกแล้วสกัดด้วยเอกเซน ปริมาณ 3 mL เป็นเวลา 15 นาที ไขชั้นเอกเซนลงในหลอดทดลอง

(7) นำสารละลายน้ำจากข้อ 3.5.1(6) ไปรีเพย์ให้แห้งบนอ่างควบคุมอุณหภูมิแล้วเดิมเอกเซนลงไป 1 mL และกรองสารละลายน้ำอย่างผ่านชุดกรองตัวอย่าง

(8) นำสารละลายน้ำอย่างไปวิเคราะห์โดยเทคนิค HPLC

3.5.2 การวิเคราะห์หาปริมาณเบต้าแครอทีนโดยเทคนิค HPLC

รายละเอียดมีดังนี้

(1) ปรับอุณหภูมิของคอมพิวเตอร์ที่ 35 °C

(2) ตั้งอัตราการไหลของเฟสเคลื่อนที่ 1.5 mL/min ที่เป็นตัวทำละลายผสมระหว่าง iso-propanol:ACN อัตราส่วน 25:75 (v/v)

(3) ฉีดสารละลายน้ำอย่างเข้าสู่เครื่อง HPLC ให้เต็มถูฟ

(4) บันทึกค่าพื้นที่ได้พีคแล้วคำนวนหาปริมาณเบต้าแครอทีนโดยเทียบกับ

กราฟมาตรฐาน

(5) รายงานผลเป็น g/kg

3.6 การคำนวณ

ใช้โปรแกรมสำเร็จรูป Microsoft Excel เวอร์ชัน 2010 ในการสร้างกราฟมาตรฐาน
กราฟระหว่างค่า k กับ ψ , $1/k$ กับ ψ และ $\log k$ กับ ψ รวมทั้งคำนวณค่าทางสถิติที่ใช้
วิเคราะห์ผล ได้แก่ ค่าสัมประสิทธิ์สัมพันธ์ สมการเส้นตรง ค่าเบี่ยงเบนมาตรฐานสัมพัทธ์
ค่าเฉลี่ยเลขคณิต และค่าเบี่ยงเบนมาตรฐาน ตามลำดับ



บทที่ 4

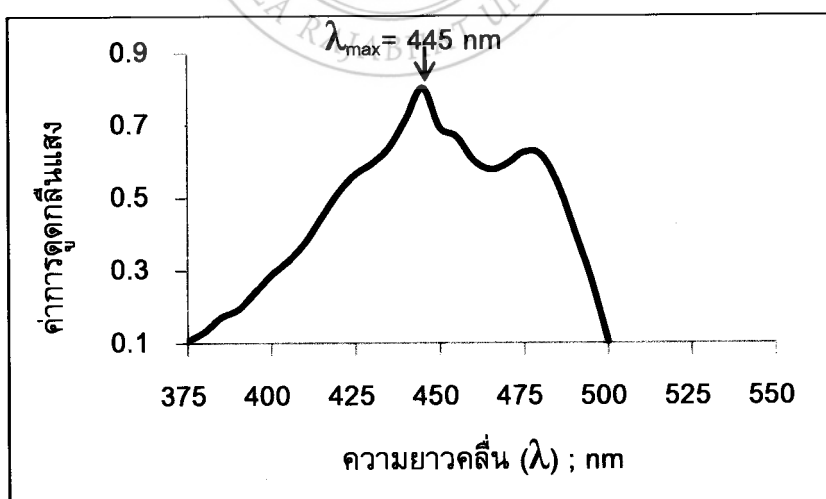
ผลและการอภิปรายผล

1. การศึกษาสภาวะที่เหมาะสมของเครื่อง HPLC

การศึกษาสภาวะที่เหมาะสมของเครื่อง HPLC เพื่อให้เครื่องมือมีประสิทธิภาพสูงสุดในการวิเคราะห์เบต้าแครอทีน โดยได้ศึกษาสภาวะดังต่อไปนี้ ศึกษาความยาวคลื่นสูงสุดในการดูดกลืนแสงยูวี-วิสิเบิลของเบต้าแครอทีน ศึกษาอุณหภูมิที่เหมาะสมในการระเบต้าแครอทีน และศึกษาอัตราการไหลของเฟสเคลื่อนที่ที่เหมาะสม

1.1 การศึกษาความยาวคลื่นสูงสุดในการดูดกลืนแสงยูวี-วิสิเบิล

การศึกษาความยาวคลื่นสูงสุดในการดูดกลืนแสงยูวี-วิสิเบิลของเบต้าแครอทีนด้วยเครื่องยูวี-วิสิเบิลスペกโตรโฟโนมิเตอร์ที่ความยาวคลื่นตั้งแต่ 375 ถึง 500 nm ผลการศึกษาดังแสดงในรูปที่ 4.1 จากรูป พบว่าความยาวคลื่นที่เหมาะสมในการดูดกลืนแสงยูวี-วิสิเบิลของเบต้าแครอทีน เท่ากับ 445 nm ซึ่งเบต้าแครอทีนดูดกลืนแสงสูงสุดเท่ากับ 0.803 ดังนั้น จึงเลือกความยาวคลื่นที่ 445 nm เป็นความยาวคลื่นที่เหมาะสมในการตรวจเบต้าแครอทีน



รูปที่ 4.1 ความสัมพันธ์ระหว่างค่าการดูดกลืนแสงกับความยาวคลื่น

1.2 การศึกษาอุณหภูมิที่เหมาะสมในการชีบเปต้าแคร์โธน

การศึกษาอุณหภูมิที่เหมาะสมในการชีบเปต้าแคร์โธนออกจากคอลัมน์ C-18 โดยทำการศึกษาที่อุณหภูมิ 2 ค่า ได้แก่ 25 และ 35 °C เมื่อใช้ตัวทำละลายผสมระหว่าง iso-propanol:ACN ในอัตราส่วน 25:75 (v/v) เป็นเฟสเคลื่อนที่และใช้อัตราการไหลของ เฟสเคลื่อนที่ เท่ากับ 1.5 mL/min ผลการศึกษาดังแสดงในตารางที่ 4.1

ตารางที่ 4.1 ความสัมพันธ์ระหว่างอุณหภูมิกับค่ารีชันไทม์เฉลี่ย ($t_{r,av}$) (N=2)

อุณหภูมิ (°C)	$t_{r,av} \pm SD$ (min)
25	14.46 ± 0.31
35	13.94 ± 0.05

จากตารางที่ 4.1 จะเห็นได้ว่าเมื่อเพิ่มอุณหภูมิของคอลัมน์จาก 25 เป็น 35 °C พบร่วมกันที่อุณหภูมิ 35 °C เปต้าแคร์โธนถูกชีบออกจากคอลัมน์ C-18 ได้เร็วกว่าอุณหภูมิ 25 °C เนื่องจาก เปต้าแคร์โธนเกิดอันตรกิริยากับ *n*-alkyl ที่เคลื่อนอยู่ที่ผิวของชิลิกาในคอลัมน์ C-18 (Sutcharit et al., 2013) ทำให้เบต้าแคร์โธนกับ *n*-alkyl มีแรงกระทำระหว่างโมเลกุลต่อกันโดยที่โมเลกุลทั้งสองเป็นโมเลกุลที่ไม่มีสภาพข้าว จึงเกิดอันตรกิริยากันได้ตามหลักการ like dissolves like นั่นคือ สารที่มีขั้วละลายได้ในตัวทำละลายที่มีขั้วและสารที่ไม่มีขั้วละลายได้ตัวในตัวทำละลายที่ไม่มีขั้ว ทำให้เกิดการเปลี่ยนแปลงพลังงานอิสระภายในระหว่าง เปต้าแคร์โธนกับ *n*-alkyl ในระหว่างการชีบของเปต้าแคร์โธน (migration process) ออกจากคอลัมน์ ทั้งกลไกการถูกชีบของเปต้าแคร์โธนและการเกิดอันตรกิริยาระหว่างเปต้าแคร์โธนกับ *n*-alkyl ทำให้พลังงานอิสระภายในเปลี่ยนแปลงมีความสัมพันธ์กันและสามารถอธิบายได้ดังสมการที่ 4.1 (Purcell et al., 1999)

$$\text{Log } k = - \Delta G_{\text{assoc}}^{\circ} / RT + \log \Phi \quad \dots\dots\dots 4.1$$

- เมื่อ $\Delta G_{\text{assoc}}^{\circ}$ = พลังงานอิสระของกิฟฟ์ (Gibbs free energy) ของเปต้าแคร์โธนกับ *n*-alkyl
 R = ค่าคงที่ของแก๊สสามาก เท่ากับ $8.21 \times 10^{-2} \text{ L} \cdot \text{atm} \cdot \text{K}^{-1} \cdot \text{mol}^{-1}$; atm = 101,325 Pa
 T = อุณหภูมิสมบูรณ์ (K)
 Φ = อัตราส่วนเฟส

จากสมการที่ 4.1 จะเห็นได้ว่าอุณหภูมิมีผลต่อเวลาในการจะเบ็ดเด้าแครอฟท์น นั่นคือที่ อุณหภูมิสูงจะใช้เวลาในการจะเบ็ดเด้าแครอฟท์น้อย ดังนั้น จึงใช้อุณหภูมิ 35°C สำหรับการจะเบ็ดเด้าแครอฟท์น เพื่อให้สามารถวิเคราะห์ปริมาณเบ็ดเด้าแครอฟท์นโดยใช้เวลาอยู่ที่สุด

1.3 การศึกษาอัตราการไหลของเฟสเคลื่อนที่ที่เหมาะสม

การศึกษาอัตราการไหลของเฟสเคลื่อนที่ที่เหมาะสมในการชะเบต้าแคโรทินออกจากคอลัมน์ C-18 โดยศึกษาอัตราการไหลของเฟสเคลื่อนที่ 3 ค่า ได้แก่ 1.0, 1.5 และ 2.0 mL/min ที่อุณหภูมิ 35 °C และใช้เฟสเคลื่อนที่ที่เป็นดัวทำละลายผสมระหว่าง iso-propanol:ACN อัตราส่วน 25:75 (v/v) ผลการศึกษาดังแสดงในตารางที่ 4.2

ตารางที่ 4.2 ความสัมพันธ์ระหว่างอัตราการไหลของเฟสเคลื่อนที่กับค่ารีชันไทม์เฉลี่ย และความดันเฉลี่ยของเครื่อง HPLC (N=2)

อัตราไฟลของเฟสเคลื่อนที่ (mL/min)	$t_{r,av} \pm SD$ (min)	ความดันเนลลี่ (psi)
1.0	22.93 \pm 0.03	995
1.5	13.94 \pm 0.05	1210
2.0	8.55 \pm 0.04	2750

จากการที่ 4.2 เห็นได้ว่าเมื่อเพิ่มอัตราการไหลของเฟสเคลื่อนที่ในการระเบิดแก๊สโกร์ก็มีผลทำให้เบ้าแก๊สโกร์ที่นูกะยะออกจากคลัมป์ C-18 “ไดเร็กชัน” (สวัสดิ์ ศรีวิบูลย์, 2551) ตามความสัมพันธ์ที่แสดงด้วยสมการที่ 4.2

เมื่อ V_R = Retention volume หรือ ปริมาตรของเฟสเคลื่อนที่ที่ใช้ในการทำให้สารเคลื่อนที่ผ่านคอลัมน์

F = Flow rate หรือ อัตราการไหลของเพสเคลื่อนที่

จากสมการที่ 4.2 จะเห็นได้ว่าค่า t_f แปรผกผันกับค่า F นั่นคือ ค่า t_f และ V_R ลดลงเมื่ออัตราการไหลของเฟสเคลื่อนที่เพิ่มขึ้น ดังนั้นในการศึกษาครั้งนี้เบต้าแครโตรีที่จึงถูกชะออกจากการล้มเหลวเมื่อเพิ่มอัตราการไหลของเฟสเคลื่อนที่

อย่างไรก็ตาม เมื่อใช้อัตราการไหลของเฟสเคลื่อนที่ที่สูงจะทำให้เบต้าแครอทีนถูกชะออกจากคอลัมน์ได้เร็ว ส่งผลให้ความดันของปั๊มสูงตาม ทำให้เกิดการอุดตันภายในคอลัมน์ ส่งผลให้คอลัมน์เสื่อมสภาพได้อย่างรวดเร็ว ดังนั้น ในการศึกษาครั้งนี้จึงเลือกอัตราการไหลของเฟสเคลื่อนที่เท่ากับ 1.5 mL/min เป็นอัตราการไหลของเฟสเคลื่อนที่ที่เหมาะสมที่สุดในการชะเบต้าแครอทีน

จากการศึกษา สามารถสรุปสภาวะที่เหมาะสมของเครื่อง HPLC ได้ดังแสดงในตารางที่ 4.3 โดยสภาวะที่เหมาะสมเหล่านี้นำไปใช้ในการศึกษาชนิดของเฟสเคลื่อนที่มีผลต่อการชะเบต้าแครอทีน และพฤติกรรมการถูกชะของเบต้าแครอทีนในลำดับต่อไป

ตารางที่ 4.3 สภาวะที่เหมาะสมของเครื่อง HPLC

สภาวะที่ศึกษา	สภาวะในการศึกษา	สภาวะที่เหมาะสมในการวิเคราะห์
ความยาวคลื่นสูงสุด (nm)	375 – 500	445
อุณหภูมิ ($^{\circ}\text{C}$)	25 และ 35	35
อัตราการไหลของเฟสเคลื่อนที่(mL/min)	1.0 - 2.0	1.5

2. การศึกษาชนิดของเฟสเคลื่อนที่ที่ประกอบด้วยตัวทำละลาย 2 ชนิดที่มีผลต่อการชะเบต้าแครอทีน

โดยศึกษาชนิดของเฟสเคลื่อนที่ที่ประกอบด้วยตัวทำละลายผสม 2 ชนิด จำนวน 4 คู่ ได้แก่ iso-propanol:MeOH, n-propanol:MeOH, iso-propanol:ACN และ n-propanol:ACN เมื่อใช้อัตราส่วนของเฟสเคลื่อนที่เท่ากับ 5:95 (v/v) และใช้สภาวะของเครื่อง HPLC (ตารางที่ 4.3) ผลการศึกษาแสดงในตารางที่ 4.4

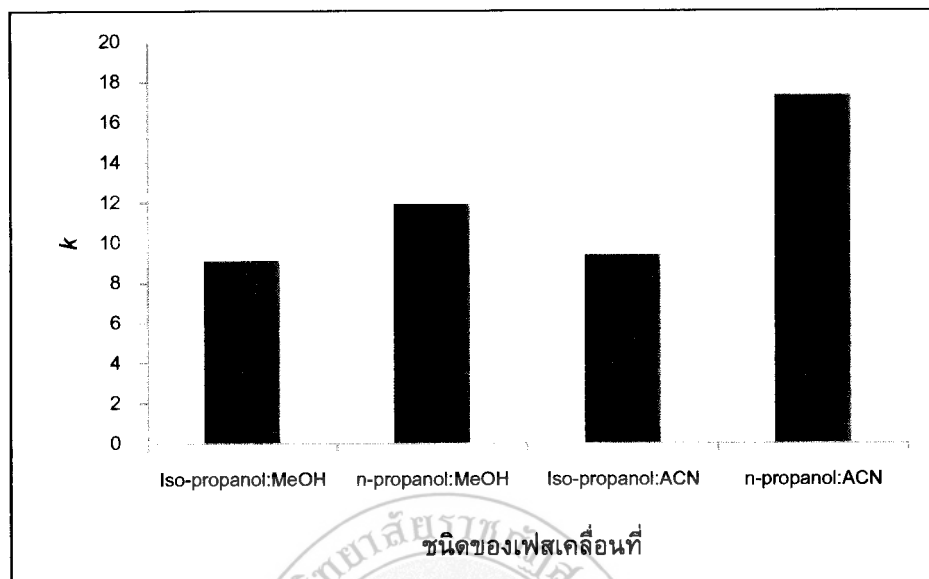
จากการที่ 4.4 จะเห็นได้ว่า เฟสเคลื่อนที่ที่เติม iso-propanol ลงไป สามารถชะเบต้าแครอทีนออกมาได้เร็วขึ้น นั่นคือ ค่า $t_{\frac{1}{2}}$ ของเบต้าแครอทีนที่ต่ำกว่าเมื่อใช้เฟสเคลื่อนที่ที่เติม n-propanol ทั้งนี้เนื่องจาก iso-propanol ซึ่งมีสภาพข้าว ($P_1 = 3.9$) ที่ต่ำกว่า n-propanol ($P_1 = 4.0$) (Phenomenex, 2013) ดังนั้นจึงทำให้เบต้าแครอทีนซึ่งเป็นโมเลกุลที่ไม่มีสภาพข้าว สามารถเกิดอันตรกิริยากับ iso-propanol ได้ดีกว่า n-propanol ส่งผลให้เบต้าแครอทีนถูกชะออกจากคอลัมน์ได้เร็วกว่าเฟสเคลื่อนที่ที่เติม n-propanol จะเห็นได้ว่าการเติมสารอินทรีย์ลงในเฟสเคลื่อนที่สามารถปรับสภาพข้าวของเฟสเคลื่อนที่ให้ดีลง ส่งผลให้สารที่สนใจที่มีสภาพข้าวต่ำหรือไม่มีสภาพข้าวถูกชะออกจากคอลัมน์ได้เร็วขึ้น และเมื่อพิจารณาลักษณะโครงสร้างของ

n-propanol ที่เป็นโซ่อร์ตงกับ *iso*-propanol ที่เป็นโซ่กิ่ง (แม้ว่าสารทั้ง 2 ชนิดมีโมเลกุลเหมือนกัน คือ C_3H_7OH) พบว่า *n*-propanol สามารถละลายน้ำได้ดีกว่า *iso*-propanol (แอลกอฮอล์, 2557) ดังนั้น เมื่อเบต้าแคร์โตรีนถูกชีด้วยเฟสเคลื่อนที่ที่เดิม *iso*-propanol ทำให้เบต้าแคร์โตรีนสามารถเกิดอันตราริยิกับ *iso*-propanol ได้ดีกว่า *n*-propanol ส่งผลให้เบต้าแคร์โตรีนถูกชะออกจากการคอลัมน์ได้เร็วกว่าเฟสเคลื่อนที่ที่เดิม *n*-propanol

ตารางที่ 4.4 แสดงค่า $t_{r,av}$ และ $t_{0,av}$ ของเบต้าแคร์โตรีนเมื่อใช้เฟสเคลื่อนที่ที่ประกอบด้วยด้วยวิถีละลายชนิดต่างๆ ($N=2$)

เฟสเคลื่อนที่	$t_{r,av} \pm SD$ (min)	$t_{0,av} \pm SD$ (min)
<i>iso</i> -propanol:MeOH	24.85 ± 0.06	2.46 ± 0.02
<i>n</i> -propanol:MeOH	25.82 ± 0.06	2.00 ± 0.01
<i>iso</i> -propanol:ACN	36.00 ± 1.33	3.46 ± 0.06
<i>n</i> -propanol:ACN	40.97 ± 1.10	2.23 ± 0.04

อย่างไรก็ตามในการรายงานผลพฤติกรรมการถูกชีดของเบต้าแคร์โตรีนเพื่อเปรียบเทียบตำแหน่งของสารในการถูกชีดออกจากคอลัมน์เมื่อเปลี่ยนสัดส่วนของเฟสเคลื่อนที่จะไม่สามารถแสดงโดยใช้ค่า t_r ได้ เนื่องจาก การใช้ค่า t_r จะต้องคำนึงถึงปัจจัยต่าง ๆ ในกระบวนการ ได้แก่ สภาพของเครื่อง HPLC (เช่น อัตราไฟลของเฟสเคลื่อนที่ อุณหภูมิของคอลัมน์) สภาวะของเฟสคงที่ (เช่น *n*-alkyl ที่เคลื่อนอยู่ที่ผิวของซิลิกาในคอลัมน์ C-18) และ สภาวะของเฟสเคลื่อนที่ (เช่น ด้วยวิถีละลายที่ใช้เป็นเฟสเคลื่อนที่ อัตราส่วนของด้วยวิถีละลายที่ใช้เป็นเฟสเคลื่อนที่) เป็นต้น ดังนั้นในการรายงานจึงต้องใช้ค่า k อธิบายพฤติกรรมการถูกชีดของเบต้าแคร์โตรีนเมื่อปรับเปลี่ยนสัดส่วนของเฟสเคลื่อนที่ เนื่องจาก ค่า k เป็นค่าที่แสดงตำแหน่งของสารที่ไม่คำนึงถึงสภาวะของเครื่อง HPLC (Nikitas and Pappa-Louisi, 2009) Barba et al. (2006) ได้ศึกษาไลโคปีนและเบต้าแคร์โตรีนในผัก โดยใช้เฟสเคลื่อนที่เป็น ACN:MeOH ในอัตราส่วน 10:90 (v/v) พบว่า ค่า k ของเบต้าแคร์โตรีนมีค่าสูง แต่เมื่อเติม TEA 9 μM ลงในเฟสเคลื่อนที่ดังกล่าว พบว่าค่า k ของเบต้าแคร์โตรีนลดลง แสดงว่าการปรับเปลี่ยนสัดส่วนของเฟสเคลื่อนที่มีผลทำให้ค่า k เปลี่ยนซึ่งสอดคล้องกับงานวิจัยในครั้งนี้ ด้วยเหตุนี้ในการรายงานผลพฤติกรรมการถูกชีดของเบต้าแคร์โตรีนจึงเลือกค่า k ในการรายงาน



รูปที่ 4.2 แสดงการเปรียบเทียบค่า *k* โดยใช้เฟสเคลื่อนที่ชนิดต่างๆ เมื่อใช้สภาวะของเครื่อง HPLC ดังนี้ อัตราส่วนของเฟสเคลื่อนที่เท่ากับ 5:95 (v/v), อุณหภูมิของคอลัมน์ 35 °C และอัตราการไหลของเฟสเคลื่อนที่ 1.5 mL/min

จากรูปที่ 4.2 จะเห็นได้ว่าเฟสเคลื่อนที่ที่เติม iso-propanol มีผลทำให้ค่า *k* ของเบต้าแครอทีนต่ำกว่าเฟสเคลื่อนที่ที่เติม n-propanol แสดงว่าเบต้าแครอทีนเกิดอันตรกิริยา กับ iso-propanol ได้ดีกว่า จึงทำให้เบต้าแครอทีนถูกชะออกจากการคอลัมน์ได้อย่างรวดเร็ว ดังนั้น จึงเลือกเฟสเคลื่อนที่ที่ประกอบด้วยตัวทำละลายผสมระหว่าง iso-propanol:MeOH และ iso-propanol:ACN เพื่อศึกษาพฤติกรรมการถูกชะของเบต้าแครอทีนต่อไป

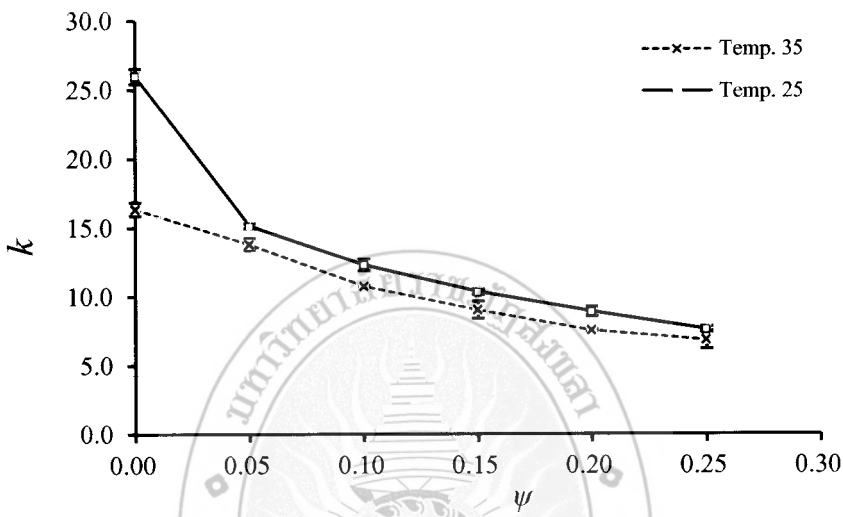
3. การศึกษาพฤติกรรมการถูกชะของเบต้าแครอทีน

การศึกษาพฤติกรรมการถูกชะของเบต้าแครอทีนโดยใช้เฟสเคลื่อนที่ที่ประกอบด้วยตัวทำละลายผสม 2 ชนิด จำนวน 2 คู่ ได้แก่ iso-propanol:MeOH และ iso-propanol:ACN ที่อุณหภูมิ 25 และ 35 °C รายละเอียดมีดังนี้

3.1 การศึกษาพฤติกรรมการถูกชะของเบต้าแครอทีนโดยใช้เฟสเคลื่อนที่ที่เป็นตัวทำละลายผสมระหว่าง iso-propanol:MeOH

จากการศึกษาพฤติกรรมการถูกชะของเบต้าแครอทีนโดยใช้เฟสเคลื่อนที่ที่เป็นตัวทำละลายผสมระหว่าง iso-propanol:MeOH มีสัดส่วนของ iso-propanol:MeOH ดังนี้ 0:100 (v/v), 5:95 (v/v), 10:90 (v/v), 15:85 (v/v), 20:80 (v/v) และ 25:75 (v/v) ซึ่งทำให้มีค่า *ψ*

เท่ากับ 0 , 0.05 , 0.10 , 0.15 , 0.20 และ 0.25% ตามลำดับ เมื่อเขียนความสัมพันธ์ระหว่างค่า k (แกน y) และค่า ψ (แกน x) จะแสดงดังรูปที่ 4.3



รูปที่ 4.3 กราฟแสดงความสัมพันธ์ระหว่างค่า k กับ ψ ของ iso-propanol ใน MeOH ($\% \text{vol} \times 10^2$) ที่ใช้เป็นเฟสเคลื่อนที่ในการ chromatography ที่ออกจาก colum C-18 โดยทำการศึกษาที่อุณหภูมิ 25 และ 35 °C เมื่อใช้อัตราการไหลของเฟสเคลื่อนที่ เท่ากับ 1.5 mL/min

จากรูปที่ 4.3 จะเห็นได้ว่าค่า k ลดลงอย่างรวดเร็วเมื่อค่า ψ เพิ่มขึ้น (สัดส่วนของ iso-propanol ใน MeOH เพิ่มขึ้น) ทำให้สภาพขั้วของเฟสเคลื่อนที่ลดลงเบต้าแครอทีนจึงเกิดอันตรกิริยาได้ดีกับ iso-propanol ที่เป็นตัวทำละลายอินทรีย์ที่เดิมลงในเฟสเคลื่อนที่ (Lesellier et al., 2003) ทำให้เบต้าแครอทีนถูกชะออกจากการ colum ได้อย่างรวดเร็ว และเมื่อเพิ่มปริมาตรของ iso-propanol ใน MeOH ให้มีค่า $\psi = 0.25\%$ สามารถช่วยเบต้าแครอทีนออกจาก colum โดยใช้เวลาอยู่ที่สุดเมื่อเทียบกับอัตราส่วนของเฟสเคลื่อนที่อื่นๆ ที่ศึกษา นอกจากนี้ยังพบว่า เมื่ออุณหภูมิเพิ่มขึ้นส่งผลให้เบต้าแครอทีนถูกชะออกมาก่อนได้เร็ว นั่นคือที่อุณหภูมิ 35 °C เบต้าแครอทีนจะถูกชะออกมากได้เร็วกว่าที่อุณหภูมิ 25 °C แสดงว่าอุณหภูมิมีผลต่อเวลาในการช่วยเบต้าแครอทีนออกจาก colum ดังที่เคยอธิบายมาก่อนนี้ จะเห็นได้ว่าค่า k แปรผันกับค่า ψ โดยแสดงความสัมพันธ์แบบเอกซ์โพแนล (exponential) ที่สามารถอธิบายได้ตามสมการที่ 4.3

$$k = ae^{-b\psi}$$

.....4.3

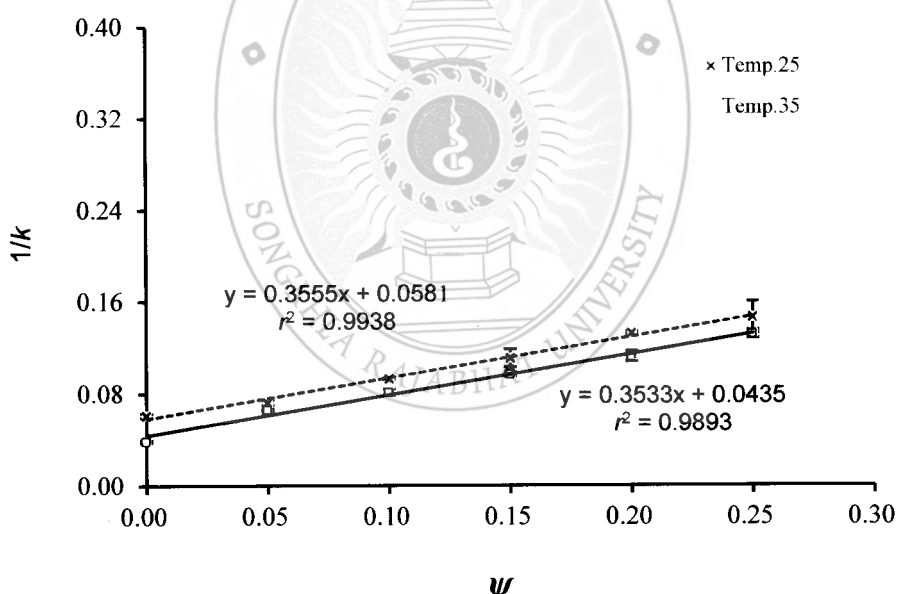
เมื่อ a และ $b =$ ค่าคงที่ที่ขึ้นอยู่กับค่า ψ ที่อุณหภูมิได้

จากผลที่ได้จะสามารถเขียนสมการแบบเอกซ์โพแนลเชิงล ที่สอดคล้องกับสมการที่ 4.3 ได้ดังนี้

$$\text{ที่อุณหภูมิ } 25^\circ\text{C} \quad k = 21.57 e^{-4.52\psi} \quad \dots\dots 4.4$$

$$\text{ที่อุณหภูมิ } 35^\circ\text{C} \quad k = 16.08e^{-3.62\psi} \quad \dots\dots 4.5$$

อย่างไรก็ตามการเขียนกราฟแสดงความสัมพันธ์แบบเอกซ์โพเนนเชียล ไม่สามารถแสดงค่าของพารามิเตอร์ต่าง ๆ ทางโคมไฟกราฟที่สนใจศึกษาได้ (เช่น S , $1/k_0$, $\log k_0$ และ r^2) ซึ่งพารามิเตอร์เหล่านี้เป็นค่าที่หาได้จากการสมการเส้นตรง ดังนั้นในการศึกษาจึงจำเป็นต้องเขียนกราฟเส้นตรง โดยสามารถเขียนได้จากความสัมพันธ์ระหว่างค่า $1/k$ กับ ψ และค่า $\log k$ กับ ψ รูปที่ 4.4 แสดงกราฟเส้นตรงที่เขียนระหว่าง $1/k$ กับ ψ



รูปที่ 4.4 กราฟแสดงความสัมพันธ์ระหว่างค่า $1/k$ กับ ψ ของ iso-propanol ใน MeOH

(%vol $\times 10^{-2}$) ที่ใช้เป็นเฟสเคลื่อนที่ในการชะเบต้าแครโโรทินออกจากคลัมมน์ C-18 โดยทำการศักย์化ที่อุณหภูมิ 25 และ 35 °C เมื่อใช้อัตราการไหลของเฟสเคลื่อนที่เท่ากัน 1.5 mL/min

จากรูปที่ 4.4 จะเห็นได้ว่าเมื่อค่า ψ เพิ่มขึ้น นั่นคือสัดส่วนของ iso-propanol ใน MeOH เพิ่มขึ้น ทำให้สภาพขั้วของเฟสเคลื่อนที่ลดลง เป็นตัวแคร็อกที่นิ่งเกิดอันตรกิริยาได้ดีกับเฟสเคลื่อนที่ จึงทำให้เป็นตัวแคร็อกที่นุกชะออกจากคอมลัมน์ได้เร็วขึ้น (ค่า $1/k$ เพิ่มขึ้น) ความสัมพันธ์ระหว่างค่า ψ กับค่า $1/k$ สามารถอธิบายได้โดยใช้สมการที่ 4.6 (Purcell et al., 1999)

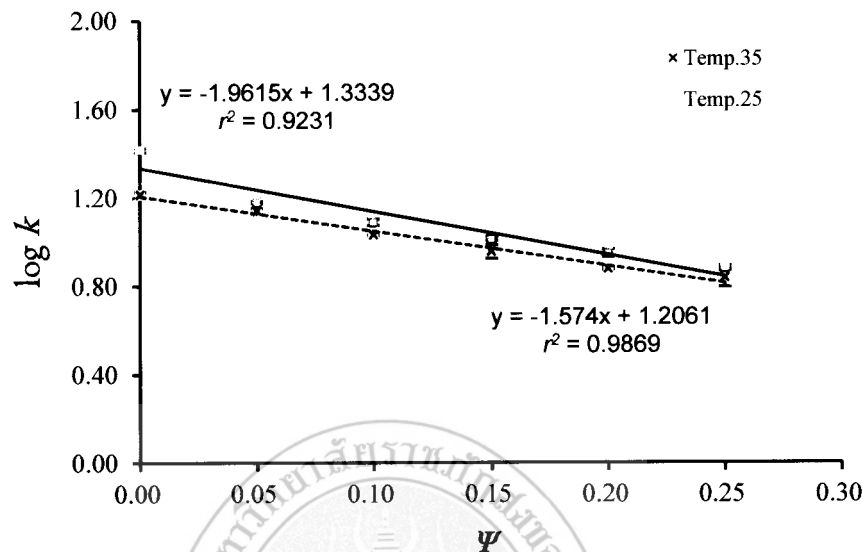
เมื่อ S = Slope หรือ ความชัน

$1/k_0$ = จุดตัดแกน y เมื่อค่า $\psi = 0\%$

จากสมการที่ 4.6 จะเห็นได้ว่าค่า $1/k$ แปรผันตรงกับค่า ψ และความชันของกราฟมีค่ามากกว่าศูนย์ จากรูปที่ 4.4 สามารถเขียนสมการเชิงเส้นตรงที่สอดคล้องกับสมการที่ 4.6 ได้ดังนี้

$$\text{ที่อุณหภูมิ } 25^\circ\text{C} \quad 1/k = 0.3555(\pm 2.23 \times 10^{-10}) \psi + 0.0581(\pm 1.16 \times 10^{-6}) \quad 4.7$$

จากสมการเส้นตรงที่เขียนได้ (สมการที่ 4.7 และ 4.8) พบว่าค่าความชันที่อุณหภูมิ 25 และ 35 °C มีค่าเท่ากับ 0.3555 และ 0.3533 ตามลำดับ และเมื่อพิจารณาเฟสเคลื่อนที่ที่มี MeOH เพียงอย่างเดียว ($\psi = 0\%$) เป็นตัวแปรที่นักชีวเคมีต้องใช้เวลานานที่สุด (ค่า $1/k$ ต่ำที่สุด) เนื่องจากเฟสเคลื่อนที่มีสภาพขั้วสูงสุด นั่นคือ เมื่อค่า $\psi = 0\%$ ทำให้ได้จุดตัดที่แกน y คือค่า $1/k_0$ จากรูปที่ 4.4 พบว่า $1/k_0$ ที่อุณหภูมิ 25 และ 35 °C มีค่าเท่ากับ 0.0581 และ 0.3533 ตามลำดับ นอกจากนี้สามารถเขียนกราฟเส้นตรงได้จากความสัมพันธ์ระหว่างค่า $\log k$ กับ ψ ได้ดังรูปที่ 4.5



รูปที่ 4.5 กราฟแสดงความสัมพันธ์ระหว่างค่า $\log k$ กับ ψ ของ iso-propanol ใน MeOH (%vol $\times 10^{-2}$) ที่ใช้เป็นเฟสเคลื่อนที่ในการชะبهด้วยเครื่องที่นอกจากคลัมน์ C-18 โดยทำการศึกษาที่อุณหภูมิ 25 และ 35 °C เมื่อใช้อัตราการไหลของเฟสเคลื่อนที่เท่ากับ 1.5 mL/min

จากรูปที่ 4.5 จะเห็นได้ว่าการเพิ่มค่า ψ มีผลให้ค่า $\log k$ ลดลง นั่นคือ เปด้าแครโธนถูกชะออกจากคลัมน์ไดเร็วขึ้น ความสัมพันธ์ดังกล่าวสามารถอธิบายได้ดวยสมการที่ 4.9 (Purcell et al., 1999)

จากสมการที่ 4.9 จะเห็นได้ว่าค่า $\log k$ แปรผกผันกับค่า ψ และความชันของกราฟมีค่าน้อยกว่าศูนย์ จากรูปที่ 4.5 สามารถเขียนสมการเชิงเส้นตรงที่สอดคล้องกับสมการที่ 4.9 ได้ดังนี้

$$\text{ที่อุณหภูมิ } 25^\circ\text{C} \quad \log k = -1.9615(\pm 3.52 \times 10^{-5}) \psi + 1.3339(\pm 4.60 \times 10^{-4}) \quad \dots \dots \quad 4.10$$

$$\text{ที่อุณหภูมิ } 35^\circ\text{C} \log k = -1.5740(\pm 3.71 \times 10^{-7}) \psi + 1.2061(\pm 4.72 \times 10^{-5}) \dots \quad 4.11$$

จากสมการเส้นตรงที่เขียนได้ (สมการที่ 4.10 และ 4.11) พบว่าค่าความชันที่อุณหภูมิ 25 และ 35 °C มีค่าเท่ากับ -1.9615 และ -1.5740 ตามลำดับ และสามารถหาค่า $\log k_o$ ได้เช่นเดียวกับการหาค่า $1/k_o$ เมื่อ $\psi = 0\%$ จากรูปที่ 4.5 พบว่า $\log k_o$ ที่อุณหภูมิ 25 และ

35 °C มีค่าเท่ากับ 1.3339 และ 1.2061 ตามลำดับ จากการเขียนกราฟแสดงความสัมพันธ์ระหว่างค่า $1/k$ กับ ψ และค่า $\log k$ กับ ψ สามารถสรุปค่าพารามิเตอร์ทางโคมากोทกราฟดังแสดงในตารางที่ 4.5

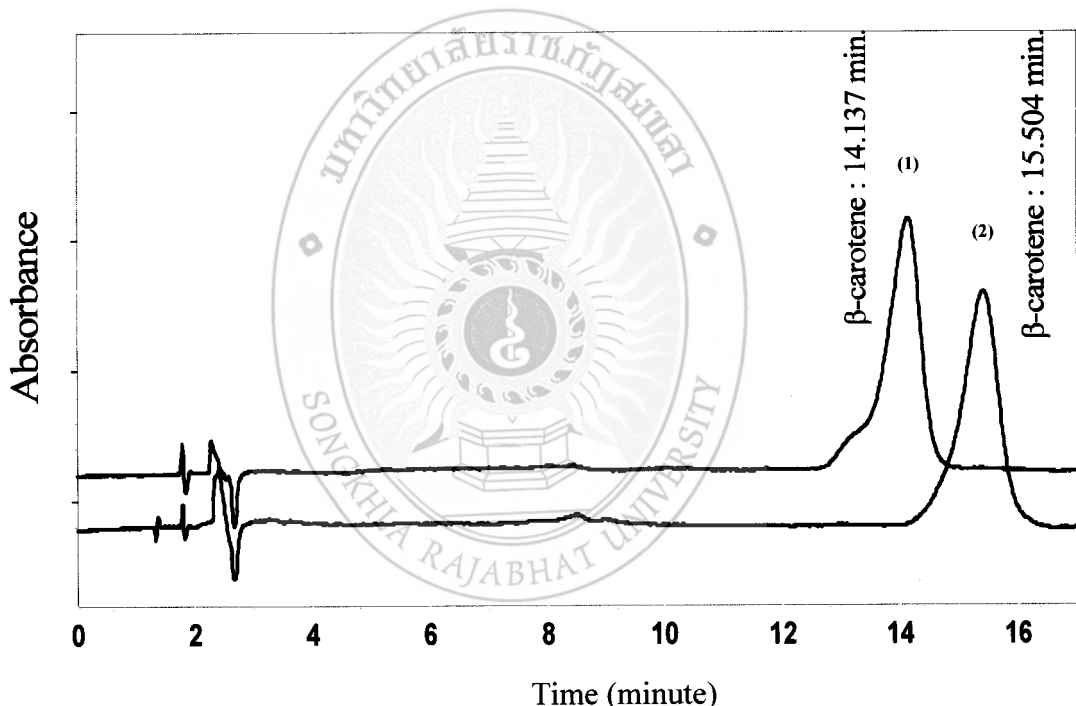
ตารางที่ 4.5 พารามิเตอร์ทางโคมากอทกราฟที่ได้จากการศึกษาพฤติกรรมการถูกชazeของเบต้าแครโโรทินโดยใช้เฟสเคลื่อนที่ที่เป็นตัวทำละลายผสมระหว่าง iso-propanol:MeOH

อุณหภูมิ (°C)	พารามิเตอร์ทางโคมากอทกราฟที่ได้จากการศึกษาพฤติกรรมการถูกชazeของเบต้าแครโโรทินโดยใช้เฟสเคลื่อนที่ iso-propanol:MeOH ($\psi = 0.25\%$)					
	1/k กับ ψ			$\log k$ กับ ψ		
	S	$1/k_0$	r^2	S	$\log k_0$	r^2
25	0.353	0.041	0.9893	-1.962	1.334	0.9231
35	0.356	0.058	0.9938	-1.574	1.206	0.9869

จากตารางที่ 4.5 จะเห็นได้ว่ากราฟที่เขียนระหว่างค่า $1/k$ กับ ψ มีค่าความชันและ $1/k_0$ เพิ่มขึ้นเมื่ออุณหภูมิเพิ่มขึ้น ส่วนกราฟที่เขียนระหว่างค่า $\log k$ กับ ψ แสดงแนวโน้มในทิศทางตรงข้าม นั่นคือเมื่ออุณหภูมิเพิ่มขึ้นค่าความชันและ $\log k_0$ จะมีค่าลดลง นอกจากนี้ยังพบว่าค่าสัมประสิทธิ์สหสัมพันธ์หรือค่า r^2 จากกราฟที่เขียนระหว่างค่า $1/k$ กับ ψ มีค่าที่ดีที่สุดที่อุณหภูมิ 35 °C ($r^2 = 0.9938$) เมื่อเทียบกับที่อุณหภูมิ 25 °C จากข้อมูลของพารามิเตอร์ทางโคมากอทกราฟในตารางที่ 4.5 สามารถอธิบายเพิ่มเติมเพื่อเปรียบเทียบพฤติกรรมการถูกชazeของเบต้าแครโโรทินที่อุณหภูมิ 25 และ 35 °C โดยพิจารณาจากค่าความชันและค่า $1/k_0$ เมื่อเฟสเคลื่อนที่มีค่า $\psi = 0.25\%$ จะเห็นได้ว่าความชันของกราฟที่เขียนระหว่างค่า $1/k$ กับ ψ มีค่าต่างกันเล็กน้อย แสดงว่าอุณหภูมิมีผลต่อพฤติกรรมการถูกชazeของเบต้าแครโโรทินเพียงเล็กน้อย และเมื่อเฟสเคลื่อนที่มีค่า $\psi = 0\%$ (มี MeOH 100%) จะเห็นได้ว่าค่า $1/k_0$ ที่อุณหภูมิ 35 °C มีค่าน้อยกว่าที่อุณหภูมิ 25 °C อย่างเห็นได้ชัด แสดงว่าเบต้าแครโโรทินถูกชazeออกจากการล้มเหลวเมื่ออุณหภูมิสูงขึ้น เช่นเดียวกันกับการพิจารณากราฟที่เขียนระหว่างค่า $\log k$ กับ ψ จะเห็นได้ว่าอุณหภูมิและสภาพข้าวของเฟสเคลื่อนที่มีผลต่อพฤติกรรมการถูกชazeของเบต้าแครโโรทิน อย่างไรก็ตามเมื่อพิจารณาผลของการเปลี่ยนแปลงสภาพข้าวของเฟสเคลื่อนที่ต่อพฤติกรรมการถูกชazeของเบต้าแครโโรทินโดยดูจากค่าความชันจะพบว่าการที่ความชันเพิ่มขึ้น แสดงว่าเมื่อปรับเปลี่ยนสภาพข้าวของเฟสเคลื่อนที่ให้ลดลงโดยการเพิ่มสัดส่วนของ iso-propanol

ลงในเฟสเคลื่อนที่ ทำให้เบต้าแครอทีนถูกชะออกมารีวะที่อุณหภูมิสูงอย่างเห็นได้ชัด ดังนั้น สามารถสรุปได้ว่าการเพิ่มอุณหภูมิมีผลต่อพฤติกรรมการถูกชะของเบต้าแครอทีนเพียงเล็กน้อย แต่การเดิม iso-propanol ลงในเฟสเคลื่อนที่มีผลอย่างมากต่อพฤติกรรมการถูกชะของ เบต้าแครอทีน นั่นคือ เมื่อทำให้สภาพขั้วของเฟสเคลื่อนที่ลดลงเบต้าแครอทีนจึงถูกชะออกจาก คลอลัมน์ได้เร็วขึ้น

จากการศึกษาพฤติกรรมการถูกชะของเบต้าแครอทีนที่อุณหภูมิ 25 และ 35 °C เมื่อใช้ เฟสเคลื่อนที่ iso-propanol:MeOH (25:75 v/v) ที่ $\psi = 0.25\%$ ด้วยระบบ isocratic โดยเทคนิค RP-HPLC พบร่วมเบต้าแครอทีนถูกชะที่อุณหภูมิ 35 °C ได้ร็อกว่าที่อุณหภูมิ 25 °C ดังแสดง ในรูปที่ 4.6

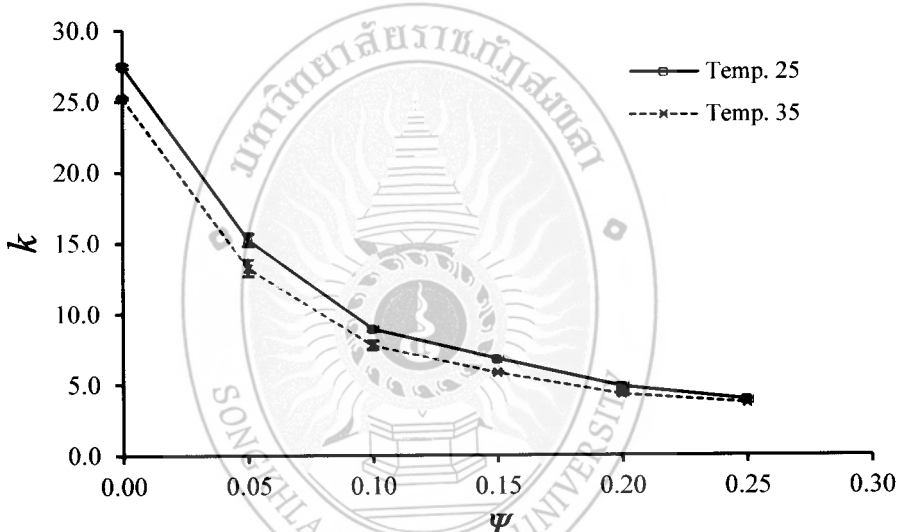


รูปที่ 4.6 แสดงโคมาโทแกรมของสารละลายน้ำตราชานเบต้าแครอทีนเข้มข้น 10 mg/L ที่อุณหภูมิ 25 °C (2) และที่ 35 °C (1) ด้วยเทคนิค RP-HPLC โดยใช้เฟสเคลื่อนที่ที่เป็น ดัวทำละลายผสมระหว่าง iso-propanol:MeOH (25:75 v/v) ที่ $\psi = 0.25\%$ เมื่อ ใช้อัตราการไหลของเฟสเคลื่อนที่เท่ากับ 1.5 mL/min

ผลจากการศึกษาพฤติกรรมการถูกชะของเบต้าแครอทีนโดยใช้เฟสเคลื่อนที่ที่เป็น ดัวทำละลายผสมระหว่าง iso-propanol:MeOH จะนำไปเปรียบเทียบกับผลของการใช้เฟสเคลื่อนที่ ที่เป็นดัวทำละลายผสมระหว่าง iso-propanol: ACN ต่อไป

3.2 การศึกษาพฤติกรรมการถูกชazeของเบต้าแครอทีนโดยใช้เฟสเคลื่อนที่ที่เป็นตัวทำละลายผสมระหว่าง iso-propanol:ACN

จากการศึกษาพฤติกรรมการถูกชazeของเบต้าแครอทีนโดยใช้เฟสเคลื่อนที่ที่เป็นตัวทำละลายผสมระหว่าง iso-propanol:ACN มีสัดส่วนของ iso-propanol:ACN ดังนี้ 0:100 (v/v), 5:95 (v/v), 10:90 (v/v), 15:85 (v/v), 20:80 (v/v) และ 25:75 (v/v) ซึ่งทำให้มีค่า Ψ เท่ากับ 0, 0.05, 0.10, 0.15, 0.20 และ 0.25% ตามลำดับ เมื่อเขียนความสัมพันธ์ระหว่างค่า k (แกน y) และ ค่า Ψ (แกน x) แสดงดังรูปที่ 4.7

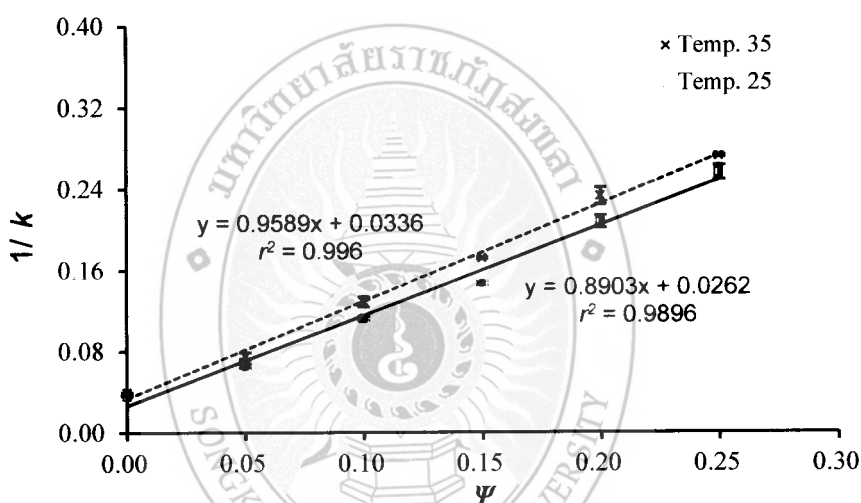


รูปที่ 4.7 กราฟแสดงความสัมพันธ์ระหว่างค่า k กับ Ψ ของ iso-propanol ใน ACN ($\% \text{vol} \times 10^{-2}$) ที่ใช้เป็นเฟสเคลื่อนที่ในการชะเบต้าแครอทีนออกจากคอลัมน์ C-18 โดยทำการศึกษาที่อุณหภูมิ 25 และ 35 °C เมื่อใช้อัตราการไหลของเฟสเคลื่อนที่ เท่ากับ 1.5 mL/min

จากรูปที่ 4.7 จะเห็นได้ว่าค่า k ลดลงอย่างรวดเร็วเมื่อค่า Ψ เพิ่มขึ้น นั่นคือ สัดส่วนของ iso-propanol ใน ACN เพิ่มขึ้น ทำให้สภาพขั้วของเฟสเคลื่อนที่ลดลง (Lesellier et al., 2003) เบต้าแครอทีนจึงเกิดอันตราริริยาได้ดีกับ iso-propanol ทำให้เบต้าแครอทีนถูกชazeออกจากคอลัมน์ได้อย่างรวดเร็ว และเมื่อเพิ่มค่า Ψ เป็น 0.25% จะทำให้สามารถชะเบต้าแครอทีนออกจากคอลัมน์ได้เร็วที่สุด เมื่อเทียบกับอัตราส่วนของเฟสเคลื่อนที่อื่นๆ ที่ศึกษา นอกจากนี้ยังพบว่าเมื่อเพิ่มอุณหภูมิให้สูงขึ้น ผลให้เบต้าแครอทีนถูกชazeออกจากคอลัมน์ได้เร็ว และด้วยว่า อุณหภูมิมีผลการชะเบต้าแครอทีนออกจากคอลัมน์ดังที่เคยอธิบายมาก่อนนี้ จะเห็นได้ว่าค่า k แปรผันกับค่า Ψ โดยแสดงความสัมพันธ์แบบเอกซ์โพแนลเชียง ที่สามารถอธิบายได้ตามสมการที่ 4.3 จากการทดลองสามารถเขียนสมการแบบเอกซ์โพแนลเชียง ได้ดังนี้

$$\text{ที่อุณหภูมิ } 25^\circ\text{C} \quad k = 23.14e^{-7.70\psi} \quad \dots\dots\dots 4.12$$

เพื่อให้ได้พารามิเตอร์ทางโครงสร้างที่ใช้ในสมการ $S = 1/k_0 \log k_0 + r^2$ ดังนั้นจึงได้เขียนกราฟเส้นตรง ที่เขียนความสัมพันธ์ระหว่างค่า $1/k$ กับ ψ และค่า $\log k$ กับ ψ ดังรูปที่ 4.8 และ 4.9 ตามลำดับ



รูปที่ 4.8 กราฟแสดงความสัมพันธ์ระหว่างค่า $1/k$ กับ ψ ของ iso-propanol ใน ACN ($\% \text{vol} \times 10^{-2}$)

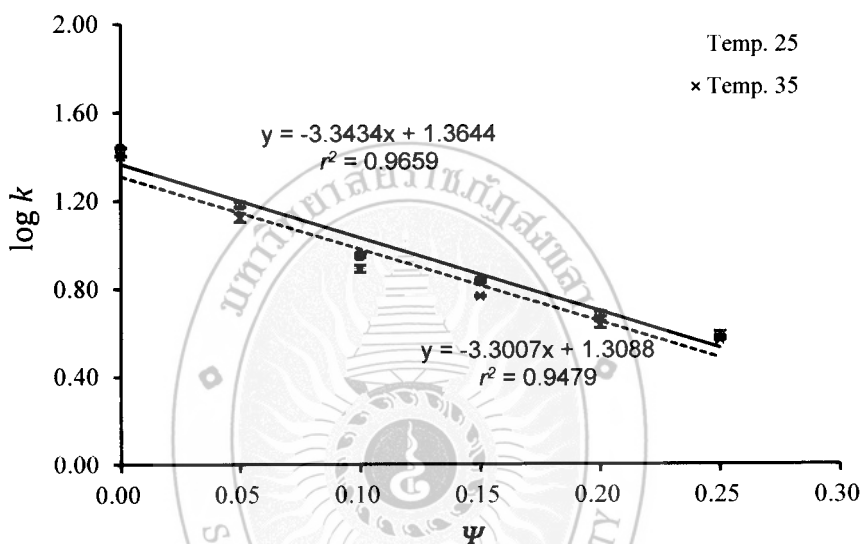
ที่ใช้เป็นเฟสเคลื่อนที่ในการจะเบต้าแครอทินออกจากคลัมบ์ C-18 โดยทำการศึกษา

ที่อุณหภูมิ 25 และ 35 °C เมื่อใช้อัตราการไหลของเฟสเคลื่อนที่เท่ากับ 1.5 mL/min.

จากรูปที่ 4.8 จะเห็นได้ว่าเมื่อค่า ψ เพิ่มขึ้น นั่นคือสัดส่วนของ iso-propanol ใน ACN เพิ่มขึ้น ทำให้สภาพขั้วของเฟสเคลื่อนที่ลดลง เบต้าแครโธนจึงถูกชะออกจากการคลัมน์ได้เร็วขึ้น (ค่า $1/k$ เพิ่มขึ้น) สามารถปรับความสัมพันธ์ระหว่างค่า ψ กับค่า $1/k$ ได้โดยใช้สมการที่ 4.6 และสามารถเขียนสมการเชิงเส้นตรง ได้ดังนี้

$$\text{ที่อุณหภูมิ } 25^\circ\text{C} \quad 1/k = 0.9589 \quad (\pm 2.39 \times 10^{-8}) \quad \psi + 0.0336 \quad (\pm 1.20 \times 10^{-5}) \quad \dots \dots \dots \quad 4.14$$

จากสมการเส้นตรงที่เขียนได้ (สมการที่ 4.14 และ 4.15) พบว่าค่าความชันที่อุณหภูมิ 25 และ 35 °C มีค่าเท่ากับ 0.9589 และ 0.8903 ตามลำดับ และเมื่อพิจารณาเฟสเคลื่อนที่ที่มี ACN เพียงอย่างเดียว ($\Psi = 0\%$) เป็นแค่เครื่องเรือนอกจากคลัมน์โดยใช้เวลา nanoที่สุด (ค่า $1/k$ ต่ำที่สุด) เนื่องจากเฟสเคลื่อนที่มีสภาพขึ้นสูงสุด จากรูปที่ 4.8 พบว่า $1/k$ ที่อุณหภูมิ 25 และ 35 °C มีค่าเท่ากับ 0.0336 และ 0.0262 ตามลำดับ รูปที่ 4.9 แสดงกราฟเส้นตรงที่เขียนจากความสัมพันธ์ระหว่างค่า $\log k$ กับ Ψ ดังนี้



รูปที่ 4.9 กราฟแสดงความสัมพันธ์ระหว่างค่า $\log k$ กับ Ψ ของ iso-propanol ใน ACN ($\% \text{vol} \times 10^{-2}$) ที่ใช้เป็นเฟสเคลื่อนที่ในการชีบเด้าเครื่องเรือนอกจากคลัมน์ C-18 โดยทำการศึกษาที่อุณหภูมิ 25 และ 35 °C เมื่อใช้อัตราการไหลของเฟสเคลื่อนที่ เท่ากับ 1.5 mL/min

จากรูปที่ 4.9 จะเห็นได้ว่าการเพิ่มสัดส่วนของ iso-propanol ใน ACN (ทำให้ Ψ เพิ่ม) มีผลให้ค่า $\log k$ ลดลง นั่นคือ เป็นแค่เครื่องเรือนอกจากคลัมน์ที่จึงทำให้กฎของออกจากคลัมน์ได้เร็ว สามารถอธิบายความสัมพันธ์ดังกล่าวได้ด้วยสมการที่ 4.9 และสามารถเขียนสมการเชิงเส้นตรงที่ได้ดังนี้

$$\text{ที่อุณหภูมิ } 25^\circ\text{C} \quad \log k = -3.3434(\pm 5.33 \times 10^{-5}) \Psi + 1.3644(\pm 5.66 \times 10^{-4}) \quad \dots\dots 4.16$$

$$\text{ที่อุณหภูมิ } 35^\circ\text{C} \quad \log k = -3.3007(\pm 1.22 \times 10^{-4}) \Psi + 1.3088(\pm 8.57 \times 10^{-4}) \quad \dots\dots 4.17$$

จากสมการเส้นตรงที่เขียนได้ (สมการที่ 4.16 และ 4.17) จะเห็นได้ว่าที่อุณหภูมิ 25 และ 35 °C ความชันมีค่าน้อยกว่าศูนย์ ($S = -3.3434$ และ $S = -3.3007$ ตามลำดับ) และ

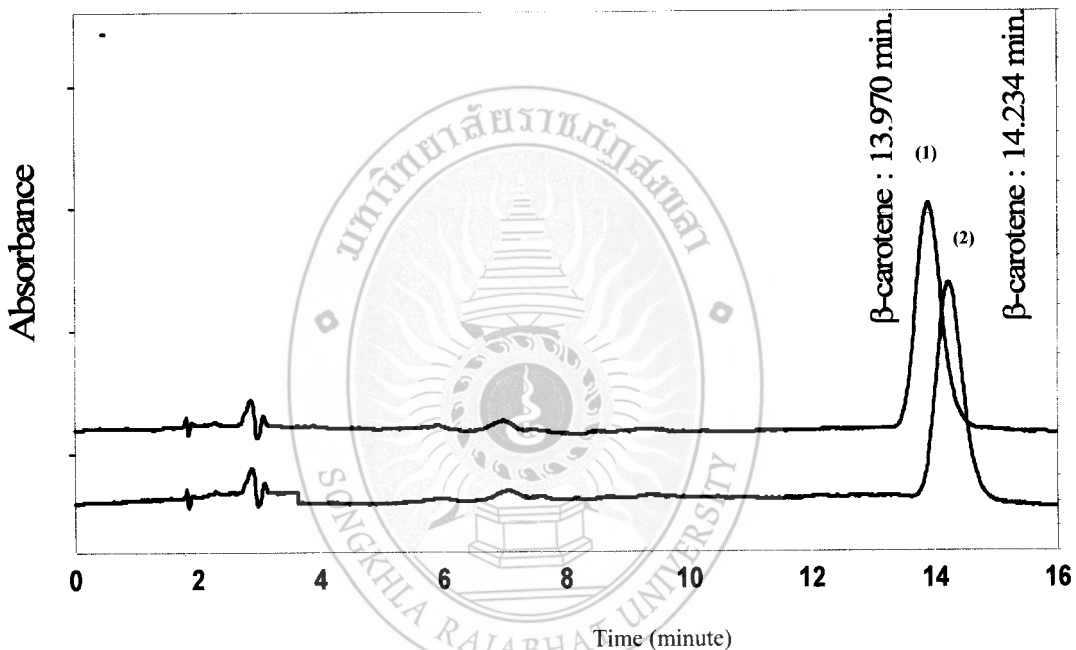
สามารถหาค่า $\log k_0$ ได้เช่นเดียวกับการหาค่า $1/k_0$ เมื่อ $\psi = 0\%$ จากรูปที่ 4.8 พบว่า ที่อุณหภูมิ 25 และ 35 °C ทำให้ $\log k_0$ มีค่าเท่ากับ 1.3644 และ 1.3088 ตามลำดับ จากการเขียนกราฟแสดงความสัมพันธ์ระหว่างค่า $1/k$ กับ ψ และค่า $\log k$ กับ ψ สามารถสรุปค่าพารามิเตอร์ที่ได้จากการศึกษาดังแสดงในตารางที่ 4.6

ตารางที่ 4.6 พารามิเตอร์ทางโคมไฟที่ได้จากการศึกษาพฤติกรรมการถูกชะของเบต้าแครอทีนโดยใช้เฟสเคลื่อนที่ที่เป็นตัวทำละลายผสมระหว่าง iso-propanol:ACN

อุณหภูมิ (°C)	พารามิเตอร์ทางโคมไฟที่ได้จากการศึกษาพฤติกรรมการถูกชะของเบต้าแครอทีนโดยใช้เฟสเคลื่อนที่ iso-propanol:ACN ($\psi = 0.25\%$)					
	1/k กับ ψ			$\log k$ กับ ψ		
	S	1/k ₀	r^2	S	$\log k_0$	r^2
25	0.890	0.026	0.9896	-3.343	1.364	0.9659
35	0.959	0.034	0.9960	-3.301	1.390	0.9479

จากตารางที่ 4.6 จะเห็นได้ว่ากราฟที่เขียนระหว่างค่า $1/k$ กับ ψ มีความชันและ $1/k_0$ เพิ่มขึ้นเมื่ออุณหภูมิเพิ่มขึ้น ส่วนกราฟที่เขียนระหว่างค่า $\log k$ กับ ψ แสดงแนวโน้มในทิศทางตรงข้าม นั่นคือเมื่ออุณหภูมิเพิ่มขึ้นค่าความชันและ $\log k_0$ จะมีค่าลดลง นอกจากนี้ยังพบว่าค่าสัมประสิทธิ์สัมพันธ์หรือค่า r^2 จากกราฟที่เขียนระหว่างค่า $1/k$ กับ ψ มีค่าที่ดีที่สุดที่อุณหภูมิ 35 °C ($r^2 = 0.9960$) เมื่อเทียบกับที่อุณหภูมิ 25 °C จากข้อมูลของพารามิเตอร์ทางโคมไฟที่ 4.6 สามารถอธิบายเพิ่มเติมเพื่อเปรียบเทียบพฤติกรรมการถูกชะของเบต้าแครอทีนที่อุณหภูมิ 25 และ 35 °C โดยพิจารณาจากค่าความชันและค่า $1/k_0$ เมื่อเฟสเคลื่อนที่มีค่า $\psi = 0.25\%$ จะเห็นได้ว่าความชันของกราฟที่เขียนระหว่างค่า $1/k$ กับ ψ มีค่าต่างกันเล็กน้อย แสดงว่าอุณหภูมิมีผลต่อพฤติกรรมการถูกชะของเบต้าแครอทีนเพียงเล็กน้อย และเมื่อเฟสเคลื่อนที่มีค่า $\psi = 0\%$ (มี ACN 100%) จะเห็นได้ว่าค่า $1/k_0$ ที่อุณหภูมิ 35 °C มีค่าน้อยกว่าที่อุณหภูมิ 25 °C อย่างเห็นได้ชัด แสดงว่าเบต้าแครอทีนถูกชะออกจากคอลัมน์ได้เร็วเมื่ออุณหภูมิสูงขึ้น เช่นเดียวกับการพิจารณากราฟที่เขียนระหว่างค่า $\log k$ กับ ψ จะเห็นได้ว่าอุณหภูมิและสภาพขั้วของเฟสเคลื่อนที่มีผลต่อพฤติกรรมการถูกชะของเบต้าแครอทีน อย่างไรก็ตามเมื่อพิจารณาผลของการเปลี่ยนแปลงสภาพขั้วของเฟสเคลื่อนที่ต่อพฤติกรรมการถูกชะของเบต้าแครอทีนโดยดูจากค่าความชันจะพบว่าการที่ความชันเพิ่มขึ้น

แสดงว่าเมื่อปรับเปลี่ยนสภาพข้าวของเฟสเคลื่อนที่ให้ลดลงโดยการเพิ่มสัดส่วนของ iso-propanol ลงในเฟสเคลื่อนที่ ทำให้เบต้าแครอทีนถูกชะออกมารีวะที่อุณหภูมิสูงอย่างเห็นได้ชัด ดังนั้นสามารถสรุปได้ว่าการเพิ่มอุณหภูมิมีผลต่อพฤติกรรมการถูกชะของเบต้าแครอทีนเพียงเล็กน้อย แต่การเดิม iso-propanol ลงในเฟสเคลื่อนที่มีผลอย่างมากต่อพฤติกรรมการถูกชะของเบต้าแครอทีน นั่นคือ เมื่อทำให้สภาพข้าวของเฟสเคลื่อนที่ลดลง เบต้าแครอทีนจึงถูกชะออกจากคอสัมน์ได้เร็วขึ้น



รูปที่ 4.10 โครงมาโทแกรมของสารละลายน้ำตาลเร้มขัน 10 mg/L ที่อุณหภูมิ 25 °C (2) และที่ 35 °C (1) ด้วยเทคนิค RP-HPLC โดยใช้เฟสเคลื่อนที่ที่เป็นตัวทำละลายผสมระหว่าง iso-propanol:ACN (25:75 v/v) ที่ $\psi = 0.25\%$ เมื่อใช้อัตราการไหลของเฟสเคลื่อนที่เท่ากับ 1.5 mL/min

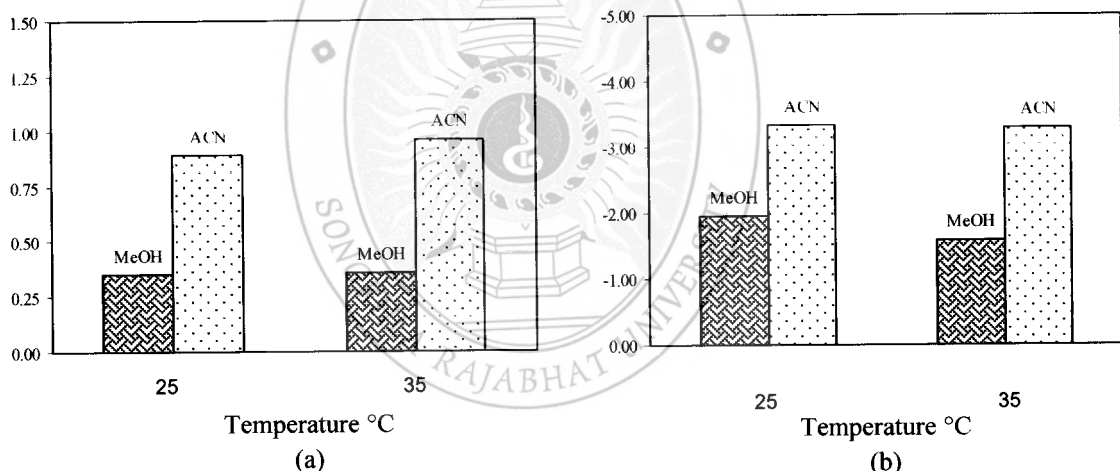
จากการศึกษาพฤติกรรมการถูกชะของเบต้าแครอทีนที่อุณหภูมิ 25 และ 35 °C เมื่อใช้เฟสเคลื่อนที่ iso-propanol:ACN (25:75 v/v) ที่ $\psi = 0.25\%$ ด้วยระบบ isocratic โดยเทคนิค RP-HPLC พบว่าเบต้าแครอทีนถูกชะที่อุณหภูมิ 35 °C ได้เร็วกว่าที่อุณหภูมิ 25 °C และนอกจากนี้พบว่าลักษณะพื้นของเบต้าแครอทีนมีความคล้ายคลึงกัน ดังแสดงในรูปที่ 4.10

3.3 การพิจารณาผลของพารามิเตอร์ทางโคม่าโทกราฟที่ได้จากการเขียนกราฟต่อพฤติกรรมการถูกชดของเบต้าแครอทีน

จากการศึกษาพฤติกรรมการถูกชดของเบต้าแครอทีน เมื่อเขียนกราฟเอกซ์โพแนนเชียล สามารถอธิบายได้เฉพาะแนวโน้มของการถูกชดของเบต้าแครอทีนเท่านั้น แต่ไม่สามารถใช้พารามิเตอร์ทางโคม่าโทกราฟที่ได้จากการ์ฟแบบเอกซ์โพแนนเชียล เพื่ออธิบายพฤติกรรมการถูกชดของเบต้าแครอทีนได้ ในขณะที่กราฟเส้นตรงที่เขียนระหว่างค่า $1/k$ กับ ψ และค่า $\log k$ กับ ψ สามารถใช้พารามิเตอร์ที่ได้จากการ์ฟ มาอธิบายพฤติกรรมการถูกชดของเบต้าแครอทีน ได้ พารามิเตอร์ต่างๆ ได้แก่ ความชันและจุดตัดแกน y รายละเอียดมีดังนี้

3.3.1 ผลของความชันของกราฟเส้นตรง

เมื่อนำค่าความชันของกราฟเส้นตรงที่เขียนระหว่างค่า $1/k$ กับ ψ และค่า $\log k$ กับ ψ เมื่อใช้เฟสเคลื่อนที่ iso-propanol:MeOH และ iso-propanol:ACN มาเขียนกราฟเทียบกับอุณหภูมิ สามารถแสดงดังรูปที่ 4.11



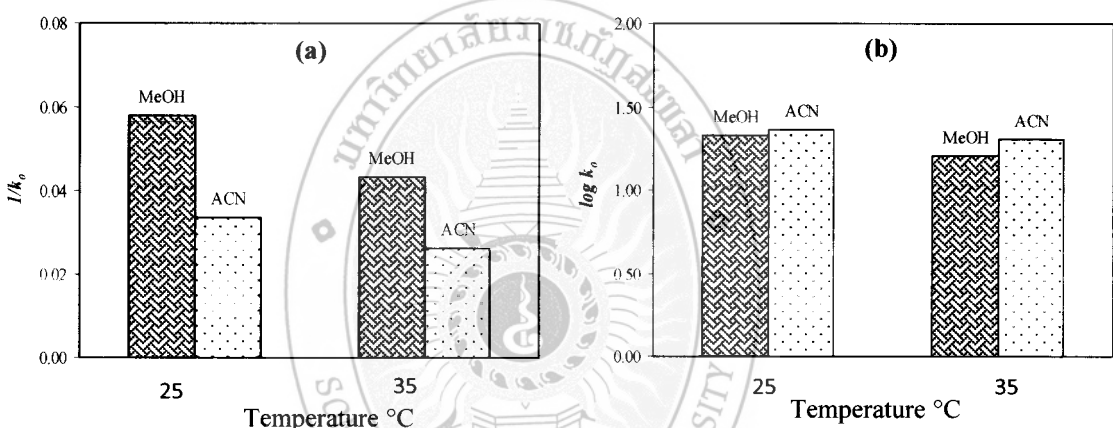
รูปที่ 4.11 แสดงการเปรียบเทียบค่าความชันของกราฟที่เขียนระหว่างค่า $1/k$ กับ ψ (a) และค่า $\log k$ กับ ψ (b) เมื่อใช้เฟสเคลื่อนที่ iso-propanol:MeOH และ iso-propanol:ACN ที่อุณหภูมิ 25 และ 35 °C

จากรูปที่ 4.1 จะเห็นได้ว่าความชันของของกราฟเมื่อใช้เฟสเคลื่อนที่ประกอบด้วยตัวทำละลายผสมระหว่าง iso-propanol:ACN มีค่าสูงกว่าความชันของของกราฟเมื่อใช้เฟสเคลื่อนที่ iso-propanol:MeOH อย่างเห็นได้ชัดที่อุณหภูมิที่ศึกษา แสดงว่าเบต้าแครอทีนถูกชดออกจากคอลัมน์ได้เร็วเมื่อใช้ iso-propanol:ACN เป็นเฟสเคลื่อนที่ และจะถูกชดได้เร็วขึ้นที่อุณหภูมิ 35 °C ทั้งนี้เนื่องจากเบต้าแครอทีนสามารถเกิดอันตรกิริยา กับ iso-propanol ที่เป็นสารประกอบอินทรีย์ที่เดิมลงไปในเฟสเคลื่อนที่ ACN เนื่องจากผลของ hydrophobic interactions ดังนั้นเฟสเคลื่อนที่

iso-propanol:ACN สามารถช่วยเบต้าแคร์ทินออกจาก columน์ได้ดีกว่าเฟสเคลื่อนที่ iso-propanol:MeOH อย่างไรก็ตาม ค่าความชันที่ได้จากการเขียนกราฟระหว่างค่า $1/k$ กับ ψ และค่า $\log k$ กับ ψ สามารถอธิบายพฤติกรรมการถูกช่วยของเบต้าแคร์ทินได้ไม่แตกต่างกัน

3.3.2 ผลของจุดตัดแกน y ของกราฟเส้นตรง

เมื่อนำค่าจุดตัดแกน y ที่ได้จากการฟีนทร์ที่เขียนระหว่างค่า $1/k$ กับ ψ และค่า $\log k$ กับ ψ เมื่อใช้เฟสเคลื่อนที่ที่ปราศจากการเดิม iso-propanol ($\psi = 0\%$) มาเขียนกราฟเทียบกับอุณหภูมิ สามารถแสดงดังรูปที่ 4.12



รูปที่ 4.12 แสดงการเปรียบเทียบค่า $1/k_0$ ที่ได้จากการฟีนทร์ที่เขียนระหว่างค่า $1/k$ กับ ψ (a) และค่า $\log k_0$ ที่ได้จากการฟีนทร์ที่เขียนระหว่างค่า $\log k$ กับ ψ (b) เมื่อใช้เฟสเคลื่อนที่ iso-propanol:MeOH และ iso-propanol:ACN

จากรูปที่ 4.12 จะเห็นได้ว่าจุดตัดแกน y ($1/k_0$) ที่ได้จากการฟีนทร์ที่เขียนระหว่างค่า $1/k$ กับ ψ เมื่อใช้เฟสเคลื่อนที่ ACN มีค่าน้อยกว่า MeOH (ค่า $1/k_0$ น้อยแสดงว่าค่า k น้อย) ในขณะเดียวกันจุดตัดแกน y ($\log k_0$) ที่ได้จากการฟีนทร์ที่เขียนระหว่างค่า $\log k$ กับ ψ เมื่อใช้เฟสเคลื่อนที่ ACN มีค่า $\log k_0$ มากกว่า MeOH (ค่า $\log k_0$ มากแสดงว่าค่า k น้อย) ที่อุณหภูมิที่ศึกษา แสดงว่าเมื่อใช้เฟสเคลื่อนที่ ACN เท่ากับ 100% เบต้าแคร์ทินถูกช่วยออกจาก column ได้เร็วกว่าเมื่อใช้เฟสเคลื่อนที่ MeOH เท่ากับ 100% และเบต้าแคร์ทินจะถูกช่วยได้เร็วขึ้นที่อุณหภูมิ 35 °C ทั้งนี้เนื่องจาก ACN มีค่าดัชนีสภาพขั้วต่างกว่า MeOH จึงทำให้เบต้าแคร์ทินสามารถเกิด hydrophobic interactions กับ ACN ได้ดีกว่า MeOH จึงทำให้เบต้าแคร์ทินถูกช่วยออกจาก column ได้เร็วขึ้น อย่างไรก็ตามเมื่อเปรียบเทียบค่าจุดตัดแกน y จากการเขียนกราฟทั้งสอง ($1/k_0$ และ $\log k_0$) จะเห็นได้ว่าค่า $1/k_0$ ที่ได้จากการฟีนทร์ที่เขียนระหว่างค่า $1/k$ กับ ψ มีความแตกต่างระหว่าง

เฟสเคลื่อนที่ทั้งสองชนิดได้ดีกว่าค่า $\log k_0$ ที่ได้จากการฟิล์มเส้นตรงที่เขียนระหว่างค่า $\log k$ กับ ψ ดังนั้น การเขียนกราฟเส้นตรงระหว่างค่า $1/k$ กับ ψ สามารถนำพารามิเตอร์ทางโคมากोหราฟีที่ได้จากการฟิล์มมาใช้อธิบายพฤติกรรมการถูกชazeของเบต้าแคโรทีนได้ดีกว่าการเขียนกราฟเส้นตรงระหว่างค่า $\log k$ กับ ψ

จากการศึกษาพฤติกรรมการถูกชazeของเบต้าแคโรทีนระหว่างเฟสเคลื่อนที่ iso-propanol:MeOH และ iso-propanol:ACN สามารถสรุปพารามิเตอร์ทางโคมากอหราฟีที่ได้จากการศึกษา ดังแสดงในตารางที่ 4.7

ตารางที่ 4.7 แสดงค่าพารามิเตอร์ทางโคมากอหราฟีที่ได้จากการศึกษาพฤติกรรมการถูกชaze ของเบต้าแคโรทีนโดยใช้เฟสเคลื่อนที่ที่เป็นตัวทำละลายผสม 2 ชนิดที่มีสภาพข้าว ต่างกันด้วยเทคนิค RP-HPLC

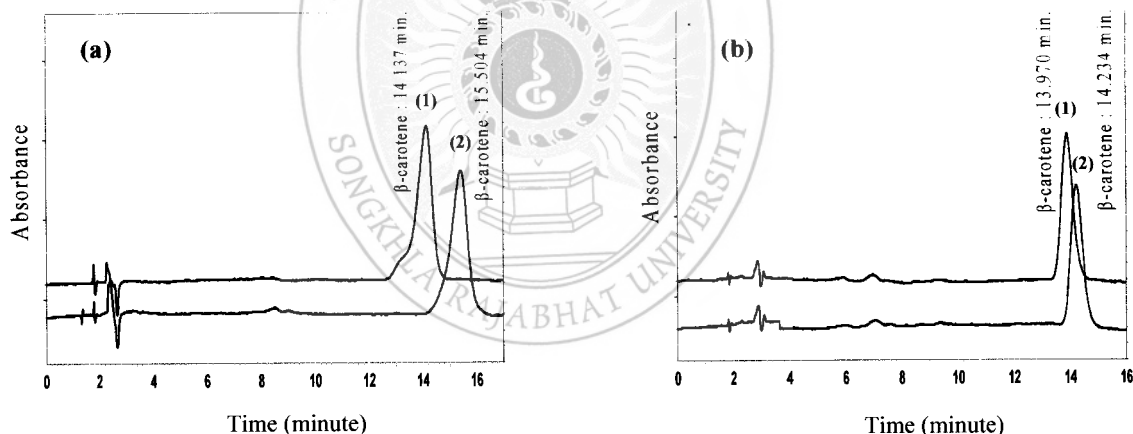
อุณหภูมิ °C	Iso-propanol:MeOH ($\psi=0.25\%$)						Iso-propanol:ACN ($\psi=0.25\%$)					
	1/k กับ ψ			$\log k$ กับ ψ			1/k กับ ψ			$\log k$ กับ ψ		
	S	$1/k_0$	r^2	S	$\log k_0$	r^2	S	$1/k_0$	r^2	S	$\log k_0$	r^2
25	0.353	0.044	0.9893	-1.962	1.334	0.9231	0.890	0.026	0.9896	-3.343	1.364	0.9659
35	0.356	0.058	0.9938	-1.574	1.206	0.9869	0.959	0.034	0.9960	-3.301	1.309	0.9479

เมื่อพิจารณาค่าพารามิเตอร์ทางโคมากอหราฟีที่ได้จากการเขียนกราฟเส้นตรงที่เขียนระหว่างค่า $1/k$ กับ ψ และ $\log k$ กับ ψ ดังแสดงในตารางที่ 4.7 จะเห็นได้ว่าพารามิเตอร์ทางโคมากอหราฟี เช่น S, $1/k_0$ และ $\log k_0$ ที่ได้จากการฟิล์ม iso-propanol:ACN มีค่าที่ดีกว่าเมื่อเทียบกับ iso-propanol:MeOH นอกจากนี้ยังพบอีกว่าความสัมพันธ์เชิงเส้นตรง (r^2) ที่ได้จากการฟิล์มที่เขียนระหว่างค่า $1/k$ กับ ψ เมื่อใช้เฟสเคลื่อนที่ iso-propanol:ACN ที่อุณหภูมิ 35 °C มีค่าที่ดีที่สุด ($r^2 = 0.9960$) เมื่อเปรียบเทียบกับเฟสเคลื่อนที่ iso-propanol:MeOH ($r^2 = 0.9938$)

3.4 การเปรียบเทียบโครมาໂගแกรมของเบต้าแคโรทีนเมื่อใช้เฟสเคลื่อนที่ที่ประกอบด้วยตัวทำละลาย 2 ชนิดที่ $\psi = 0.25\%$

จากการศึกษาพฤติกรรมการถูกชดของเบต้าแคโรทีนภายใต้เฟสเคลื่อนที่ที่ประกอบด้วยตัวทำละลาย 2 ชนิด ด้วยระบบ isocratic โดยเทคนิค RP-HPLC จะเห็นได้ว่าการที่เบต้าแคโรทีนจะถูกชดออกจากคลัมน์ได้ในเวลาที่เหมาะสมนั้นขึ้นอยู่กับปัจจัยหลายอย่าง เช่น อัตราการไหลของเฟสเคลื่อนที่ อุณหภูมิของคลัมน์ ชนิดของตัวทำละลายที่ใช้เป็นเฟสเคลื่อนที่ และอัตราส่วนของตัวทำละลายที่ใช้เป็นเฟสเคลื่อนที่ เป็นต้น

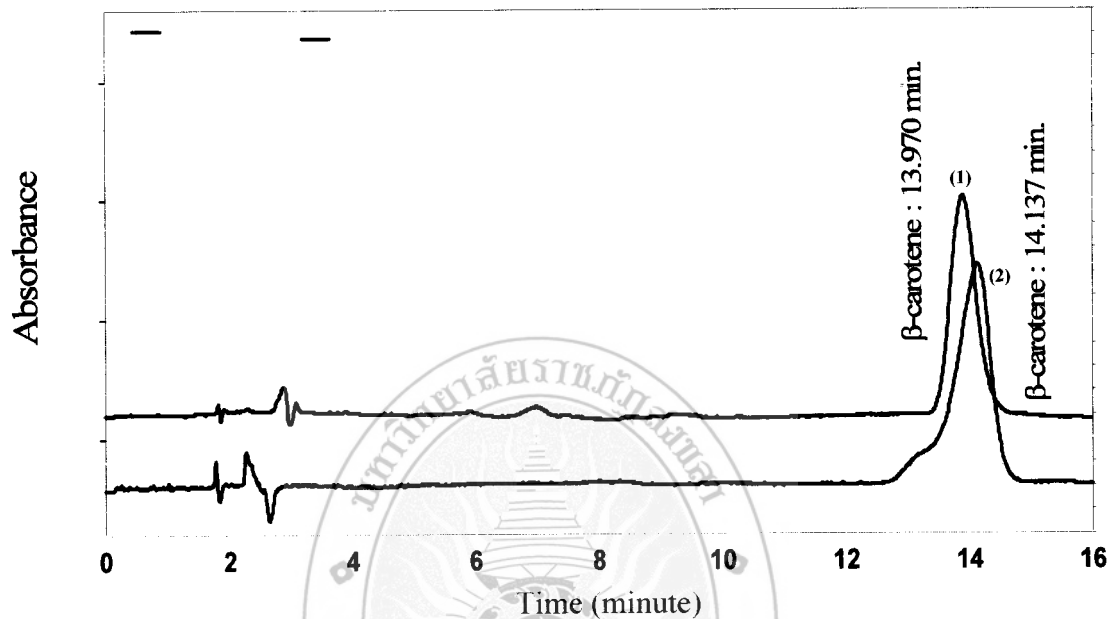
รูปที่ 4.13 แสดงโครมาໂගแกรมของเบต้าแคโรทีนเมื่อใช้เฟสเคลื่อนที่ของ iso-propanol:ACN และ iso-propanol:MeOH ($\psi = 0.25\%$) ที่อุณหภูมิ 25 และ 35 °C จากรูปจะเห็นได้ว่าเบต้าแคโรทีนถูกชดออกจากคลัมน์เมื่อใช้เฟสเคลื่อนที่ iso-propanol:ACN (รูปที่ 4.13 (b)) ได้เร็วกว่าการใช้เฟสเคลื่อนที่ iso-propanol:MeOH (รูปที่ 4.13 (a)) และถูกชดออกที่อุณหภูมิ 35 °C (1) ได้เร็วกว่าที่อุณหภูมิ 25 °C (2)



รูปที่ 4.13 โครมาໂගแกรมของสารละลายเบต้าแคโรทีนเข้มข้น 10 mg/L เมื่อใช้เฟสเคลื่อนที่ที่มีค่า $\psi = 0.25\%$ ของ iso-propanol:MeOH (a) และ iso-propanol:ACN (b) ที่ อุณหภูมิ 25 °C (2) และที่ 35 °C (1) โดยเทคนิค RP-HPLC เมื่อใช้อัตราการไหลของเฟสเคลื่อนที่เท่ากับ 1.5 mL/min

เมื่อเปรียบเทียบการถูกชดของเบต้าแคโรทีน ที่อุณหภูมิ 35 °C ระหว่างเฟสเคลื่อนที่ iso-propanol:MeOH กับ iso-propanol:ACN ที่ $\psi = 0.25\%$ พบว่าเบต้าแคโรทีนถูกชดออกจากคลัมน์ได้เร็วที่สุดที่เวลา 13.970 นาที เมื่อใช้เฟสเคลื่อนที่ iso-propanol:ACN ในขณะที่เฟสเคลื่อนที่ iso-propanol:MeOH จะชดเบต้าแคโรทีนออกจากคลัมน์ที่เวลา 14.137 นาที ดังรูปที่ 4.14 ดังนั้น ตัวทำละลายผสมระหว่าง iso-propanol:ACN ที่ $\psi = 0.25\%$ จึงเป็นเฟสเคลื่อนที่ที่เหมาะสม

ในการชีบเด้าแครอทินที่อุณหภูมิ 35 °C ออกจากคอลัมน์ C-18 โดยเทคนิค RP-HPLC เมื่อใช้ อัตราการไหลของเฟสเคลื่อนที่เท่ากับ 1.5 mL/min



รูปที่ 4.14 โคมากาโน่กรรมของสารละลายเบต้าแครอทินเข้มข้น 10 mg/L เมื่อใช้เฟสเคลื่อนที่ที่มีค่า $\psi = 0.25\%$ ของ iso-propanol:MeOH (2) และ iso-propanol:ACN (1) ที่อุณหภูมิ 35 °C โดยเทคนิค RP-HPLC เมื่อใช้อัตราการไหลของเฟสเคลื่อนที่ 1.5 mL/min

จากการศึกษาสภาวะต่าง ๆ เพื่อชีบเด้าแครอทินโดยเทคนิค RP-HPLC พบร่วสภาวะที่เหมาะสม ได้แก่ ความยาวคลื่นในการดูดกลืนแสงยูวี-วิสิเบิลของเบต้าแครอทินเท่ากับ 445 nm อุณหภูมิของคอลัมน์เท่ากับ 35 °C อัตราการไหลของเฟสเคลื่อนที่เท่ากับ 1.5 mL/min และตัวทำละลาย ผสมระหว่าง iso-propanol:ACN ที่ $\psi = 0.25\%$ ดังนั้นจึงสามารถนำสภาวะที่เหมาะสมเหล่านี้ไปใช้ในการทดสอบความถูกต้องของวิธีวิเคราะห์ และวิเคราะห์หาปริมาณเบต้าแครอทินจากตัวอย่างผักต่อไป

4. การทดสอบความถูกต้องของวิธีการวิเคราะห์

การใช้ได้ของวิธีการวิเคราะห์เป็นกระบวนการยืนยันความถูกต้องและความเหมาะสมของวิธีการวิเคราะห์ที่ศึกษา เพื่อนำมาใช้วิเคราะห์ตัวอย่างในห้องปฏิบัติการที่ทำให้ทราบถึงข้อจำกัดของวิธีการวิเคราะห์นั้น ๆ ในงานวิจัยนี้ได้ศึกษาการทดสอบความถูกต้องของวิธีการวิเคราะห์ โดยศึกษาช่วงความเป็นเส้นตรง ทดสอบความแม่น ทดสอบความเที่ยง ตรวจหาขีดจำกัดต่ำสุดของการตรวจวัด และตรวจหาปริมาณต่ำสุดที่ตรวจหาปริมาณได้ รายละเอียดมีดังนี้

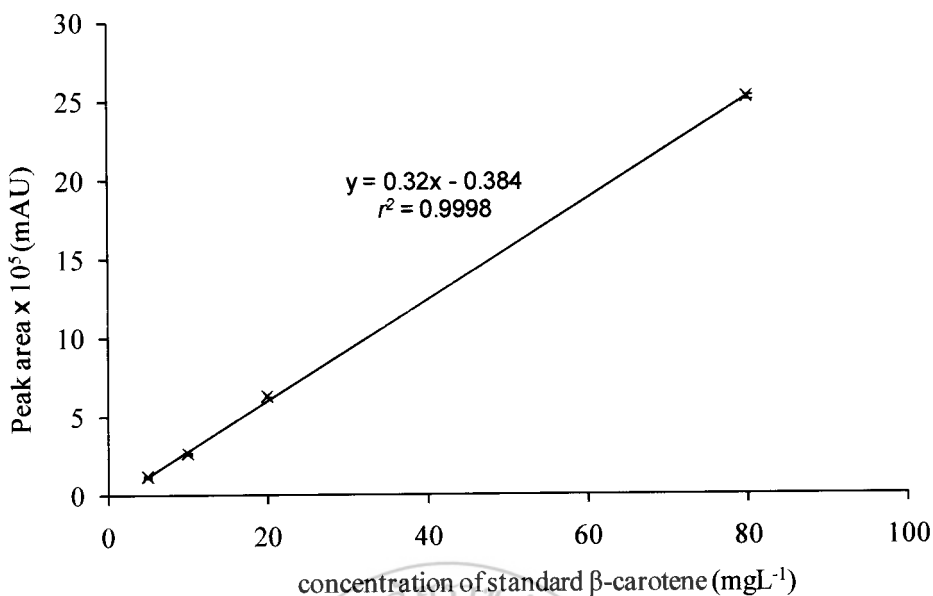
4.1 การทดสอบช่วงความเป็นเส้นตรง

ในการวิเคราะห์เบต้าแครอทีนด้วยเทคนิค RP-HPLC โดยใช้สารละลายน้ำมาระดูในเบต้าแครอทีน ที่ 4 ระดับความเข้มข้น ได้แก่ 5, 10, 20 และ 80 mg/L เมื่อใช้สภาวะของเครื่อง HPLC ดังนี้ อุณหภูมิของคอลัมน์ 35 °C เฟสเคลื่อนที่ iso-propanol:ACN ในอัตราส่วน 25:75 (v/v) อัตราการไหลของเฟสเคลื่อนที่เท่ากับ 1.5 mL/min และตรวจวัดที่ความยาวคลื่น 445 nm และบันทึกค่าพื้นที่ได้พีค ดังแสดงในตารางที่ 4.8

ตารางที่ 4.8 ความสัมพันธ์ระหว่างความเข้มข้นของสารละลายน้ำมาระดูในเบต้าแครอทีนกับค่าพื้นที่ได้พีค (N=3)

ความเข้มข้น (mg/L)	พื้นที่ได้พีค $\times 10^5$ (mAU)				$\pm SD$ (mAU)
	ครั้งที่ 1	ครั้งที่ 2	ครั้งที่ 3	ค่าเฉลี่ย	
5	1.15	1.18	1.20	1.18	0.02
10	2.63	2.66	2.70	2.67	0.03
20	6.22	6.25	6.25	6.24	0.02
80	25.06	25.13	25.35	25.18	0.15

จากตารางที่ 4.8 สามารถนำข้อมูลที่ได้มาเขียนกราฟระหว่างความเข้มข้นของสารละลายน้ำมาระดูในเบต้าแครอทีนและพื้นที่ได้พีค พบว่าได้กราฟเส้นตรงที่มีสมการ $y = 0.32x - 0.384$ และมีค่าสัมประสิทธิ์สหสัมพันธ์เท่ากับ 0.9998 และพบว่าสามารถถอดรหัสได้ในช่วงความเข้มข้นดังต่อไปนี้ 5 ถึง 80 mg/L ดังแสดงในรูปที่ 4.15



รูปที่ 4.15 กราฟมาตรฐานแสดงความสัมพันธ์ระหว่างความเข้มข้นของสารละลายน้ำตราชานเบต้าแคโรทิน (mg/L) และพื้นที่ได้พีค $\times 10^5$ (mAU) เมื่อสภาวะของเครื่อง HPLC ดังนี้ เฟสเคลื่อนที่ iso-propanol:ACN อัตราส่วน 25:75 (v/v) อัตราการไหลของเฟสเคลื่อนที่ 1.5 mL/min ตรวจวัดที่ความยาวคลื่น 445 nm ที่อุณหภูมิ 35°C

4.2 การทดสอบความแม่น

ในการทดสอบความแม่นของวิธีการวิเคราะห์จะรายงานเป็นร้อยละการได้กลับคืนมาโดยนำสารละลายน้ำตราชานเบต้าแคโรทินที่ความเข้มข้น 38 mg/L (กำหนดให้เท่ากับ C_0) มาทำการสกัดด้วยอะซิโตน 90% จากนั้นนำสารละลายน้ำตราชานเบต้าแคโรทินที่สกัดได้ไปตรวจวัดด้วยเทคนิค HPLC ที่มีสภาวะของเครื่อง ดังนี้ อุณหภูมิของ colummn เท่ากับ 35°C อัตราส่วนของเฟสเคลื่อนที่ iso-propanol:ACN เท่ากับ 25:75 (v/v) อัตราการไหลของเฟสเคลื่อนที่เท่ากับ 1.5 mL/min และตรวจวัดที่ความยาวคลื่น 445 nm แล้วบันทึกค่าพื้นที่ได้พีค และหาปริมาณเบต้าแคโรทินที่ตรวจวัดได้ (กำหนดให้เท่ากับ C_m) โดยเทียบหาความเข้มข้นจากการฟมาตรฐาน ดังแสดงในตารางที่ 4.9

จากตารางที่ 4.9 จากการศึกษาได้ความเข้มข้นเท่ากับ $37.72 \pm 2.47 \text{ mg/L}$ และนำผลที่ได้มาคำนวณหาค่าร้อยละของการได้กลับคืนมาโดยใช้สมการที่ 3.3 พบร่วมค่าร้อยละของการได้กลับคืนมาเท่ากับ 99.26

ตารางที่ 4.9 ความสัมพันธ์ระหว่างความเข้มข้นของสารละลายน้ำตรูานเบต้าแครอทีนกับค่าพื้นที่ได้พีค ($N=3$)

ความเข้มข้นของสารละลายน้ำตรูานเบต้าแครอทีน (C_p ; mg/L)	ความเข้มข้นของสารละลายน้ำตรูานเบต้าแครอทีนที่ทราบค่า (C_m ; mg/L)			$\pm SD$ (mg/L)
	ครั้งที่ 1	ครั้งที่ 2	ครั้งที่ 3	
38	35.01	37.72	38.29	37.72

4.3 การทดสอบความเที่ยง

ในการทดสอบความเที่ยงของวิธีการวิเคราะห์จะรายงานเป็นค่าเบี่ยงเบนมาตรฐานสัมพัทธ์โดยทำการทดลองขึ้นในวันเดียวกัน (Intramediate precision) ในการทดสอบได้นำสารละลายน้ำตรูานเบต้าแครอทีนความเข้มข้น 10 mg/L ไปตรวจวัดด้วยเทคนิค HPLC ที่มีสภาวะของเครื่องดังนี้ อุณหภูมิของ colum ท่ากับ 35°C อัตราส่วนของเฟสเคลื่อนที่ iso-propanol:ACN ท่ากับ 25:75 (v/v) อัตราการไหลของเฟสเคลื่อนที่ท่ากับ 1.5 mL/min และตรวจวัดที่ความยาวคลื่น ท่ากับ 445 nm แล้วบันทึกค่าพื้นที่ได้พีค ดังแสดงในตารางที่ 4.10

จากตารางที่ 4.10 สามารถคำนวณหาค่าเฉลี่ยและค่าเบี่ยงเบนมาตรฐาน จากผลการตรวจวัดได้ค่าเฉลี่ยท่ากับ 2.65 และค่าเบี่ยงเบนมาตรฐานท่ากับ 0.02 ตามลำดับ นำผลที่ได้มาคำนวณเปอร์เซ็นต์ค่าเบี่ยงเบนมาตรฐานสัมพัทธ์ โดยใช้สมการที่ 3.4 พบว่าค่าเบี่ยงเบนมาตรฐานสัมพัทธ์ ท่ากับ 0.81%

ตารางที่ 4.10 ผลการตรวจสารละลายน้ำมาตรฐานเบต้าแครอทีนเข้มข้น 10 mg/L (N=10)

สารละลายน้ำมาตรฐาน เบต้าแครอทีนเข้มข้น 10 mg/L	
ครั้งที่	พื้นที่ไดพิก $\times 10^5$ (mAU)
1	2.63
2	2.66
3	2.60
4	2.64
5	2.65
6	2.66
7	2.68
8	2.65
9	2.65
10	2.66
ค่าเฉลี่ย	2.65
SD	± 0.02
%RSD	0.81

4.4 การหาค่าขีดจำกัดต่ำสุดของการตรวจและค่าต่ำสุดที่ตรวจหารูปแบบได

ในการหาขีดจำกัดต่ำสุดของการตรวจและค่าต่ำสุดที่ตรวจหารูปแบบไดทำไดโดยนำสารละลายน้ำมาตรฐานเบต้าแครอทีนความเข้มข้น 10 mg/L ไปตรวจด้วยเทคนิค HPLC ที่มีสภาวะของเครื่อง ดังนี้ อุณหภูมิของคอลัมน์เท่ากับ 35 °C อัตราส่วนของเฟสเคลื่อนที่ iso-propanol:ACN เท่ากับ 25:75 (v/v) อัตราการไหลของเฟสเคลื่อนที่เท่ากับ 1.5 mL/min และตรวจวัดที่ความยาวคลื่น 445 nm และบันทึกค่าพื้นที่ไดพิก ดังแสดงในตารางที่ 4.10 และคำนวนหาค่าเบี่ยงเบนมาตรฐานจากผลการตรวจวัดไดค่าเบี่ยงเบนมาตรฐานเท่ากับ 0.02 นำผลที่ไดมาคำนวนหาขีดจำกัดต่ำสุด และปริมาณต่ำสุดที่ตรวจหารูปแบบไดจากสมการที่ 3.7 และ 3.8 พบร่วมค่าขีดจำกัดต่ำสุดของการตรวจวัดเท่ากับ 0.06 mg/L และค่าปริมาณต่ำสุดที่ตรวจหารูปแบบไดเท่ากับ 0.64 mg/L

5. การวิเคราะห์หาปริมาณเบต้าแครอทีนจากตัวอย่างผัก

จากการศึกษาภาระต่าง ๆ ของเครื่อง HPLC และการทดสอบความถูกต้องของวิธีการวิเคราะห์จะเห็นได้ว่าเทคนิค RP-HPLC มีความจำเพาะเจาะจง ความแม่นยำ และมีความเที่ยงสูง ดังนั้นจึงนำเทคนิคนี้มาประยุกต์ใช้ในการวิเคราะห์หาปริมาณเบต้าแครอทีนในตัวอย่างผักจำนวน 7 ชนิด ได้แก่ แครอท พักทอง มะเขือเทศ บรรอกโคลี คะน้า ผักโขม และสาหร่ายผัมนาง โดยทำการสกัดเบต้าแครอทีนจากตัวอย่างผักด้วยตัวทำละลายอะซีโตน 90% (ใช้วิธีการสกัดแบบแบบทช) และนำสารละลายตัวอย่างที่สกัดได้ไปตรวจด้วยเทคนิค HPLC ที่มีสภาวะของเครื่อง ดังนี้ อุณหภูมิของคงลัมไนท์เท่ากับ 35 °C อัตราส่วนของเฟสเคลื่อนที่ iso-propanol:ACN เท่ากับ 25:75 (v/v) อัตราการไหลของเฟสเคลื่อนที่เท่ากับ 1.5 mL/min และตรวจด้วยความยาวคลื่น 445 nm และบันทึกค่าพื้นที่ได้พีค คำนวนหาปริมาณเบต้าแครอทีนในตัวอย่างผักโดยเทียบกับกราฟมาตรฐานผลการศึกษา ดังตารางที่ 4.11

ตารางที่ 4.11 แสดงปริมาณเบต้าแครอทีนในตัวอย่างผัก (N=3)

ตัวอย่างผัก	ปริมาณของเบต้าแครอทีน (g/kg) ± SD
แครอท	1130.81 ± 0.44
ผักโขม	451.90 ± 0.21
พักทอง	361.48 ± 0.53
คะน้า	252.94 ± 0.12
มะเขือเทศ	211.27 ± 0.14
บรรอกโคลี	193.65 ± 0.03
สาหร่ายผัมนาง	ND

หมายเหตุ ND = "ไม่สามารถตรวจได้ (Non-Detectable)"

จากตารางที่ 4.11 จะเห็นได้ว่าแครอทมีปริมาณเบต้าแครอทีนมากที่สุด รองลงมาคือ ผักโขม พักทอง คะน้า มะเขือเทศ และบรรอกโคลี ตามลำดับ ส่วนสาหร่ายผัมนางไม่สามารถตรวจเบต้าแครอทีนได้

บทที่ 5

สรุป

เบต้าแครอทีนเป็นสารประกอบอินทรีย์ที่ไม่มีสภาพข้าว จึงเหมาะสมสำหรับนำมาศึกษาพฤติกรรมการถูกชดด้วยเทคนิค RP-HPLC ที่ใช้ระบบการ chromatograph แบบ isocratic จากการศึกษาพบว่าเบต้าแครอทีนถูกชดออกจากการคลอมน์ได้เร็ว เมื่อใช้เฟสเคลื่อนที่ที่เป็นตัวทำละลายผสมระหว่าง iso-propanol:ACN อัตราส่วน 25:75 (v/v) ที่ $\psi = 0.25\%$ แสดงว่าสภาพข้าวของเฟสเคลื่อนที่มีผลต่อพฤติกรรมการถูกชดของเบต้าแครอทีน นั่นคือ เมื่อเติม iso-propanol ลงในเฟสเคลื่อนที่เพื่อปรับสภาพข้าวของเฟสเคลื่อนที่ให้ต่ำลง ทำให้เบต้าแครอทีนเกิดอันตราริกิริยากับ iso-propanol ในเฟสเคลื่อนที่ได้ดี เบต้าแครอทีนจึงถูกชดออกจากการคลอมน์ได้อย่างรวดเร็ว นอกจากนี้เมื่อเพิ่มอุณหภูมิจาก 25 เป็น 35 °C เบต้าแครอทีนถูกชดออกจากการคลอมน์ได้เร็วขึ้น เนื่องจาก อุณหภูมิที่สูงจะทำให้พลังงานอิสระของการจับตัวระหว่างเบต้าแครอทีนกับ immobilized *n*-alkyl ภายในคลอมน์ C-18 ลดลงในระหว่างการถูกชดออกจากคลอมน์ ในการศึกษาสามารถใช้ค่า k และค่า ψ มาเขียนกราฟแสดงความสัมพันธ์แบบต่าง ๆ เพื่อใช้อธิบายพฤติกรรมการถูกชดของเบต้าแครอทีนได้ 2 แบบ ได้แก่ กราฟเอกซ์โพแนนเชียลที่เขียนระหว่างค่า k กับ ψ และกราฟเส้นตรงที่เขียนระหว่างค่า $1/k$ กับ ψ และค่า $\log k$ กับ ψ ที่มีค่าความชันมากกว่าศูนย์และน้อยกว่าศูนย์ ตามลำดับ จากกราฟเส้นตรงที่ได้ทำให้สามารถนำค่าพารามิเตอร์ทางโคมาราโทกราฟี ได้แก่ $1/k_0$ และ $\log k_0$ มาอธิบายพฤติกรรมการถูกชดของเบต้าแครอทีน เมื่อใช้เฟสเคลื่อนที่ที่ไม่เติม iso-propanol ลงไป ($\psi = 0\%$) พบว่าเมื่อใช้เฟสเคลื่อนที่ ACN เพียงอย่างเดียว สามารถชดเบต้าแครอทีนออกจากคลอมน์ได้เร็วกว่าเมื่อใช้เฟสเคลื่อนที่ MeOH ที่ไม่เติม iso-propanol จากการศึกษาทำให้สามารถใช้ตัวทำละลายผสมระหว่าง iso-propanol:ACN ที่ $\psi = 0.25\%$ เป็นเฟสเคลื่อนที่ที่เหมาะสมในการนำไปหาปริมาณเบต้าแครอทีนในตัวอย่างผัก 7 ชนิดที่อุณหภูมิ 35 °C ได้ ผลการตรวจพบว่าแครอทมีปริมาณเบต้าแครอทีนมากที่สุดเท่ากับ 1130.81 g/kg ส่วนผักโขม พักทอง คะน้า และมะเขือเทศ มีปริมาณลดลง ตามลำดับ บรอกโคลีมีปริมาณเบต้าแครอทีนน้อยสุดเท่ากับ 193.65 g/kg ในขณะที่สาหร่ายผ่านน้ำไม่สามารถตรวจวัดปริมาณเบต้าแครอทีนได้

ข้อเสนอแนะ

HPLC เป็นเครื่องมือวิเคราะห์ที่มีประสิทธิภาพสูง อุปกรณ์ดีๆ ของ HPLC ส่วนใหญ่มีราคาแพง ดังนั้นผู้ใช้งานจึงจำเป็นต้องเรียนรู้เรื่องการถูกชดและการตั้งค่าเครื่อง รวมทั้งคลอมน์สำหรับการแยก และการตัดคลอมน์ เป็นต้น ในการถูกชดต้องใช้สารตัวกลาง เช่น สารล้างคลอมน์สำหรับการแยก

ด้วย MeOH 100%, iso-propanol:MeOH อัตราส่วน 25:75 (v/v), iso-propanol 100%, methylene chloride 100% ตามลำดับ อย่างละ 1 ชั่วโมง และการถอดการ์ดคลัม์มาขัดสารปนเปื้อนด้วย hexane และ MeOH โดยใช้เครื่องคลีนเสียงความถี่สูง อย่างละครึ่งชั่วโมง อาทิตย์ละ 1 ครั้ง เพื่อไม่ให้คอลัมน์เกิดการอุดตัน ดังนั้นควรดูแลรักษาเครื่องมืออย่างสม่ำเสมอ เพื่อให้ผลการวิเคราะห์มีความถูกต้องและมีอายุการใช้งานยาวนานขึ้น

แนวทางการพัฒนา

จากการศึกษาพัฒนาระบบการถูกชงเบต้าแครอทินด้วยเทคนิค RP-HPLC สามารถนำไปประยุกต์ใช้ในการวิเคราะห์หาระบิมาณเบต้าแครอทินในตัวอย่างผัก ผลไม้ และอาหารเสริมชนิดต่างๆ อีกทั้งสามารถใช้ประโยชน์อ้างอิงสำหรับการใช้พัฒนาเทคนิคิวิธีในการวิเคราะห์หาระบิมาณเบต้าแครอทินในตัวอย่างชนิดต่างๆ ได้



บรรณานุกรม

กองโภชนาการ กรมอนามัย กระทรวงสาธารณสุข (2546) ปริมาณสารอาหารอ้างอิงที่ควรได้รับประจำวันสำหรับคนไทย [Online]. Available: <http://www.nutrition.anamai.moph.go.th/temp/files/antioxidan.pdf>. สืบค้นเมื่อ 14 เมษายน 2557.

ข้อมูลโภชนาการ (2549) [Online]. Available: <http://www.healthareethai.com> สืบค้นเมื่อ 26 กรกฎาคม 2557.

โครงสร้างของเบต้าแคโรทีน (2557) [Online]. Available: <http://www.google.co.th/search?q=โครงสร้าง%20เบต้าแคโรทีน> สืบค้นเมื่อ 14 เมษายน 2557.

จากรุวรรณ สุจิต (2552a). เอกสารประกอบการสอนรายวิชาการวิเคราะห์โดยเครื่องมือ, คณะวิทยาศาสตร์และเทคโนโลยี มหาวิทยาลัยราชภัฏสงขลา, หน้า 69-70.

จากรุวรรณ สุจิต (2552b). เอกสารประกอบการสอนรายวิชาการวิเคราะห์โดยเครื่องมือ, คณะวิทยาศาสตร์และเทคโนโลยี มหาวิทยาลัยราชภัฏสงขลา, หน้า 73.

จากรุวรรณ สุจิต (2552c). เอกสารประกอบการสอนรายวิชาการวิเคราะห์โดยเครื่องมือ, คณะวิทยาศาสตร์และเทคโนโลยี มหาวิทยาลัยราชภัฏสงขลา, หน้า 29.

ราชชัย ศรีวิบูล (2551) เทคนิคการแยก, ภาควิชาเคมี, คณะวิทยาศาสตร์ มหาวิทยาลัย รามคำแหง, พิมพ์ที่สำนักพิมพ์มหาวิทยาลัยรามคำแหง ครั้งที่ 1, 356 หน้า.

เบต้าแคโรทีน (2556) [Online]. Available: <http://www.th.wikipedia.org/wiki/เบต้าแคโรทีน> สืบค้นเมื่อ 25 กรกฎาคม 2557

ปิยศิริ สุนทรนนท์ (2551) สารด้านอนุมูลอิสระในดอกดาหลา. วิทยานิพนธ์, วิทยาศาสตร์ มหาบัณฑิต สาขาวิชาเคมี มหาวิทยาลัยสงขลานครินทร์, 142 หน้า.

แผนภาพแสดงส่วนประกอบของเครื่อง HPLC (2556) [Online]. Available: <http://www.lcresources.com/resources/getstart/1c01.htm> สืบค้นเมื่อ 1 กรกฎาคม 2557

พัฒนา เหล่าไพบูลย์ (2554a) HPLC โคมไฟกราฟิคแบบของเหลวแรงดันสูงหลักการและการประยุกต์ใช้, ภาควิชาเทคโนโลยีชีวภาพ คณะเทคโนโลยี มหาวิทยาลัยขอนแก่น, พิมพ์ครั้งที่ 3, พิมพ์ที่ หจก.ขอนแก่นการพิมพ์, หน้า 84-93.

พัฒนา เหล่าไพบูลย์ (2554b) HPLC โคมไฟกราฟิคแบบของเหลวแรงดันสูงหลักการและการประยุกต์ใช้, ภาควิชาเทคโนโลยีชีวภาพ คณะเทคโนโลยี มหาวิทยาลัยขอนแก่น, พิมพ์ครั้งที่ 3, พิมพ์ที่ หจก.ขอนแก่นการพิมพ์, หน้า 45.

แม้น ออมสิทธิ์, ออมร เพชรส, พลกฤษณ์ แสงวนิช (2553a) หลักการและเทคนิคการวิเคราะห์เชิงเครื่องมือ. บริษัทชวนพิมพ์ 50 จำกัด กรุงเทพมหานคร, หน้า 397.

- แม้น อมรสิทธิ์ อมร เพชรส, พลกฤษณ์ แสงวนิช (2553b) หลักการและเทคโนโลยีการวิเคราะห์ เชิงเครื่องมือ. บริษัทชวนพิมพ์ 50 จำกัด กรุงเทพมหานคร, หน้า 427.
- แม้น อมรสิทธิ์ อมร เพชรส, พลกฤษณ์ แสงวนิช (2553c) หลักการและเทคโนโลยีการวิเคราะห์ เชิงเครื่องมือ. บริษัทชวนพิมพ์ 50 จำกัด กรุงเทพมหานคร, หน้า 409.
- แม้น อมรสิทธิ์ อมร เพชรส, พลกฤษณ์ แสงวนิช (2553d) หลักการและเทคโนโลยีการวิเคราะห์ เชิงเครื่องมือ. บริษัทชวนพิมพ์ 50 จำกัด กรุงเทพมหานคร, หน้า 428-429.
- แม้น อมรสิทธิ์ อมร เพชรส, พลกฤษณ์ แสงวนิช (2553e) หลักการและเทคโนโลยีการวิเคราะห์ เชิงเครื่องมือ. บริษัทชวนพิมพ์ 50 จำกัด กรุงเทพมหานคร, หน้า 8.
- แม้น อมรสิทธิ์ อมร เพชรส, พลกฤษณ์ แสงวนิช (2553f) หลักการและเทคโนโลยีการวิเคราะห์ เชิงเครื่องมือ. บริษัทชวนพิมพ์ 50 จำกัด กรุงเทพมหานคร, หน้า 9.
- วารสารโภชนาการ ฉบับที่ 2 ปีที่ 45 เดือนกรกฎาคม-ธันวาคม 2553 : พิมพ์ที่โรงพิมพ์แห่ง จุฬาลงกรณ์มหาวิทยาลัย [Online] Available: www.nutritionthailand.or.th. สืบค้นเมื่อ 25 กรกฏาคม 2557.
- ศศิธร ศิริราษัย (2546) วิตามินเอกับเบต้าแครอทีน [Online] Available: <http://www.uniserv.buu.ac.th/forum2/post.asp>? สืบค้นเมื่อ 20 กรกฏาคม 2557.
- อัญชลี อุษา (2554) กินด้านมะเร็งเจ้านม [Online] Available: <http://www.bloggang.com/mainblog> สืบค้นเมื่อ 3 สิงหาคม 2557.
- แอลกออล์, [Online]. Available:<http://www.th.wikipedia.org/wiki/แอลกออล์> สืบค้นเมื่อ 19 กรกฏาคม 2557.
- ไอกา วัชระคุปต์ (2549) สารต้านอนุมูลอิสระ.พิมพ์ครั้งที่ 1 ,พิมพ์ที่ พ.อส.พริ้นท์ นนทบุรี 200 หน้า
- Ahamad MN., Saleemullah M., Shas U.H., Khalil A.I and Saljoqi A.U.R.(2007) Determination of beta carotene content in fresh vegetables using high-performance liquid chromatography. *Sarhad J. Argic*,**23**: pp 767-770.
- Andrés, V., Villanueva M.J. and Tenorio M.D.(2014) Simultaneous determination of tocopherols, retinol, ester derivatives and β -carotene in milk-and soy-juice based beverages by HPLC with diode-array detection. *J.LWT-Food Science and Technology*,**58**: pp 557-562.
- Barba O.,Hurtado C.,Mata S., Ruiz F. and Teja L. (2006) Application of a UV-Vis detection-HPLC method for a rapid determination of lycopene and β -carotene in vegetables. *J.Food Chemistry* ,**95**: pp 328-336.

- Englberge L., Schierle J., Marks G.C. and Fitzgerald M.H. (2003) Micronesian banana, taro, and other foods: newly recognized sources of provitamin A and other carotenoids. *J.Food Composition and Analysis*,**16**: pp 3-19.
- Foss, P.T. Storebakken, K. Schiedt, S. Liaaen-Jensen, E Austreng and K. Streiff. (1984) Carotenoid in diets for salmois I: Pigmentation of rainbow trout with the individual optical isomers of astaxanthin in comparison with canthaxanthin. *J. Aquaculture*,**41**: pp 213-226.
- Gimeno E., Calero E., Castellote A.I., Lamuela-Raventos R.M. and De la Torre M.C. (2000) Simultaneous determination of α -tocopherol and β -carotene in olive oil by reversed-phase high-performance liquid chromatography. *J.Chromatography A*, **881**: pp 255-259.
- Gimeno E., Calero E., Castellote A.I., Lamuela-Raventos R.M. and De la Torre M.C. (2001) Rapid high-performance liquid chromatographic method for the simultaneous determination of retinol, α -tocopherol and β -carotene in human plasma and low-density lipoproteins. *J.Chromatography B*, **758**: pp 315–322.
- Giovannucci E. (1999) Tomatoes,tomato-based products ,lycopene and cancer:a review of the epidemiologic literature. *J.Natl. Cancer Inst*, **91**: pp 317-331.
- Healt Today (2547) Available: <http://www.organithailand.com/webborad-php>. สืบค้นเมื่อ 26 กรกฎาคม 2557.
- Karppi J., Nurmi T., Olmedilla-Alonso B., Granado-Lorencio F. and Nyssonnen K. (2008) Simultaneous measurement of retinol, α -tocopherol and six carotenoids in human plasma by using an isocratic reversed-phase HPLC method. *J.Chromatography B*, **867**: pp 226–232.
- Lesellier, E., West,C.and Tchapla,A.(2003) Advantages of the use of monolithi stationar phases for modelling the retention in sub/supercritical chromatography Application to *cis/trans-* β -carotene separation. *J.Chromatography A*,**1018**: pp 225-232
- Lin C.H. and Chen B.H. (2003) Determination of carotenoids in tomato juice by liquid Chromatography. *J.Chromatography A*,**1012** : pp 103-109.
- Lyan B., Azais-Braesco v., Cardinault N., Tyssandier V., Borel P., Alexandre-Gouabau M. and Grolier P. (2001) Simple method for clinical determination of 13 carotenoids in human plasma using an isocratic high-performance liquid chromatographic method. *J.Chromatography B* ,**751** : pp 297–303.

- Murkovic M., Mulleder U. and Neunteufel H. (2002) Carotenoid Content in Different Varieties of Pumpkins. *J.Food composition and analysis*, **15**: pp 633–638.
- Nikitas, P., and Pappa-Louisi, A. (2009) Retention models for isocratic and gradient elution in reversed-phase liquid chromatography. *J. Chromatography A*, **1216**: pp 1737-1755.
- Nyambaka H.and Reley J. (1996) An isocratic reversed-phase HPLC separation of the stereoisomers of the provitamin A carotenoids (α - and β -carotene) in dark green vegetables. *J.Food Chemistry*, **55**: pp 63-72.
- Pupin A.M., Dennis M.J. and Toledo M.C.F. (1999) HPLC analysis of carotenoids in orange juice. *J.Food Chemistry* ,**64**: pp 269-275.
- Purcell, A.W., Zhao, G.L., Aguilar, M.I., and Hearn, M.T.W. (1999) Comparison between the isocratic and gradient retention behavior of polypeptides in reversed-phase liquid chromatographic environments. *J. Chromatography A*, **852**: pp 43-55.
- Rajendran ,V., Pu, Y.S. and Chen, B.H. (2005) An improved HPLC method for determination of carotenoids in human serum. *J. of Chromatography B*. **824** ,99–106.
- Rao, A.V. and Honglei,S. (2002) Effect of low dose lycopene intake on lycopene bioavailability and oxidative stress. *J. Nutrition Research*. **22**(10), 1125-1131.
- Robinson C.H., Marlilyn R.L., Wanda L.C. and Garwick A.E.(1986) Analyzed summer vegetables for their micronutrient content. *J. Nutrition*,**45**: pp 497-502.
- Phenomenex [Online]. Available:<http://www.Phenomenex.com> สืบค้นเมื่อ 19 กรกฎาคม 2557.
- Skoog DA., West DM. and Holler F.J.(1987) *J.Fundamentals of analytical Chemistry*, America pp:56-58.
- Suitcharit, C., Julianin, N., Jantharangsri, M., and Nooyimsai, J. (2013) Retention behavior of β -carotene under binary mobile phase for isocratic elution in reversed-phase liquid chromatography. *39th Congress on Science and Technology of Thailand*.
- Thibeault D., Su H., Macnamara E. and Sehipper M.H., (2009) Isocratic rapid liquid chromatographic method for simultaneous determination of carotenoids, retinol and tocopherols in human serum. *J.Chromatography B*, **877**: pp 1077-1083.

- Watson RR. and Moriguchi S. (1991) Beta-carotene 's effect on serum lipoproteins and immunologic indices in human. *J.Clinical Nutrition*, **54** :pp 609-610.
- Xu, F., Yuan and Q.P. (2006) Determination of lycopene and β -carotene by high-performance liquid chromatography using sudan I as internal standard. *J. of Chromatography B*, **838**:pp 44–49.





ภาควิชา

ภาคผนวก ก.

ผลของการศึกษาสภาวะที่เหมาะสมของเครื่อง HPLC

ตารางที่ ก.1 ค่าการดูดกลืนแสงยูวี-วิสิเบิลของเบต้าแคโรทีน

ความยาวคลื่น (λ) (nm)	ค่าการดูดกลืนแสง (abs)
375	0.107
380	0.132
385	0.172
390	0.193
395	0.240
400	0.288
405	0.326
410	0.376
415	0.447
420	0.516
425	0.565
430	0.595
435	0.639
440	0.717
445	0.803
450	0.694
455	0.669
460	0.604
465	0.578
470	0.593
475	0.625
480	0.619
485	0.541
490	0.412
495	0.274
500	0.104

ตารางที่ ก.2 ความสัมพันธ์ระหว่างอุณหภูมิกับค่า t_r เมื่อใช้เฟสเคลื่อนที่ iso-propanol:ACN อัตราส่วน 25:75 (v/v) และอัตราการไหลของเฟสเคลื่อนที่เท่ากับ 1.5 mL/min

อุณหภูมิ (°C)	ค่า t_r (min)		
	ครั้งที่ 1	ครั้งที่ 2	ค่าเฉลี่ย \pm SD
25	14.23	14.68	14.46 \pm 0.31
35	13.97	13.90	13.94 \pm 0.05

ตารางที่ ก.3 ความสัมพันธ์ระหว่างอัตราการไหลของเฟสเคลื่อนที่กับค่า t_r และความดันของเครื่อง HPLC เมื่อใช้เฟสเคลื่อนที่ iso-propanol:ACN อัตราส่วน 25:75 (v/v) ที่ อุณหภูมิ 35 °C

อัตราการไหล (mL/min)	ค่า t_r (min)			ความดัน (psi)		
	ครั้งที่ 1	ครั้งที่ 2	ค่าเฉลี่ย \pm SD	ครั้งที่ 1	ครั้งที่ 2	ค่าเฉลี่ย
1.0	22.95	22.91	22.93 \pm 0.03	1000	990	995
1.5	13.97	13.90	13.94 \pm 0.05	1200	1220	1210
2.0	8.52	8.57	8.55 \pm 0.04	2700	2800	2750

ภาคผนวก ข.

ผลของการศึกษาชนิดของเฟสเคลื่อนที่ที่ประกอบด้วยตัวทำละลาย 2 ชนิดที่มีผลต่อการชะเบต้าแครอทีน

ตารางที่ ข.1 แสดงค่า t_r , t_0 และค่า k ของเบต้าแครอทีนเมื่อใช้เฟสเคลื่อนที่ชนิดต่าง ๆ อัตราการไหลของเฟสเคลื่อนที่เท่ากับ 1.5 mL/min ที่อุณหภูมิ 35 °C

เฟสเคลื่อนที่ อัตราส่วน 5:95 (v/v)	ค่า t_r (min)			ค่า t_0 (min)			ค่า $k \pm SD$
	ครั้งที่ 1	ครั้งที่ 2	ค่าเฉลี่ย $\pm SD$	ครั้งที่ 1	ครั้งที่ 2	ค่าเฉลี่ย $\pm SD$	
iso-propanol:MeOH	24.81	24.89	24.85 \pm 0.06	2.44	2.47	2.46 \pm 0.02	9.12 \pm 0.08
n-propanol:MeOH	25.86	25.78	25.82 \pm 0.06	1.99	2.00	2.00 \pm 0.01	11.94 \pm 0.05
iso-propanol:ACN	35.06	36.94	36.00 \pm 1.33	3.42	3.50	3.46 \pm 0.06	9.40 \pm 0.41
n-propanol:ACN	41.17	40.19	40.97 \pm 1.10	2.26	2.20	2.23 \pm 0.04	17.37 \pm 0.60

ภาคผนวก C

ผลของการศึกษาพฤติกรรมการถูกชั่งของเบต้าแครอทีน

ตารางที่ C.1 แสดงค่า t_r , t_0 และค่า k ของเบต้าแครอทีนเมื่อใช้เฟสเคลื่อนที่ iso-propanol:MeOH อัตราส่วนของเฟสเคลื่อนที่เท่ากับ 0:100 (v/v), 5:95 (v/v), 10:90 (v/v), 15:85 (v/v), 20:80 (v/v) และ 25:75 (v/v) อัตราการไหลของเฟสเคลื่อนที่เท่ากับ 1.5 mL/min ที่อุณหภูมิ 25 °C

ค่า ψ	ค่า t_r (min)			ค่า t_0 (min)			ค่า $k \pm SD$
	ครั้งที่ 1	ครั้งที่ 2	ค่าเฉลี่ย $\pm SD$	ครั้งที่ 1	ครั้งที่ 2	ค่าเฉลี่ย $\pm SD$	
0	48.60	48.56	48.58 \pm 0.03	2.81	2.90	2.85 \pm 0.06	26.00 \pm 0.55
0.05	29.06	29.04	29.05 \pm 0.01	2.85	2.80	2.83 \pm 0.04	15.14 \pm 0.19
0.10	23.97	23.89	23.93 \pm 0.06	2.54	2.42	2.48 \pm 0.09	12.32 \pm 0.43
0.15	20.43	20.39	20.41 \pm 0.02	2.38	2.32	2.35 \pm 0.05	10.35 \pm 0.20
0.20	17.85	17.78	17.81 \pm 0.05	2.35	2.22	2.28 \pm 0.09	8.91 \pm 0.36
0.25	15.50	15.71	15.61 \pm 0.15	2.27	2.19	2.23 \pm 0.05	7.61 \pm 0.21

ตารางที่ ค.2 แสดงค่า t_r , t_0 และค่า k ของเบต้าแคโรทีนเมื่อใช้เฟสเคลื่อนที่ iso-propanol:MeOH อัตราส่วนของเฟสเคลื่อนที่เท่ากับ 0:100 (v/v), 5:95 (v/v), 10:90 (v/v), 15:85 (v/v), 20:80 (v/v) และ 25:75 (v/v) อัตราการไหลของเฟสเคลื่อนที่เท่ากับ 1.5 mL/min ที่อุณหภูมิ 35 °C

ค่า μ	ค่า t_r (min)			ค่า t_0 (min)			ค่า $k \pm SD$
	ครั้งที่ 1	ครั้งที่ 2	ค่าเฉลี่ย $\pm SD$	ครั้งที่ 1	ครั้งที่ 2	ค่าเฉลี่ย $\pm SD$	
0	31.26	31.20	31.23 \pm 0.05	2.73	2.62	2.68 \pm 0.08	16.37 \pm 0.49
0.05	26.68	27.25	26.97 \pm 0.40	2.55	2.46	2.51 \pm 0.06	13.82 \pm 0.42
0.10	21.18	21.30	21.24 \pm 0.09	2.43	2.44	2.44 \pm 0.01	10.76 \pm 0.06
0.15	18.06	19.06	18.56 \pm 0.71	2.22	2.40	2.31 \pm 0.13	9.03 \pm 0.63
0.20	15.39	15.47	15.43 \pm 0.05	2.38	2.36	2.37 \pm 0.01	7.55 \pm 0.06
0.25	14.14	14.10	14.12 \pm 0.03	2.11	2.41	2.26 \pm 0.21	6.85 \pm 0.65

ตารางที่ ค.3 แสดงค่า t_r , t_0 และค่า k ของเบต้าแครอทินเมื่อใช้เฟสเคลื่อนที่ iso-propanol:ACN อัตราส่วนของเฟสเคลื่อนที่เท่ากับ 0:100 (v/v), 5:95 (v/v), 10:90 (v/v), 15:85 (v/v), 20:80 (v/v) และ 25:75 (v/v) อัตราการไหลของเฟสเคลื่อนที่เท่ากับ 1.5 mL/min ที่อุณหภูมิ 25 °C

ค่า ψ	ค่า t_r (min)			ค่า t_0 (min)			ค่า $k \pm SD$
	ครั้งที่ 1	ครั้งที่ 2	ค่าเฉลี่ย $\pm SD$	ครั้งที่ 1	ครั้งที่ 2	ค่าเฉลี่ย $\pm SD$	
0	105.95	105.56	105.75 \pm 0.28	3.72	3.70	3.71 \pm 0.02	27.47 \pm 0.14
0.05	42.34	43.20	42.77 \pm 0.61	3.46	3.58	3.52 \pm 0.08	15.23 \pm 0.43
0.10	31.97	32.69	32.33 \pm 0.51	3.53	3.51	3.52 \pm 0.02	8.91 \pm 0.16
0.15	26.48	26.87	26.67 \pm 0.28	3.44	3.44	3.44 \pm 0.00	6.81 \pm 0.08
0.20	18.71	19.36	19.04 \pm 0.46	3.22	3.22	3.22 \pm 0.00	4.82 \pm 0.14
0.25	14.23	14.68	14.46 \pm 0.31	2.90	2.91	2.91 \pm 0.01	3.91 \pm 0.11

ตารางที่ ค.4 แสดงค่า t_r , t_0 และค่า k ของเบต้าแคโรทีนเมื่อใช้เพสเคลลีອนที่ iso-propanol:ACN อัตราส่วนของเพสเคลลีองที่เท่ากับ 0:100 (v/v), 5:95 (v/v), 10:90 (v/v), 15:85 (v/v), 20:80 (v/v) และ 25:75 (v/v) อัตราการไหลของเพสเคลลีองที่เท่ากับ 1.5 mL/min ที่อุณหภูมิ 35 °C

ค่า ψ	ค่า t_r (min)			ค่า t_0 (min)			ค่า $k \pm SD$
	ครั้งที่ 1	ครั้งที่ 2	ค่าเฉลี่ย $\pm SD$	ครั้งที่ 1	ครั้งที่ 2	ค่าเฉลี่ย $\pm SD$	
0	101.08	100.80	100.94 \pm 0.20	3.81	3.80	3.81 \pm 0.01	25.23 \pm 0.08
0.05	37.33	37.75	37.54 \pm 0.30	3.62	3.41	3.51 \pm 0.15	13.24 \pm 0.59
0.10	27.57	27.94	27.76 \pm 0.26	3.55	3.37	3.46 \pm 0.13	7.76 \pm 0.30
0.15	22.68	22.55	22.62 \pm 0.09	3.31	3.30	3.30 \pm 0.00	5.83 \pm 0.03
0.20	17.56	16.85	17.20 \pm 0.50	3.18	3.18	3.18 \pm 0.00	4.30 \pm 0.15
0.25	13.97	13.90	13.94 \pm 0.05	2.89	2.88	2.89 \pm 0.01	3.67 \pm 0.02

ตารางที่ ค.5 แสดงค่า $1/k$ และ $\log k$ ของเฟสเคลื่อนที่ iso-propanol:MeOH และ iso-propanol:ACN เมื่อค่า ψ เท่ากับ 0, 0.05, 0.10, 0.15, 0.20 และ 0.25% อัตราการไหลของเฟสเคลื่อนที่เท่ากับ 1.5 mL/min ที่อุณหภูมิ 25 และ 35 °C (N=2)

ค่า ψ	เฟสเคลื่อนที่ iso-propanol:MeOH				เฟสเคลื่อนที่ iso-propanol:ACN			
	$1/k \pm SD$		$\log k \pm SD$		$1/k \pm SD$		$\log k \pm SD$	
	25 °C	35 °C	25 °C	35 °C	25 °C	35 °C	25 °C	35 °C
0	0.04 ± 0.001	0.06 ± 0.002	1.41 ± 0.009	1.21 ± 0.013	0.04 ± 0.002	0.04 ± 0.001	1.44 ± 0.002	1.40 ± 0.001
0.05	0.07 ± 0.001	0.07 ± 0.002	1.18 ± 0.005	1.14 ± 0.013	0.07 ± 0.019	0.08 ± 0.034	1.18 ± 0.012	1.12 ± 0.019
0.10	0.08 ± 0.003	0.09 ± 0.000	1.09 ± 0.015	1.03 ± 0.002	0.11 ± 0.021	0.13 ± 0.050	0.95 ± 0.008	0.89 ± 0.017
0.15	0.10 ± 0.002	0.11 ± 0.008	1.01 ± 0.009	0.96 ± 0.030	0.15 ± 0.018	0.17 ± 0.008	0.83 ± 0.005	0.77 ± 0.002
0.20	0.11 ± 0.005	0.12 ± 0.001	0.95 ± 0.017	0.88 ± 0.003	0.21 ± 0.061	0.23 ± 0.082	0.68 ± 0.013	0.63 ± 0.015
0.25	0.13 ± 0.004	0.15 ± 0.014	0.88 ± 0.012	0.84 ± 0.041	0.26 ± 0.070	0.27 ± 0.013	0.59 ± 0.012	0.56 ± 0.002

ภาคผนวก ง.

วิธีคำนวณหาปริมาณเบต้าแครอทีน

โดยเทียบกับกราฟมาตรฐานที่มีสมการเส้นตรง $y = 0.32 X - 0.384$

เมื่อ y = พื้นที่ได้พีค

x = ความเข้มข้นของเบต้าแครอทีน

ตรวจวัดความเข้มข้นของเบต้าแครอทโดยเทคนิค HPLC ได้เท่ากับ 113.75 mg/L เนื่องจากในการรายงานปริมาณเบต้าแครอทีนต้องรายงานเป็นหน่วย g/kg สามารถคำนวณได้ดังนี้

สารสกัดจากแครอทปริมาตร 20 mL มีเบต้าแครอทีนเท่ากับ 113.75 mg

ถ้าสารสกัดจากแครอท (5 g) ปริมาตร 1000 mL จะมีเบต้าแครอทีนเท่ากับ 5,687 mg

สารสกัดที่ได้จากแครอทสด 5 g มีเบต้าแครอทีนเท่ากับ 5,687 mg

ฉะนั้นสารสกัดที่ได้จากแครอท 1000 g จะมีเบต้าแครอทีนเท่ากับ 1.13×10^6 mg

ดังนั้น คิดเป็น g/kg ได้เท่ากับ 1130.85 g/kg

ตารางที่ ง.1 แสดงปริมาณเบต้าแครอทีนในตัวอย่างผัก

ตัวอย่างผัก	พื้นที่ได้พีค $\times 10^5$ (mAU)				$\pm SD$ (mAU)	mg/L	g/kg
	ครั้งที่ 1	ครั้งที่ 2	ครั้งที่ 3	ค่าเฉลี่ย			
แครอท	35.74	36.27	35.40	35.80	0.44	113.09	1130.81
ผักชम	14.30	14.04	13.89	14.08	0.21	45.19	451.90
พักทอง	11.53	10.57	11.45	11.18	0.53	36.15	361.48
คะน้า	7.78	7.78	7.57	7.71	0.12	25.29	252.94
มะเขือเทศ	6.23	6.51	6.39	6.38	0.14	21.13	211.27
บรอกโคลี	5.01	5.07	5.05	5.04	0.03	16.96	193.65
สาหร่ายผมนาง	ND	ND	ND	ND	ND	ND	ND

ภาควิชาเคมี

Abstract ที่ได้ไปนำเสนอใน The 39th Congress on Science and Technology of Thailand (STT 39)

RETENTION BEHAVIOUR OF β -CAROTENE AT DIFFERENT TEMPERATURES UNDER BINARY MOBILE PHASES FOR ISOCRATIC ELUTION IN REVERSED-PHASE LIQUID CHROMATOGRAPHY

Charuwan Suitcharit*, Nithiwadee Jullanin, Monthakan Jantharangsri, Jiraporn Nooyimsai

Program of Chemistry and Applied Chemistry, Faculty of Science and Technology, Rajabhat Songkhla University, Muang District, Songkhla Province 90000, Thailand

*e-mail: csuitcharit@yahoo.com

Abstract: The retention behaviour of β -carotene under isocratic elution by reversed-phase high performance liquid chromatography (RP-HPLC) using binary mobile phases comprising 2-propanol in acetonitrile at different volume fractions (ψ); 0, 0.05, 0.10, 0.15, 0.20 and 0.25 under defined temperatures; 25 and 35°C was studied to describe the interactions of β -carotene during elution. In this study, three retention equations have been used to describe adequately the dependency of retention factors on ψ values of mobile phases as a function of temperatures. In this case, the chromatographic parameters, i.e. retention factor (k), reciprocal of retention factor ($1/k$), logarithm of retention factor ($\log k$) on retention values obtained from each elution condition were calculated to provide a three-plot retention of β -carotene. From the finding, it is shown that the dependency of k on ψ is parabolic and the dependencies of $1/k$ on ψ and $\log k$ on ψ are linear at temperature used. The linear dependency from the plot of $1/k$ vs. ψ gives a positive slope, whereas the plot of $\log k$ vs. ψ gives a negative one which it was a chromatographic parameter derived from the linear plot. The best correlation coefficient ($r^2 = 0.9960$) from $1/k$ vs. ψ plot at 35°C has been obtained with the comparison of $\log k$ vs. ψ plot at temperatures used. These findings thus have recommended that the retention behaviour of β -carotene corresponding to its peak shape at two temperatures used under mobile phase comprising 2-propanol in acetonitrile at $\psi = 0.25$ for isocratic elution by RP-HPLC was similarly. Nevertheless, the elution of β -carotene with such mobile phase composition evidently stood being faster at 35°C.

Keywords: isocratic elution, retention behaviour, binary mobile phases, β -carotene

ภาคผนวก ฉ.

Abstract และ Highlight ที่ส่งไปนำเสนอใน Pure and Applied Chemistry International Conference (PACCON 2015) (in process)

Linear Retention Equations for Describing the Isocratic Elution Behaviour of β -carotene in Reversed-Phase Liquid Chromatography Using Binary solvent System

Charuwan Suitcharit*, Nithiwadee Julianin, Monthakan Jantharangsri, Jiraporn Nooyimsai

*Program of Chemistry and Applied Chemistry, Faculty of Science and Technology,
Rajabhat Songkhla University, Muang District, Songkhla Province 90000, Thailand*

*E-mail: csuitcharit@gmail.com

The isocratic elution for β -carotene by reversed-phase high performance liquid chromatography (RP-HPLC) using binary solvents at different volume fractions of 2-propanol in acetonitrile (ψ), i.e. 0, 0.05, 0.10, 0.15, 0.20 and 0.25 under the controlled column temperatures at 25 and 35°C was studied. To describe the elution behaviour of β -carotene under such conditions by representing in various kinds of the graphs, three different retention parameters, namely, retention factor (k), reciprocal of retention factor ($1/k$), and natural logarithm of retention factor ($\ln k$) were calculated by using the corresponding chromatographic retention data. From the plots, the exponential dependency of k on ψ and two linear dependencies, i.e. $1/k$ on ψ and $\ln k$ on ψ were obtained. Under the linear dependency, two retention parameters, i.e. $1/k$ and $\ln k$ can be fitted to the following equations, i.e. $1/k = 1/k_o + S\psi$ (Eq. (1)) and $\ln k = \ln k_o - S\psi$ (Eq. (2)). To select a good fitting performance, the correlation coefficient (r^2) values derived from these equations were compared. From the finding, it was found that a better fitting of Eq. (1) was over Eq. (2). That is; the values of r^2 derived from Eq. (1) at 25 and 35°C were of 0.990 and 0.996, respectively, whereas the r^2 values of 0.948 and 0.966 derived from Eq. (2) were obtained at 25 and 35°C, respectively. Therefore, the Eq. (1) with a good correlation of retention data in the ψ range from 0 to 0.25 for 2-propanol in acetonitrile was suitable recommended for describing the accuracy elution behaviour of β -carotene under the isocratic conditions. However, the constants obtained from these linear equations, i.e. S , $1/k_o$, $\ln k_o$ were also considered according to the concentration of 2-propanol in acetonitrile for the retention data.

Keywords: Linear retention equation; β -carotene; Isocratic elution; 2-propanol:acetonitrile

Linear Retention Equations for Describing the Isocratic Elution Behavior of β -carotene in Reversed-Phase Liquid Chromatography Using Binary solvent System

Charuwan Suitcharit*, Nithiwadee Jullanin, Monthakan Jantharangsri, Jiraporn Nooyimsai

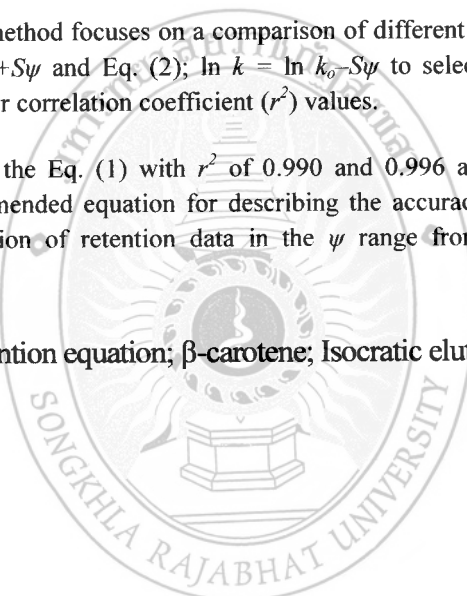
Program of Chemistry and Applied Chemistry, Faculty of Science and Technology,

Rajabhat Songkhla University, Muang District, Songkhla Province 90000, Thailand

**E-mail. csuitcharit@gmail.com*

- We described the elution behavior of β -carotene under the isocratic elution by RP-HPLC using binary solvents at different volume fractions, ψ of 2-propanol in acetonitrile under 25 and 35°C by using different three equations according to its dependency of retention data on ψ .
- The proposed method focuses on a comparison of different two linear equations between Eq. (1); $1/k = 1/k_o + S\psi$ and Eq. (2); $\ln k = \ln k_o - S\psi$ to select a good fitting performance by considering their correlation coefficient (r^2) values.
- We found that the Eq. (1) with r^2 of 0.990 and 0.996 at 25 and 35°C, respectively was suitable recommended equation for describing the accuracy elution behavior of β -carotene with a correlation of retention data in the ψ range from 0 to 0.25 under the isocratic conditions.

Keywords :Linear retention equation; β -carotene; Isocratic elution; 2-propanol:acetonitrile



ประวัติผู้ทำโครงการวิจัย

ชื่อ-สกุล

จิราภรณ์ หนูยิ้มซ้าย

วัน เดือน ปี

19 พฤศจิกายน 2534

ประวัติการศึกษา

พ.ศ. 2546

สำเร็จการศึกษาระดับป्रograms ศึกษาจากโรงเรียนบ้านรัตน์ จังหวัด
สงขลา

พ.ศ. 2550

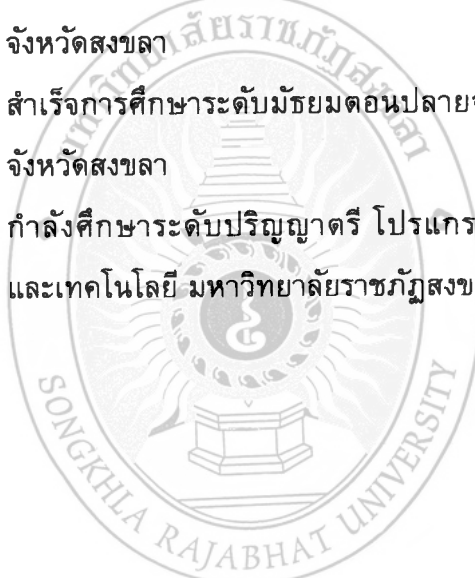
สำเร็จการศึกษาระดับมัธยมตอนต้นจากโรงเรียนกระแสสินธุ์วิทยา
จังหวัดสงขลา

พ.ศ. 2553

สำเร็จการศึกษาระดับมัธยมตอนปลายจากโรงเรียนกระแสสินธุ์วิทยา
จังหวัดสงขลา

พ.ศ. 2556

กำลังศึกษาระดับปริญญาตรี โปรแกรมวิชาเคมี คณะวิทยาศาสตร์
และเทคโนโลยีมหาวิทยาลัยราชภัฏสงขลา



ประวัติผู้ทำโครงการวิจัย

ชื่อ-สกุล

นิธิวีดี จุลนิล

วัน เดือน ปี

12 ตุลาคม 2534

ประวัติการศึกษา

- พ.ศ. 2546 สำเร็จการศึกษาระดับประถมศึกษาจากโรงเรียนนิคมซอย 10 จังหวัดสตูล
- พ.ศ. 2550 สำเร็จการศึกษาระดับมัธยมตอนต้นจากโรงเรียนคุณภาพชั้นนำ “นิคมวัฒนา” จังหวัดสตูล
- พ.ศ. 2553 สำเร็จการศึกษาระดับมัธยมตอนปลายจากโรงเรียนคุณภาพชั้นนำ “นิคมวัฒนา” จังหวัดสตูล
- พ.ศ. 2556 กำลังศึกษาระดับปริญญาตรี โปรแกรมวิชาเคมี คณะวิทยาศาสตร์และเทคโนโลยี มหาวิทยาลัยราชภัฏสงขลา

ประวัติผู้ทำโครงการวิจัย

ชื่อ-สกุล

มนพากานต์ จันทร์ธนี

วัน เดือน ปี

31 ธันวาคม 2534

ประวัติการศึกษา

พ.ศ. 2546

สำเร็จการศึกษาระดับปรัชญาจากโรงเรียนบ้านนาโหย จังหวัด
สงขลา

พ.ศ. 2550

สำเร็จการศึกษาระดับมัธยมตอนต้นจากโรงเรียนบ้านนาโหย จังหวัด
สงขลา

พ.ศ. 2553

สำเร็จการศึกษาระดับมัธยมตอนปลายจากโรงเรียนทุ่งสงวิทยา จังหวัด
นครศรีธรรมราช

พ.ศ. 2556

กำลังศึกษาระดับปริญญาตรี โปรแกรมวิชาเคมี คณะวิทยาศาสตร์
และเทคโนโลยี มหาวิทยาลัยราชภัฏสงขลา

